中国涂料 CHINA COATINGS

主管:中国石油和化学工业联合会



主办: 中国涂料工业协会 NCIA



ISSN1006-2556 CN11-3544/TO

2024.06

第39卷 (总第336期)

广告



蜡微粉专业生产

问天哪得强如许,为有源头创新来

球形蜡国家发明专利产品,建立蜡微粉新标准。

专利证号: ZL 2006 1 0083464.9 ZL 2021 1 1159418.3 ZL 2021 1 0324171.X



生产PTFE、PE、PP、费托蜡、 混合蜡等等系列微粉蜡产品。

> 代理经销及代加工电话 188-6126-4184







均匀分布在内部

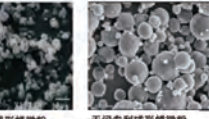


球状上浮作用在表面。

蜡微粉扫描电镜图















华谊集团 精化 干礼!!!!

重防腐/船舶涂料化学工程师、销售工程师:

5年以上相关研发工作经历者优先。 详情发邮件至

wuwenxi@shhuayi.com

树脂系列

◆水性环氧树脂

- ▲ STW602、603 (ww)、606、6522环氧乳液系列 与703系列固化剂搭配使用,可用于集装箱、工程机械、轨道交通等金属底材的防腐漆
- ▲ STW600、STW600K、STW600H 环氧树脂 用于水性环氧富锌底漆,具有低VOC、优异的附着力和耐盐雾性能
- ▲ STW703B、703D (www) 水性环氧固化剂 与环氧乳液配合使用,用于金属底材类工业防腐漆

◆水性丙烯酸分散体

- ▲ 水性羟基丙烯酸分散体——W4315(通用型)、W1845(厚膜型)、W4310(经济型)、W4118(快干型) <u>羟值不同,可满足各种性能需求,可与异氰酸酯固化剂配合,制备水性双组分聚氨酯涂料</u>
- ▲ 水性羟基丙烯酸分散体——W4012 用于铝粉漆、氨基烤漆以及各类聚氨酯色漆
- ▲ 水性羟基丙烯酸酯分散体——W4118 快干, 具有较快的初期干性
- ▲ 水性氨基烘漆用丙烯酸分散体——W4010 低VOC, 良好的剪切稳定性
- ▲ 水性环氧改性丙烯酸树脂——STW706 附着力好,耐水性、耐化学品性佳,可用于玻璃烘漆

◆水性醇酸及环氧酯系列

- ▲ STW302 水性醇酸树脂 快干型,低气味,良好耐水性,可用于工业磁漆
- ▲ STW305 水性醇酸树脂 快干型,高光泽,高丰满度,附着力好,早期耐水性、耐盐雾性能好,可用于工业防锈底漆和底面合一漆
- ▲ STW322 水性环氧酯树脂 快干型,硬度高,附着力好,早期耐水性、耐盐雾性能好,可用于工业防锈底漆和底面合一漆
- ▲ STW325 水性环氧酯树脂 快干型,硬度高,附着力好,耐盐雾性能优异,可用于工业防锈底漆和底面合一漆

◆丙烯酸改性环氧树脂

- ▲ 6233E 水性丙烯酸改性环氧树脂,附着力好,硬度高,主要用于金属防腐或玻璃烤漆
- ▲ 6235 水性丙烯酸改性环氧树脂,高光泽,与氨基树脂相容性好,可用于金属捆带等金属及玻璃烤漆

助剂系列

- ◆ 水性催干剂系列——HLD061/FED081/FED083 (new) 无需研磨,可在任意阶段添加;高效快速催干;恒久的耐水解稳定性
- ◆ 水性有机颜料分散剂系列——P1700/P1800/P1900 优异的展色性、稳定性,赋予各类水性涂料体系良好的光泽和流动性,特别适用于炭黑和有机颜料的分散
- ◆ 乳化型水性催干剂系列——FED-100/FED-3000 研磨阶段加入; 更高的性价比; 优异的耐黄变性
- ◆ 水性流平润湿剂系列——CF245/CF246 可润湿不同种类基材,良好的流动性和抗缩孔性,极低的起泡性
- ◆ 亲水自洁助剂系列——GY100/GY101 用于溶剂型涂料体系。可提供含硅、含氟两种助剂方案。通过使涂膜表面亲水而达到极好的抗沾污性,同时具有良好的耐候性

圍町多延退於全面的郵際亦祭

销售热线 张先生: 13701984505(树脂) 党先生: 13482363668(助剂) 技术垂询: 021-62652693 52827032 邮 箱: wuwenxi@shhuayi.com

址: http://www.hyfchem.cn XX



SUPREAD™ 3410 有机硅改性基材润湿剂

- 优异的气液与液固的界面活性
- 强效降低水性体系表面张力
- 极佳的基材润湿效果
- 有效防止或消除漆膜缩孔
- 不易稳泡





NALZIN® FA 180 腐蚀抑制剂

- 改性锌螯合物,不含APEO
- 添加于配方、有效防止漆膜闪锈生成
- 可稀释薄涂于金属表面用于防止闪锈
- 罐内防腐蚀
- 本地化生产,稳定供应



2025

中国国际涂料博览会

暨第二十三届中国国际涂料展览会 THE WORLD OF COLOURS FOR ALL INDUSTRIES

展位火热预订中

2025年9月

September, 2025

上海新国际博览中心 Shanghai New International Expo Centre

主办方: 中国涂料工业协会

Organizer: China National Coatings Industry Association

承办方: 北京涂博国际展览有限公司

Undertaken by: Beijing TUBO International Exhibition Co., Ltd.

www.coatshow.cn





中国涂料 CHINA COATINGS 公益广告 JIENENG JIANGTAN LVSE FAZHAN

世紀子伝統民党は大民

── 美丽中国 涂料行业在行动 ──





山东郯城经济开发区

SHANDONG TANCHENG ECONOMIC DEVELOPMENT ZONE

中国涂料工业协会共建园区;

山东省省级经济开发区;

山东省首批D级化工园区;

山东省首批智安园区;

山东省生态工业园区;

山东野城经济开发区



地址: 山东・郯城・郯马路7号 电话: 0539-6800801



精益机械 精益求精

集科研、设计、生产、销售及售后服务为一体的全过程制造企业 涂料、油墨、化工机械设备专业制造商





智能型成套涂料设备生产线工程案例













坚持品质、信誉、创新、服务是我们立足市场的法宝、坚持打造高质量、环保型 节能型设备是精益人永恒追求的目标。

欢迎到本公司实地考察

宜兴市精益机械有限公司

牌商标

YIXING CITY JINGYI MACHINERY CO., LTD.

地址: 江苏省宜兴市周铁镇学前路159号 邮编: 214261 电话: 0510-87505845 87503845 87501845(售后热线) 传真: 0510-87501845 手机: (0)13606157306 13915393292 http://www.kingyi.com http://www.jingyimachine.com E-mail:kingyi@kingyi.com #159, Xueqian Road, Zhoutie Town, Yixing City, Jiangsu Province P.C. 214261 TEL: 0510-87505845 87503845 87501845 (售后热线) FAX: 0510-87501845 Fd; wangxinghao MP; (0)13606157306 13915393292 http://www.kingyi.com http://www.jingyimachine.com E-mail: kingyi@kingyi.com



清水,莹珠,紫砂漾;

执着,专注,宇星立。

紫砂, 理想的茶具, 名满寰宇;

宇星,世界一流的氧化铁颜料工厂,畅销全球。

生同根, 誉天下。

With rinsing and sparkling dew, we make Zisha. With Persistence and focus, we build Yuxing. Of best tea set is global shining zisha Of world famous iron oxide pigment manufacturer is Yuxing Born same we were, world known we are









耐诺研磨介质Nanorbeads®

The Beads for Fining Your Life

耐诺 (Nanorbeads®)研磨介质采用优质的原料和结合德国、韩国的先进技术精制 而成。适合卧式、立式砂磨机(珠磨机)对颜料、油漆、油墨、水墨、农药、电子浆料、 电池材料和金属矿等作高效、经济和环保的分散和研磨。



NanorZr-64 耐诺硅酸锆珠

采用专利的滚动成型,中 温烧结定相的工艺制成。 珠子由致密的硅酸锆微粒 构成,无空腔,磨耗率是同类 珠子的1/2。适合中、低粘度 浆料的研磨, 为实用型的 研磨介质。

氧化锆:64% 氧化硅: 33%

径: 0.4~12mm 重: >4.0kg/dm3 重: >2.5kg/L 维氏硬度: >900kg/mm2 吨 磨 耗: ≈ 0.05kg/T



NanorZr-85 耐诺复合锆珠

采用优质的钇稳定锆粉和超 细的氧化铝粉径滴定滚动成 坯,高温烧结定相的工艺制成。 珠子由均匀的铝增韧氧化锆 晶粒组成, 拒绝了空腔珠 尾巴珠和雪人珠等。优异的 球度和中高的密度提高了研 磨效率。适合中高粘度浆料 的研磨和分散。

氧化锆: 85% 氧化钇:5%

径: 0.4~5.0mm 重: >5.2kg/dm3 重: >3.2kg/L 维氏硬度: >1050kg/mm2 吨 磨 耗: ≈ 0.03kg/T

NanorZr-Ce 耐诺铈稳定氧化锆珠

采用氧化铈作稳定,滴定 成型,烧焙定相的工艺制 成。珠子的微观结构为细 腻、致密的四方氧化锆微 晶, 使介质具有宝石般的 密度和硬度。适合对高固 相、高磨蚀的物料分散和 研磨。

氧 化 锆: 80% 氧化铈:20%

径: 0.3~2.5mm 比 重: >6.1kg/dm3 重: >3.9kg/L

维氏硬度: >1100kg/mm2 吨 磨 耗: ≈ 0.01kg/T



NanorZr-95 耐诺钇稳定氧化锆珠

采用氧化钇作稳定,全球领 先的电解液中滴定成型。超 细的原料保证了介质致密的 微观结构,珍珠般的色泽和 球度代表了磨质中的极品。 适合对拒绝污染的物料超细 分散和研磨。

氧化 锆: 95%

氧化 钇:5%

径: 0.05~50mm 重: >6.0kg/dm3 重: >3.6kg/L

维氏硬度: >1200kg/mm2 吨 磨 耗:≈ 0.01kg/T





NanorSi 玻璃珠



NanorCr 铬钢球



NanorSiN 碳化硅珠



质

地址: 广州市番禺区南堤东路780号

电话: 020-84603730 84604831 84600825 传真: 020-84603731

网址: www.nanorbeads.com

■无锡办事处:

□河源工厂:

PC: 511400

电邮: info@nanorbeads.com

电话: 0510-85430482 传真: 0510-85425360 电话: 0762-8810227 传真: 0762-8810223





湖北巴司特科技股份有限公司 HUBEI BASTER TECHNOLOGY CO., LTD.



巴司特股份公司是一家以新型树脂、防腐、纳米材料、聚硅材料、复合材料的研制、开发和生产为核心的股份制高新技术企业,年产3万吨无机富锌系列树脂及年产2万吨新型树脂,现已成为国内生产无机树脂的大型专业性制造公司。产品先后在三峡工程、奥运场馆、世博场馆、舟山石化、黄岛石化、镇海炼化、大榭岛油库、大连石化、上海石化、武汉石化、新疆独山子石化、乌市石化、克拉玛依石化、广西钦州石化、福建福炼石化、曹妃甸国储、山东弘润石化、中化泉州石化、武汉长江大桥、武汉长江二桥、武汉二七大桥、武汉天兴洲大桥、武汉二环线高架桥、武汉姑嫂树高架桥、杭州湾跨海大桥、青岛海湾大桥、武广高铁、京沪高铁、武汉天河机场、重庆江北机场、长沙贺龙体育场、武汉国际会展中心、上海钻石大厦、武汉新世界中心、广州火车站、武汉火车站、汉口火车站、宁波北仑电厂、广东潮州电厂、泰州电厂、巴西电厂、美国电厂、秦皇岛热电厂、宁德核电站、洛阳电厂、内蒙古托克电厂等800多个知名工程上使用,获得广大客户的肯定和好评。

系列新型树脂产品

- E777-1 E777-2 E777-3 E777-4 E777-5 水性无机富锌涂料专用树脂
- **E8800 E8800-01** 高效能水溶无机车间预涂专用树脂
- BA9105-3 水性冷涂锌(铝)专用树脂

凡使用我司生产的树脂系列产品, 我们将无偿提供完整的成熟配方,全程跟踪服务。 欢迎索取资料及样品!

- **E702-1 E702-2 E702-3** 醇溶型无机富锌涂料专用树脂
- BA9150-1 BA9150-2 冷涂锌(铝)专用树脂
- **BA1088-1** 聚硅涂料专用树脂
- BE6189 单组分醇溶无机专用树脂





官方网站

官方微信

全国免费电话 400 027 3339 地址: 湖北汉川经济开发区汉正大道

电话: 0712-8799888 传真: 0712-8799666 技术与服务热线: (0)13908620025 18972666456 网址: www.chinabast.com bast@chinabast.com

专利号: ZL200710035278.2 2L200710035280.X 2L200710035279.7



湘潭市双马世纪新材料有限公司

本公司专业提供各类防锈颜料,为您改善性能、降低成本助一臂之力!

湘潭市双马世纪新材料有限公司是一家专业开发、生产涂料用防锈颜填料的高新技术企业, 产品拥有多项国家专利,且性价比高,无毒无害,目前拥有八大系列一百余种防锈料,产品优 异的使用性能及成本竞争力得到了全国各用户的信赖与好评,在行业内享有盛誉!

产品名称		产品特性	用途
水性 漆防 锈料	水性复合磷酸锌 水性908复合防锈料 水性1808防锈颜料 水性808防锈颜料 钼酸锌改性防锈料	化学防锈与超微细粉体的致密性 耐盐雾性能优异 表面包膜处理,优异防锈性 耐候性 多重防腐机理与保护 强氧化性 增强表面钝化膜稳定性	取代红丹及磷酸锌取代部分锌粉水性防锈底漆面漆水性醇酸、环氧、丙烯酸和磷酸锌搭配提升耐盐雾
油性漆防锈料	908防锈料	防腐性能好,耐焊接	替代部分锌粉或单独使用
	锌合金粉	防腐性能优异,附着力好	单独使用可达到富锌防腐效果
	1808防锈料	表面包膜处理 易分散 防腐性能好	替代磷酸锌 三聚磷酸铝
	808防锈料	多重防腐机理作用,性价比高	各类防腐底漆
水油通	氧化铁红、氧化铁黑、SM防锈料、DM防锈料、磷硅粉、艳绿、磷铬酸锌、改性磷铁粉、硼酸锌		
用产品	改性防锈料、锶铬黄改性防锈料		





销售热线:

0731-58550577, 13307321717(董先生)

传真: 0731-58550077 网址:www.hnsmsj.cn

水性漆专用版銹料推荐



● 建筑涂料材料

硅丙烯酸乳液 多彩涂料硅丙乳液 无机(涂料)硅树脂系列 水泥基防水乳液 瓷砖胶丙烯酸乳液 高光、哑光、硅丙丙烯酸乳液 亲水涂料纳米乳液 真石漆专用乳液系列 苯丙、纯丙、弹性丙烯酸乳液

• 工业涂料乳液

皮革涂饰乳液 防锈漆丙烯酸乳液 丙烯酸改性沥青乳液 阳离子压敏丙烯酸乳液 水性封闭型聚氨酯固化剂 纺织品处理乳液 无机富锌漆硅树脂 阳离子水性油墨乳液 硅溶胶/硅酸锂/硅酸钾 气凝胶耐高温隔热工业涂料 阳离子硅丙乳液 羟基丙烯酸分散体 PUA聚氨酯改性乳液 高固量低粘丙烯酸乳液 氟丙防腐乳液(含氟量18%)

铝压铸脱模剂



代加工: 丙烯酸乳液、无机涂料



• 总代理: 美国阿特拉斯产品



江 苏 国 联 科 技 有 眼 公 司江苏华晟国联科技有限公司江明市涂料研究所有限公司

总部: 江阴市临港新城夏港街道夏南路32号 电话: +86+510-86161100 86162111 E-mail: gl.info@guolianchem.com Http://www.guolianchem.com

广州和一自动化设备有限公司是一家集专业研发、设计、生产销售各类自动化液体灌装机、贴标机、 码垛机、机器人、全自动灌装线定制及自动化控制系统等专业设备解决方案供应商。

同时也是相关灌装机械设备的高科技企业,其产品广泛地应用于化工、油脂、涂料等各个行业。

公司凭借雄厚的技术力量与先进的生产工艺及专业设备,多年以来潜心研究与开发使我们的产品具有 理高效、更精准、性能更稳定等显著特征,产品广泛应用于国内外众多精细化工领域,涂料、油漆、粘合 剂、树脂、化工溶剂、固化剂、润滑油、原子灰、陶瓷墨水、电池材料、各类油墨、喷墨墨水、及新材料 行业、公司根据不同领域的客户及行业涉及材料的特性提供具有针对性的优质产品及服务,并获得广大客 户的认可与肯定,2019年2022年更是评为广州市高新企业,和一也是广东、山东、浙江、湖南涂料协会 成员、胶粘协会成员。



地址:广州市番禺区桥南陈涌村金业二巷34号

联系方式: 020-84730667 13751780907 (许先生) 邮箱: gzheyizdh@163.com 网址: www.gzhyzdh.com





制造与色世界的同时,我们更级力于生态孤境的保护! —— 双系颜料



creating hand in hand for colorful world 携 手 共 创 出 色 世 界

双乐颜料股份有限公司

Tel: 0523-83762051 Fax: 0523-83760948 Web: www.shuangle.com Add: 江苏省兴化市张郭镇人民路2号

电话: 400-684-2999



向 绿 而 生

技术一体化

服务一体化

产品系统化

外立面修缮

解决外立面渗漏、空鼓、开裂、脱落、 粉化等质量缺陷,提供外立面加固、防水、 节能、饰面翻新服务。

地下空间修缮

解决地下空间渗漏、返潮、霉变、开裂等质量缺陷,提供地下空间防水、防霉、饰面翻新服务。

屋面修缮

解决屋面渗漏、空鼓、开裂、起壳、 粉化等质量缺陷,提供屋面防水、防腐、 节能、屋面美化服务。

室内翻新修缮

解决室内渗漏、起皮、返潮、霉变等质量缺陷, 提供室内防水、防潮、墙面翻新服务。



400-6615-797

固克节能科技股份有限公司

地址: 厦门市同安区莲花镇莲美三路136号



诚招全国代理商 | 免费热线: 400-098-2003

厂 址:安徽省滁州市南谯区大柳镇大柳工业区119号

邮 编: 239071 电 话: 0550-3890223 3890889 3890977

传真: 0550-3890997 邮箱: 391543750@qq.com 网址: www.wan-qiao.cn





本公司是一家引进德国技术专业设计、制造涂料灌装机械的高科技企业。公司成立于上世纪90年代,现建有10000平米现代化标准厂房。公司配备先进的生产设备,拥有一批高科技人才;公司现有活塞式和称重式两大系列灌装机全方位满足客户的要求;公司产品在国内占领先地位。并远销欧洲、中东、东南亚等国家和地区。



适用范围:各种涂料、真石漆、油漆、油墨、胶粘



小口桶灌装机 GCJ02-50-IBY



20L四头环保型灌装机 GCJ04-50-IBQ



称重自动液体灌装机 GCJ02-50-ICBLJP



龙门架码垛机



防爆定位贴标机 KJ-18CTB



称重式自动液体灌装机 GCJ04-06-IIBQUFP



自清洗过滤机 GQL-800-B-40-X



称重式半自动液体灌装机 GCJ01-50-IBTP

邮

网



称重式半自动液体灌装机 GCJ01-50-IBTP

江明市康捷机械制造有限公司

经 理: 缪惠林

业务电话: 0510-86563878 13806163391

传 真: 0510-86562684

址: 江苏江阴市峭岐工业园区迎宾大道31号

箱: jykjjx@foxmail.com

站: www. kangjiemachinery.com



鞍山七彩化学股份有限公司 ANSHAN HIFICHEM CO., LTD.

含鹽颜腳醬代方窯

COLORing solution to "Lead Free"

鞍山七彩化学股份有限公司,是中国较大的苯并咪唑酮,异吲哚啉以及偶氮缩合颜料的生产商,秉承精益求精的制造精神,基于强大的生产和研发团队以及完善的环保设施,始终确保稳定的向客户提供高品质的高性能有机颜料产品。传统的铅铬黄,钼铬橙等颜料由于含有对人体和环境有害的重金属,已被越来越多的行业禁止使用,HIFIFAST系列高性能有机颜料,为您提供绿光黄→中黄→橙色→红色色区的全套解决方案,不仅能够从色彩上满足客户要求,更能在合理的成本下同时提升涂料产品的整体性能。





Eversorb®

永光化学是世界主要的紫外线吸收剂及光安定剂制造商之一,产品名称为 Eversorb®。添加永光之光安定剂可抵抗日光及人造光中的紫外线并增加耐候性, 进而延长使用寿命。

■产品系列

紫外线吸收剂 UV Absorbers 受阻胺光安定剂 Hindered Amine Ligh Stabilizers (HALS) 复配型光安定剂 Performance Light Stabilizers 母粒 UV Masterbatches

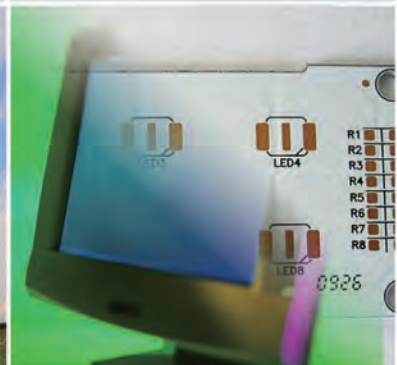


绿能产业 Green Energy Industries

光电产业 Optoelectronic Industries







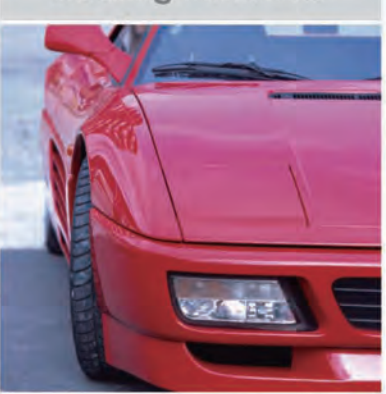
塑胶产业 Plastic Industries

运动用品 PU / TPU sports goods

涂料产业 Coating Industries







明德国际仓储贸易(上海)有限公司 ETHICAL (SHANGHAI) LTD.





点滴创造价值

股票简称:嘉智信诺 股票代码:831654

信诺®丙烯酸酯基反应型硅油

信诺®WE-D1200是具有单官能度的甲基丙烯酰氧基反应型硅油, 可以广泛适用于丙烯酸树脂与乳液的改性,在相应的引入有机硅 单元,提高树脂与乳液的耐候性,可降低涂层的摩擦系数,增强滑 爽性并提供舒适的手感,还可提高涂层的耐水性。

■产品结构

产品型号	官能团位置	结构及分子量
信诺 [®] WE-D1200	侧链	CH ₃

■应用领域

★丙烯酸树脂改性; ★适合于乳液聚合与溶液聚合;

■作用原理及特性

- ★通过有机硅改性提供优异的手感与滑爽性;
- ★有机硅硅氧键的引入,可明显降低对涂层的表面张力,提高涂 层对水的接触角;
- ★有机硅硅氧键本身具有优异的耐候性能,提供涂层更优异的耐 黄变性能;
- ★可提高涂膜的耐水性:
- ★因其具有反应活性,可保持长久有效性。

■使用方法

将信诺®WE-D1200用作一种自由基聚合单体,与丙烯酸酯类单 体进行共聚。



安徽嘉智信诺化工股份有限公司 池州市东至县香隅化工园通和北路

电话: 0566-7011525 7011527 传真: 0566-7011527 联系人: 陈先生 136 9566 2277

网站: www.xoanonschem.com 邮箱: INFO@XOANONSCHEM.COM



联系人(微信)





水性工业城脂

- 环氧乳液
- 丙烯酸树脂
- 环氧固化剂
- 丙烯酸乳液
- 氯醋树脂
- 氯乙烯共聚乳液

应用领域



工业防腐



工业烤漆



工程机械



家具木器



轨道交通



3 C 対月 Bウ

聘精英 共创想

○ 水性产品经理

- 1、年龄25~45岁,本科及以上学历。
- 2、熟悉水性工业树脂产品或应用,有至少2年的水性树脂或涂料行业工作经验。

水性技术服务经理

- 1、年龄 25-45 岁,本科及以上学历。
- 2、熟悉水性工业树脂(环氧乳液、丙烯酸树脂、 聚氨酯树脂等)在水性工业涂料中的应用, 有3年以上相关工作经验。



咨询电话: 毕女士 13656189064

办公地址:上海、无锡均可

公司电话: 0510-88790970

公司网站: www.wuxihonghui.cn公司地址: 无锡市锡山区东港镇新材料产业园

《中国涂料》杂志社有限公司

刊群与新媒体



《中国涂料》杂志(月刊, ISSN1006-2556, CN11-3544/TQ)、《欧洲涂料杂志》(中文版)、 《中国涂料工业年鉴》、《中国涂料》(英文版)、

中国涂料工业协会官方微信公众平台、《中国涂料》微信公众平台、 "涂料博览"微信公众平台、《中国涂料》视频号、

www.chinacoatingnet.com 中国涂料工业协会官方网站、www.chinacoatings.com.cn 中国涂料 官方网站

《中国涂料》杂志 (月刊)

主管: 中国石油和化学工业联合会 主办: 中国涂料工业协会

ISSN1006-2556, CN11-3544/TQ

国内邮发代号: 82-810 广告发布登记号:京丰工商广登字20170022号

《中国涂料》杂志1986年3月创刊,是由原国家科委批准出版、中华人民共和国国家新闻出版广电总局 认定A类学术期刊,入围2020武大版核心期刊RCCSE准核心期刊目录。连续荣获第六届、第七届、第八届 "全国石油和化工行业优秀报刊一等奖",连续入选第一届、第二届"全国石油和化工期刊百强榜" "精品期刊40强""学术期刊60强""期刊数字化30强"。











《中国涂料》 官方微信公众平台



王 欢 汤大友 电话/传真:

广告部

冯立辉 王明茹 张世凤 李 雯 崔桐源

(010)62252420/67603801 62253830/67600538

(010)62253830

设计部

电话: (010)67607320



刊号 ISSN1006-2556 CN11-3544/TQ 邮发代号 82-810

欢迎订阅《中国涂料》(月刊)

中国涂料工业协会主办

政策导向——提供决策信息,预测未来发展 前卫视角——聚焦前沿技术,内容新颖独特立足行业——关注行业走势,报道市场变化 广告展示——沟通供需渠道,提升品牌形象

面向市场

面向企业

面向读者

主要栏目。行业走势、市场动态、百家争妍、技术研发、新产品 新材料、国外动态、知识窗定价。每期26元,全年312元(含邮资)全国各地邮局均可订阅

订阅服务:邮局订阅不便者,可随时与广告发行部联系

地址。北京市丰台区成寿寺158号办公楼四层西侧 邮编 100079

电话(传真) 010-62253830 62252420

户 名 《中国涂料》杂志社有限公司 开户行 工行北京六铺炕分理处 账号 0200022309006851695

广告索引 ADWERTISING INDEX

彩色广告

封1	江苏天问新材料科技有限公司	5	湖北巴司特科技股份有限公司
封2	上海华谊精细化工有限公司技术中心	6	湘潭市双马世纪新材料有限公司
封3	上海诺辉智能科技有限公司	7	江苏国联科技有限公司
封4	江苏布威伦环保科技有限公司	8	广州和一自动化设备有限公司
拉1	德谦(上海)化学有限公司	9	双乐颜料股份有限公司
拉2	德谦 (上海) 化学有限公司	10	厦门固克涂料集团有限公司
拉3	北京徐博国际展览有限公司	11	滁州万桥绢云母有限公司
拉4	公益广告	12	江阴市康捷机械制造有限公司
1	山东郯城经济开发区管理委员会	13	鞍山七彩化学股份有限公司
2	宜兴市精益机械有限公司	14	明德国际仓储贸易(上海)有限公司
3	江苏宇星科技有限公司	15	安徽嘉智信诺化工股份有限公司
4	广州柏励司研磨介质有限公司	16	无锡洪汇新材料科技股份有限公司

专色广告

1 招商广告 2

《中国涂料》征订通知

N少VA诺辉®

专注于精细化工智能工厂建设 粉体输送 研磨 混合设备

量身定制单机/成套设备

上海诺辉专注于流体领域分散、研磨、乳化、搅拌及系统集成设备研发、制造,通过实践不断推陈出新,为精细化工、涂料、胶粘剂、农药和新能源材料等领域 提供全面的设备和技术解决方案;可为您量身定制各种智能化成套设备;我们服务的行业包括:涂料、油墨、树脂、农药、润滑油、胶粘剂、新能源、造纸化学 品、电子化学品、印染和纺织助剂等。



智控一体



环保节能



高效安全



精准选型



专业提供智能化涂料成套设备及技术解决方案 20多年经验...

行星分散搅拌机



大流量全能砂磨机



篮式研磨机



液体全自动灌装机



上海诺辉智能科技有限公司

上海制造基地:上海市宝山区北蕰川路1000号 江苏制造基地:江苏省常州市经开区横山桥镇奚巷



客服 400-106-0686



E-Mail: nova@novachn.cn



绿色环保安全理念践行者



低羟羟基丙烯酸分散体 中羟羟基丙烯酸分散体 高羟羟基丙烯酸分散体 可用全油性固化剂

> 水性助剂 油性助剂

水性环氧分散体 水性改性胺固化剂 水性单组份环氧乳液 高耐盐雾型

乳液



江苏布威伦环保科技有限公司

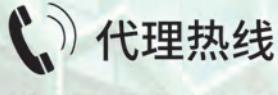
地址: 江苏省常州市新北区龙虎塘街道潘杨路28号

30幢2号四层

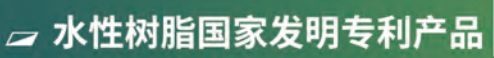
电话: 0519-81884271 传真: 0519-85788271

网址: http://www.briln.com/

生产工厂地址:扬州化工园区创业路11号-5



137 7680 0530





种新型羟基丙烯酸分散体及其应用 ZL 2018 1 0004702.5

种聚醚多元醇-不饱和聚酯改性的羟基丙烯酸分散体的制备方法 ZL 2018 1 0004659.2









中华人民共和国国家新闻出版广电总局A类学术期刊连续荣获第六届、第七届、第八届"全国石油和化工行业优秀报刊一等奖"

入选"全国石油和化工期刊百强榜""精品期刊40强" "学术期刊60强""期刊数字化30强"

期刊基本参数: CN11-3544/TQ*1986*m*16*76* zh*P*¥26.00*8000*13*2024-06

- ◆《中国学术期刊(光盘版)》收录期刊
- ◆《中国万方数字资源系统》收录期刊
- ◆《中文科技期刊数据库》收录期刊
- ◆《中国核心期刊(遴选)数据库》来源期刊
- ◆《中国学术期刊影响因子年报》统计刊源
- ◆《中国学术期刊综合评价数据库》(CAJCED)统计刊源
- ◆《中国学术期刊综合引证报告》统计刊源
- ◆《中国期刊全文数据库》(CJFD)全文收录期刊
- ◆美国CA化学文摘收录期刊
- ◆《中国学术期刊数据库》(CSPD)统计刊源
- ◆2023武大版核心期刊《中国学术期刊评价研究报告》
- (RCCSE)准核心期刊目录收录刊源
- ◆国际DOI中国注册与服务中心(学术期刊)会员 ◆专业内容知识聚合服务平台创新服务示范单位



中国涂料工业协会 官方微信公众平台



《中国涂料》 官方微信公众<u>平台</u>

www.chinacoatingnet.com 中国涂料工业协会官方网站www.chinacoatings.com.cn 中国涂料[®]官方网站

国内邮发代号: 82-810 国外发行代号: 4533BM

出版 日期: 2024年06月30日 国内定价: 每册26元 全年312元

国 外 定 价: 每册12 USD 全年144 USD(空邮)

国内发行处:北京报刊发行局

国外总发行:中国国际图书贸易总公司

订 阅 处:全国各地邮局



ZHONGGUO TULIAO

2024年第 06 期

第39卷(总第336期)

1986年3月创办(月刊) 国内外公开发行

国际标准连续出版物号 ISSN 1006-2556 国内统一连续出版物号 CN 11-3544/TQ 广告发布登记号 京丰工商广登字20170022号

主管单位 中国石油和化学工业联合会

主办单位 中国涂料工业协会

出版单位《中国涂料》杂志社有限公司

地 址 北京市丰台区成寿寺158号办公楼四层西侧

邮政编码 100079

电子邮箱 chinacoatingnet@vip.163.com 网 址 www.chinacoatingnet.com www.chinacoatings.com.cn

印 刷 北京金康利印刷有限公司

董事长徐艳总经理樊森

副总经理 冯立辉 王明茹

主 编樊 森副主编王 欢

编辑部

部 长 王 欢副 部 长 汤大友英文编辑 王 石

电话/传真 (010) 62252368

广告部

部 长 张世凤副 部 长 崔桐源广告联系 李 雯

电话/传真 (010) 62252420 67603801 62253830 67600538

设计部

副 部 长 杨永新

电 话 (010) 67607320

发行部

副部长李雯

电 话 (010) 62253830

谭志良

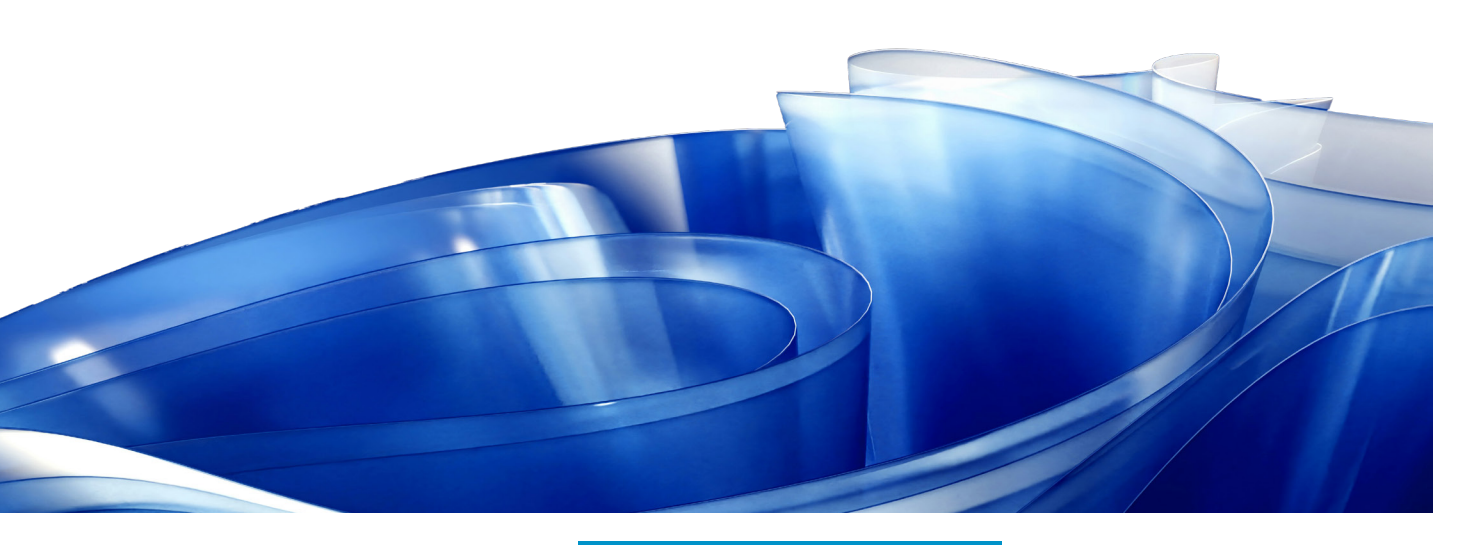
戴丽娜

扎实推进涂料行业科技创新和 产业创新深度融合

科技兴则民族兴,科技强则国家强。2024年6月24日,全国科技大会、两院院士大会的召开,复旦大学和海洋化工院有限公司共同完成的"硅氧烷杂化聚合物功能涂层设计制备新技术及其应用"项目荣获2023年度国家技术发明奖二等奖,这些都激励着我们涂料行业在创新驱动引领高质量发展的征程上持续前进。

当今,世界百年未有之大变局加速演进,新一轮的科技革命和产业变革深入发展,科技革命与大国博弈相互交织,高技术领域成为国际竞争最前沿和主战场,深刻重塑全球秩序和发展格局。目前,我国科技发展原始创新能力还相对薄弱,还存在一些弱项和短板,必须进一步加大科技创新力度,抢占科技创新和未来发展制高点。要充分发挥新型举国体制优势,加快推进高水平科技自立自强,扎实推动科技创新和产业创新深度融合,助力发展新质生产力,强化企业科技创新主体地位,促进科技成果转化应用,充分激发创新创造活力,构筑人才竞争优势,要调动产学研各环节的积极性,推动企业主导的产学研融通创新。这些,给我们广大科技工作者指明了今后奋进方向,同时也给我们从事涂料产业研究和应用研究的从业人员,给中国涂料行业的发展指明了方向。

中国涂料工业协会也正在积极推动涂料行业的科技创新,以"创新引领,塑造新质生产力"为主题的2024中国涂料工业未来技术发展大会,正是落实总书记"推动科技创新和产业创新深度融合"讲话精神的具体实践。搭建了一座中国涂料界企业、高校、科研院所产学研用深度融合的高端平台。相信,通过此次会议的召开,一定会进一步加快推进涂料关键核心技术协同攻关,推动涂料科学与技术的交融,促进学界与业界的突破,形成上下贯通、左右衔合、纵横嵌入的全行业、全产业链融合发展的新发展格局,推动涂料行业科学技术水平再上新台阶。



《中国涂料》第 9 届编委会

荣誉编委 (按姓氏笔划为序)

石玉梅 叶汉慈 朱传棨 刘国杰 刘登良 杨 桓 段质美 洪啸吟 钱伯容

丁 智 王建忠 付大海 刘娅莉 杜素军 何贵平 陈安强 周建龙 咸才军 奚 祥 葛扣根 干 杰 王爱民 朱庆红 刘梅玲 李少香 何桂兰 陈寿牛 居尔蕃 段洪东 凌 芹 茲建平 马春风 王晶晶 杨亚良 张 明 陈志强 危春阳 刘福春 赵纯 俞剑峰 高 原 傅文峰 王 燕 王新征 刘 仁 齐祥安 杨松柏 张世元 林 喆 谢 赵石林 姜方群 高继东 王立峰 王新朝 刘 斌 闫福安 吴 勇 张海飞 罗启涛 赵治巨 祝季华 涂伟萍 茲 芸 王华进 申亮 刘 新 孙兰波 吴希革 陈 俊 季 静 赵绍洪 袁泉利 黄 震 田太阳 刘东华 杜利民 吴瑞浪 陈小文 周 全 胡中源 顾 林 崔锦峰 廖 刘保磊 杜玲玲 邱星林 陈中华 周子鹄 胡显聪 田铁梁 顾学斌 童志源

2024 06

中国涂料

CHINA COATINGS

主管:中国石油和化学工业联合会主办:中国涂料工业协会协办:海洋化工研究院有限公司

第39卷(总336期)



技术进展

- O1 食品接触用涂料研究进展 孙 琰,邵亚诗,李其原,杨 凯,王 晓,张善贵
- 07 液体润滑浸渍表面(SLIPS)船舶防污涂层最 新研究进展

徐 森,徐 畅,张 凯,孙一鸣,丛巍巍

木器涂料与涂装

- 16 UV光固化亚光白面漆黏度稳定性研究 段晓俊,罗建华,梁文康,朱延安
- 21 水性高硬度抗压抗污渍清面漆的制备 赵祥元,李彩霞,陈锦江,段晓俊,朱延安
 - 26 水性木器白漆调色后颜色稳定性研究 郑晓波,汪 洁,张冬华,陈雪芳,袁 虎
 - 33 染色木皮专用水性双组分全亚光面漆的研究与应用

李冠来,夏正明

38 羟基聚氨酯丙烯酸酯乳液的合成及其在双组分木器涂料中的应用

柴 广,雷木生,游仁国

44 一种快干抗黏连水性单组分清漆的研制与 应用

许伟东,杨泽生,罗新强,卢永福

技术研发

48 一种水性丙烯酸改性醇酸钢结构涂料的制备及探讨

张 鑫

54 探究颜基比对80%锌含量环氧涂料性能的 影响

张真真,刘冬平

62 建筑外墙抗紫外罩面清漆的研制 周春雷,叶 志,谭振华,张淑来,许建明,李仕森

涂叙涂议

71 缘何再议"豁免溶剂"——环境友好型涂料 之所需

段质美

全球瞭望

75 竞争激烈的防护涂料市场
Chirag Tripathi, Atul Yadav, Surabhi Patankar

CONTENTS 中国涂料 CHINA COATINGS



2024 Issue 06 Vol. 39 (Total 336) Started in 1986 (Monthly) Published an Distributed at Home and Abroad

CHINA COATINGS

ISSN 1006-2556 CN 11-3544/TO

Advertising Release Registration No: Jingfeng Industry & Business Advertise No.20170022 Responsible Institution: China Petroleum and Chemical Industry Federation

Sponsor: China National Coatings Industry Association

Published by: China Coatings Magazine Co., Ltd. Address: West Side of the 4th Floor, No.158 Office Building, Chengshousi, Fengtai District, Beijing, China

Post Code: 100079 E-mail: chinacoatingnet@vip.163.com Http://www.chinacoatingnet.com www.chinacoatings.com.cn

Printed by: Beijing Jinkangli Printing Co., Ltd.

President: XU Yan General Manager: FAN Sen Deputy General Manager: FENG Li-hui WANG Ming-ru

Chief Editor: FAN Sen Deputy Chief Editor: WANG Huan

Editorial Department

Director: WANG Huan Deputy Director: TANG Da-you Interpreter: WANG Shi Tel/Fax: (010)62252368

Advertisement Department

Director: ZHANG Shi-feng Deputy Director: CUI Tong-yuan Contacts: LI Wen Tel/Fax: (010)62252420 67603801

62253830 67600538

Design Department

Deputy Director: YANG Yong-xin Tel: (010)62252420

Distribution Department

Deputy Director: LI Wen Tel: (010)62253830

Domestic Postal Distribution Code: 82-810 International Postal Distribution Code: 4533BM Publication Date:June 30th, 2024

Domestic Price: ¥26/volume ¥312/annual Overseas Price: \$12/volume \$144/annual

(airmail) Distribution at home: Beijing Distribution Office of Newspapers and Periodicals

Distribution abroad: China International Book **Trading Corporation** Subscription: Post Offices all over the Country

Technical Progress

01	Research Progress of Food Contacting Coatings				
$O_{\mathbf{I}}$	SUN Yan, SHAO Ya-shi, LI Qi-vuan, YANG Kai, WANG Xiao, ZHANG Shan-αι				

Recent Advances in Research on Slippery Liquid-infused Porous Surfaces (SLIPS) Marine Antifouling Coatings

XU Sen, XU Chang, ZHANG Kai, SUN Yi-ming, CONG Wei-wei

Wood Coatings and Application

Study on the Viscosity Stability of UV-curing Matte White Topcoat 16 DUAN Xiao-jun, LUO Jian-hua, LIANG Wen-kang, ZHU Yan-an

Preparation of Waterborne High-hardness Anti-pressure and Anti-stain Clear 21 Topcoat

ZHAO Xiang-yuan, LI Cai-xia, CHEN Jin-jiang, DUAN Xiao-jun, ZHU Yan-an

Study on Color Stability of Waterborne Wood White Coatings after Tinting 26 ZHENG Xiao-bo, WANG Jie, ZHANG Dong-hua, CHEN Xue-fang, YUAN Hu

Research and Application of Waterborne Two-component Full Matte Topcoat 33 Specially Formulated for Dyed Wood Veneer LI Guan-lai, XIA Zheng-ming

Synthesis of Hydroxyl Polyurethane Acrylate Emulsion and Its Application in 38 Waterborne Two-component Wood Coatings

CHAI Guang, LEI Mu-sheng, YOU Ren-guo

Development and Application of a Fast-drying Anti-sticking Waterborne 44 Single-component Varnish

XU Wei-dong, YANG Ze-sheng, LUO Xin-qiang, LU Yong-fu

Technical Research and Development

Preparation and Discussion of a Waterborne Acrylic Modified Alkyd Steel Structure 48 Coatings

7HANG Xin

Study on the Effect of Pigment/Filler to Binder Ratio on the Performance of 80% Zinc Content Epoxy Coatings

ZHANG Zhen-zhen, LIU Dong-ping

Development of UV-resistant Topcoat for External Walls of Buildings 62 ZHOU Chun-lei, YE Zhi, TAN Zhen-hua, ZHANG Shu-lai, XU Jian-ming, LI Shi-sen

Coatings Essay

Why Reconsider "Exempt Solvent" - It is Needed for Environmentally Friendly Coatings

DUAN Zhi-mei

Global Watch

Protective Coatings: A Highly Competitive Market

71

Chirag Tripathi, Atul Yadav, Surabhi Patankar

食品接触用涂料研究进展

孙 琰, 邵亚诗, 李其原, 杨 凯, 王 晓, 张善贵 (海洋化工研究院有限公司, 海洋涂料国家重点实验室, 山东青岛 266100)

摘 要: 近年来随着人们的食品安全意识逐步提升,市场对食品接触用涂料的安全卫生要求越来越高。针对食品接触用涂料的使用场景,综述了各类食品接触用涂料的使用特点和研究现状,为防止涂料危害人体健康提供相关参考。

关键词: 食品接触用涂料; 大型食品容器; 输水管路; 水产养殖; 易拉罐; 炊具

中图分类号: TQ630.7

文献标识码:A

文章编号: 1006-2556(2024)06-0001-06

DOI:10.13531/j.cnki.china.coatings.2024.06.001

Research Progress of Food Contacting Coatings

SUN Yan, SHAO Ya-shi, LI Qi-yuan, YANG Kai, WANG Xiao, ZHANG Shan-gui (Marine Chemical Research Institute Co., Ltd., State Key Laboratory of Marine Coatings, Qingdao, Shandong 266100, China)

Abstract: In recent years, the market had increasingly high requirements for the safety and hygiene of food contacting coatings with the gradual improvement of people's food safety awareness. This paper reviews the usage characteristics and research status of various types of food contacting coatings, aiming to provide relevant reference for preventing coatings from harming human health

Key words: food contacting coatings, large food containers, water pipelines, aquaculture, cans, cookware

0 前 言

在食品生产、加工、运输、贮存和销售过程中可能直接或间接触食品的各种材料及制品称为食品接触材料(FCM)^[1]。随着社会生活水平的提高,人们日益关注食品安全问题,也越来越关注食品接触材料的安全性^[2]。我国食品接触材料新国标将食品接触材料分为9大类: 搪瓷制品、陶瓷制品、玻璃制品、塑料树脂、塑料材料及制品、纸和纸板材料及制品、金属及制品、涂料

及涂层、橡胶材料[3]。

在某些食品接触用金属及制品的使用或贮存过程中,饮用食品作为一种腐蚀性较强的介质,可能会在腐蚀金属过程中出现金属迁移至食品中的问题,造成有害物质含量超标,危害人体健康^[4-6]。为防止此问题的出现,常在某些食品容器或包装物内壁添加一层防护涂料,此类防护涂料与食品直接接触,称为食品接触用涂料。近年来人们的食品安全意识逐步提高,

收稿日期:2024-04-08

作者简介: 孙琰(1993-), 男, 山东青岛人。工程师, 硕士, 主要从事环境友好型重防腐涂料研究。

市场对安全环境友好的食品接触用涂料的需求不断增加^[7-8]。根据市场研究报告,预计到2025年,全球食品接触用涂料市场规模将达到150亿美元。

食品接触用涂料在选择使用时必须符合国家相关法规和标准^[9],具有一定美观性和防腐性能,保证使用过程中不易磨损或脱落,易于清洁和维护以减少食品安全风险^[10-11],根据使用场景可分为大型食品容器、船舶饮水舱、输水管路、水产养殖设备、易拉罐类包装容器、炊具等。本文针对食品接触用涂料的使用场景,详细介绍了各类食品接触用涂料的使用特点和研究现状,为防止食品接触用涂料危害人体健康提供相关参考。

1 大型食品容器

大型食品容器是指用于食品行业的大型储罐或加工发酵罐,我国的大型食品容器多以地上储罐为主,且以钢制金属结构居多,各类钢制储罐工程已成为食品行业领域必不可少的、重要的基础设施。常采用有机涂层对其内壁进行防护,涂料本身必须安全环境友好且具有优异的防腐性能,使用最多的是无溶剂无毒涂料^[12]。

大型食品容器内壁涂料应满足无毒无害、耐腐蚀、耐磨、耐高低温、易清洁等基本性能要求。涂料应与容器基材具有良好的附着力,确保涂层不易脱落或起泡,常采用无溶剂环氧重防腐涂料。施工工艺应与容器的生产工艺相适应,涂料的固化、干燥条件与生产线设备和工艺条件相协调,符合相关安全法规和标准,如GB 4806.10—2016《食品安全国家标准 食品接触材料及制品用添加剂使用标准》、GB 4806.1—2016《食品安全国家标准 食品接触材料及制品通用安全要求》。

我国大型食品容器内壁涂料研究较早,在20世纪90年代,北京航空材料研究院研制成功了T-541大型食品容器内壁涂料。其作为国家"七五"计划、原轻工业部"啤酒一条龙"中攻关项目之一,该涂料在我国"八五"期间的啤酒、黄酒、葡萄酒、白酒等的扩建和技改工程中发挥了很大作用。经各单位鉴定,该涂料填补了国内空白,其卫生理化性能均符合国家卫生要求,达到了80年代国际水平,使用寿命长,经济社会效益也十分显著[13]。此后在此基础上,结合白酒的贮存条件,北京航空材料研究院又成功研制了T-551大型白酒贮存内壁涂料,提升了涂料的耐乙醇性能,在各大酒厂使用,效果良好[14]。

近年来大型食品容器内壁涂料发展迅速,由海洋 化工研究院有限公司(以下简称海化院)研发的大型 容器内壁无溶剂无毒涂料,已获得国家知识产权局的 发明专利授权^[15]。在此基础上海化院又进行了底面合一的新型食品容器内壁无毒长效防腐涂料的研制,以及技术性能及应用探索。该涂料具有无毒、无异味、不含任何有机溶剂、附着力好、耐介质性能优异、底面漆合一、使用寿命长等特点,不仅可用于饮食酿造行业的食品容器内壁防腐保护(见图1),还可广泛应用于石油化工、海水淡化工程、造船及长距离输配水管路和城市饮用水设施的内壁防腐保护^[16]。现如今大型食品容器防护技术已经相当成熟,未来发展将重点研究和开发无毒无害且具有抗菌性能的涂料,确保食品安全和延长保质期。





图1 大型容器内壁涂料应用于啤酒发酵罐
Fig. 1 Large Container Inner Wall Coatings Applied to
Beer Fermentation Tanks

2 船舶饮水舱

船舶饮水舱大多采用碳钢构制而成,在船舶航行过程中为船员提供干净、新鲜饮用水。船舶饮水舱涂料的使用可以防止锈蚀物、老化残渣以及外界渗漏等对饮用水或饮用品造成污染,而且还可避免因饮用水或饮用品等长期浸泡造成容器或设施基材的腐蚀、滋养微生物[17-19]。为保证饮用水清洁、不影响船员身体

健康,与大型容器涂料相似,此领域也常采用无溶剂 无毒涂料进行防护。

船舶饮水舱涂料除满足大型容器内壁涂料的基本性能要求外,重点强调的是在海洋环境中能够抵抗水分和其他化学介质的侵蚀。由于船舶饮水舱维修难度较大,涂料设计使用寿命常为10 a以上,常采用无溶剂环氧重防腐涂料。涂料选用时必须满足GB5369—2008《船用饮水舱涂料通用技术条件》^[20]和《生活饮用水输配水设备及防护材料卫生安全评价规范》(2001)。

自20世纪90年代起,我国就开始饮水舱涂料的研制工作^[21],海军医学研究所评价了两种拟用于舰船饮水舱内壁涂料的毒性,为后续饮水舱涂料的研制提供参考^[22]。20世纪以后,国内相关企业院所相继成功研制了饮水舱涂料并对其进行了详细研究^[1923-24]。如浙江飞鲸漆业有限公司研制的841环氧聚酰胺饮水容器内壁涂料,已在多家渔业、航运公司所属船舶上使用;浙江鱼童新材料股份有限公司研制成功可用于饮水舱、压载水舱、各种淡水柜及食品贮存室内壁等的一代新型高性能环境友好型涂料^[25];珠海市威旗防腐科技股份有限公司探讨了饮水舱涂料用树脂、固化剂、颜填料及助剂的选择原则^[26];海化院研制的一种环境友好型淡水舱涂料(见图2),可在各类船舶饮水舱长时间使用^[27]。





图2 涂料应用于船舶淡水舱 Fig. 2 Coatings Applied to Ship Freshwater Tanks

发展至今,饮水舱涂料的成熟产品较多,如常州本洲涂料有限公司研制的H06系列无毒饮水舱涂料,屏蔽性好,长效防腐性能优异;天津市双狮涂料有限公司研制的无毒防腐型环氧涂料,固体含量高,单道成膜厚度高;佐敦研制的DW型无溶剂环氧饮水舱专用涂料(0LW),作为一种双组分无溶剂胺固化的环氧涂料,专门用于饮水储罐,在大气环境和浸没环境下可作为底漆或面漆使用,适用于各类基材。轻量化和长效防腐是未来船舶饮水舱涂料的重要发展方向。轻量化涂层能显著减轻船体质量,有助于提高船舶的燃油效率,降低二氧化碳排放,降低运营成本。长效防腐

涂层则通过优异的耐腐蚀性能,在恶劣的海洋环境中提供持久保护,减少维护频率和费用。结合这两种特性,船舶饮水舱涂料的发展将推动造船业向更加环境友好、经济和可持续的方向前进。

3 输水管路

城市输水管道和远距离输水管路的建造材料以铸铁管、不锈钢管和钢筋混凝土等为主,输送的水会长时间冲刷和摩擦管道内壁,使用涂层防护后输水管路可长期安全运行,在腐蚀较为严重的环境中防护涂层和阴极保护配合使用^[28-31]。阴极保护可以显著增强涂料的防腐性能,通过提供外加电流或牺牲阳极来防止金属基材的腐蚀。然而,阴极保护系统可能加速涂料中的缺陷(如气泡或裂缝)处的电化学反应,导致涂层局部损坏。

输水管路涂料选择应注重其与阴极保护系统的兼容性,常选用高固体分或无溶剂环氧重防腐涂料,确保涂层具备良好的附着力、耐磨性和抗渗透性,以最大限度地发挥综合防腐效果。管路所运输的水多为生活生产所用,对水质方面要求较高,要求防腐涂料本身无毒,对水质无污染,符合输相关安全法规和标准,如GB/T 17219—1998《生活饮用水输配水设备及防护材料的安全性评价标准》、GB 5749—2006《生活饮用水卫生标准》。

塔里木石油勘探开发指挥部管道工程公司承建 的塔里木轮一联至桑塔木供水工程的输水管道, 内壁 防腐选用了北京产红狮牌的饮水容器内壁环氧涂料, 防腐性能好且施工方便[32];张家港市帝博涂料制造有 限公司研发的无毒环境友好型防腐涂料,用于输水管 路使用时可有效降低输水阻力系数,节能降耗[33];新 疆昌吉阜康市境内某长距离供水工程输水管路内壁 采用阴极保护和防腐涂层的方法,确保防腐效果,延 长防腐寿命[34];红花尔基镇供水、输水管道工程管路 内壁采用了双组分白色无毒环氧陶瓷涂料[35];中国石 油天然气总公司工程技术研究院研制生产的8701环 氧树脂防护涂料在大庆油田引松花江水工程、大连市 引水工程、长庆油田生活水管线等工程上应用[36]。现 如今输水管路内壁防护重点考虑施工便利性,研制快 速固化和低温固化的涂料,适应不同环境条件下的施 工需求,缩短施工周期,降低施工成本。未来可研发具 备自修复功能的涂料,能够在涂层受损时自动修复, 以及能够监测管道内部环境变化的智能涂料,如腐蚀 程度、水质变化等,便于及时维护和管理。

4 水产养殖设备

水产养殖设备包括养殖池(养殖舱)、增氧管道、

进水管道和排水管等,大多由混凝土、金属等材料建造,养殖环境可分为海洋环境和淡水环境。养殖过程中为隔绝有害微生物生长,保护水质,不影响水体的pH值及酸碱度,起到良好防水作用,提高水产的存活率,保证水产品无毒无公害,常采用水产养殖涂料对其内壁进行防护[37]。

水产养殖涂料需具有优异的耐水性和耐酸碱性,实际使用时还需考虑养殖物种、水质、水温等多种影响因素。水产养殖涂料可分为环氧树脂类、聚氨酯类和氯化橡胶类,确保其耐腐蚀、抗生物附着性和环保性能,符合相关安全法规和标准,如GB 11607《渔业水质标准》、GB 2762《食品安全国家标准食品中污染物限量》。

20世纪90年代,无锡造漆厂研制了一种海藻养 殖涂料,经分析测试,该涂料可显著提高水产品和海 藻产量。近年来随着涂料产品的更新换代,水产养殖 涂料发展迅速,产品较为成熟。如美国倍克朗生产的 BKL-S006系列生态养殖涂料;海峡涂料(福建)有限 公司生产的H3、H5系列水产养殖涂料;天可汗涂料生 产的生态养殖涂料系列;石家庄利鼎电子材料有限公 司生产的LD-127A/B型养殖池防水涂料;福州智晟新 材料生产的碧海湾系列水产养殖涂料:海化院生产的 环境友好型深远海养殖船养殖舱涂料,卫生理化性能 满足《生活饮用水输配水设备及防护材料卫生安全评 价规范》(2001),施工方便,长效防腐性能优异,已应 用于全球首艘10万吨级智慧渔业养殖工船"国信1号" 养殖舱内壁(见图3)、首批15万吨级智慧渔业大型养 殖工船"国信2-1号""国信2-2号"养殖舱内壁[38]。未来 水产养殖设备涂料可重点考虑开发具有抗污功能的 涂料,防止藻类和其他生物在养殖设施表面附着,减 少维护和清洗频率,以及能够感知和报告养殖环境的 变化的智能涂料,如pH值、温度等,便于及时调整管 理策略。

5 易拉罐类包装容器

易拉罐类包装容器多为铝合金罐,可长时间保证食品不发生变质,自发明以后工艺发展迅速,在我国食品包装业中使用量排名第3,在美国等国家排名第2,已成为现代食品生产包装产业中不可或缺的一部分。易拉罐类包装的食品为啤酒、碳酸饮料、运动饮料、果汁、罐头、奶制品等,为防止食品对罐体内壁的腐蚀,常采用有机涂层进行防护。

各类食品对罐体内壁的腐蚀性不同,在涂层选择时,需根据食品种类进行判断,确保其对食品和饮料的安全性和防护性能,符合相关安全法规和标准,如GB 4806.10—2016《食品安全国家标准 食品接



(a)10万吨级智慧渔业大型养殖工船"国信1号"



(b)养殖工船养殖舱

图3 涂料应用于水产养殖领域

 $Fig. \ 3 \quad Coatings \ Applied \ in \ the \ Field \ of \ Aquaculture$

触用涂料及涂层》、GB 9685—2016《食品安全国家标准 食品接触材料及制品用添加剂使用标准》、GB 4806.1—2016《食品安全国家标准 食品接触材料及制品通用安全要求》。

易拉罐类包装容器内壁涂层所用树脂大多为环 氧树脂,少量采用乙烯基树脂、丙烯酸树脂、聚酯树脂 等,最常用的固化方式是采用双酚基丙烷(BPA)作为 交联剂,有时也可向涂层体系中添加话量溶剂和助 剂,采用加热固化或光固化的方式进行涂层交联。若 涂层体系中未反应完全的BPA和溶剂中的二苯基甲 烷在长时间与食品的接触中可能会缓慢扩散至食物 中,长时间摄入会危害身体健康,所以实际应用时对 该类涂层的实际生产和使用要求极高,确保符合相 关卫生理化性能的技术指标[39]。近年来随着涂料技术 的发展和涂料产品的更新换代,PPG公司推出了不含 BPA的铝饮料罐增强型内部喷涂涂层,预计到目前为 止,该种涂料已在40多个国家的2 200多亿个饮料罐 上得到应用。易拉罐类包装容器内壁涂层未来可重点 使用可再生和生物基材料制造涂料,减少对石油基材 料的依赖,推动可持续发展。

6 炊 具

在日常生活中常在生铁炊具表面添加一层涂层,可以有效解决传统烹饪中食材容易粘连的问题,保持食品的完整性和口感;有效抑制烹饪过程中产生的油

烟;在一定程度上可以起到辅助受热的作用,保证食品 受热均匀;避免炊具表面的空气氧化,提高耐久性^[40]。

炊具用涂层应具备以下性能要求:(1)在高温烹饪条件下保持稳定,不分解、不释放有害物质,一般要求能耐受至少250°C以上的高温;(2)具有良好的耐磨性和耐刮擦性,能够承受日常使用中金属器具的刮擦,不易磨损;(3)具有优异的不粘性能,防止食物粘附在炊具表面,便于烹饪和清洁。确保在烹饪过程中安全、耐用并提供良好的烹饪和清洁体验,符合相关安全法规和标准,如GB 4806.9─2016《食品安全国家标准 食品接触用金属材料及制品》、GB/T 40354─2021《铁质不粘锅》、GB/T 32388─2015《铝及铝合金不粘锅》。

最早的炊具涂层(不粘锅涂层)是聚四氟乙烯(PTFE),也就是我们现在所熟知的特氟龙(Teflon),于1938年由杜邦公司的工程师罗伊·普朗克特发现,后期又开发出了四氟乙烯与全氟丙基乙烯基醚的共聚物等各类全氟聚合物[41-44]。特氟龙在各类炊具(不粘锅、电饭锅内胆、烤箱烤盘)上使用时,具有极低的摩擦系数和优异的疏水性能,能够承受绝大部分的烹饪温度(100~300°C),对绝大多数的强酸、强碱都呈现惰性。但有专家提出,生产特氟龙树脂时的一种加工助剂全氟酸辛(PFOA)会对人体健康造成影响[45],后自2012年及之后上市的特氟龙涂层炊具,都不再使用PFOA。近年来人们也尝试用有机硅树脂和饱和聚酯树脂代替特氟龙[46-47],但依据优异的性能和超高的性价比,特氟龙至今仍占据着市场的主导地位。

除了特氟龙,不粘陶瓷涂层也是炊具涂层中的一个重要组成部分。其作为一种无机纳米材料,采用先进的纳米合成技术,合成出来的陶瓷涂料具有似荷叶的双微结构(微米乳突+纳米结构表面),通过这种纳米结构,陶瓷涂料达到优良的不粘效果^[48]。其通过低温固化成膜后完全是无机分子结构,涂膜具有高硬度、高耐磨、高耐温、耐各种酸碱和化学品性。由于价格影响,陶瓷涂层常用于特殊烹饪场景。

7 结 语

综上所述,食品接触用涂料在我们日常生活中是一种至关重要的涂装材料,它不仅保证食品的安全和卫生,还要维持各类容器和设备正常使用。现如今食品接触用涂料发展较为成熟,市场需求量大,国家制定了严格的法规和标准,对涂料的安全性进行监管。在不同使用场景下涂料具有各自显著的特点和优势,产品选择时在保证食品安全的前提下,要充分考虑涂料的综合性能。

随着食品技术的不断进步,食品接触用涂料仍需不断创新和改进,未来发展将重点关注环境友好和可持续性,使用生物基和可降解材料。同时,提升健康和安全性能,确保无毒无害并具有抗菌功能。在功能性方面,将增强长效防腐、轻量化及智能指示等特性,并通过绿色制造和智能制造技术,推动行业规范化和标准化,实现更高效和环保的生产。

参考文献

- [1] 吴宗旭,刘思洁,崔勇.食品接触材料安全性的探讨[J]. 质量安全与检验检测,2021,31(6):40-43,52
- [2] 胡瑛,胡志华,王磊,等.食品接触材料质量及安全监管措施[J].食品安全导刊,2022(32):48-50
- [3] GB 4806.1—2016,食品安全国家标准 食品接触材料 及制品通用安全要求[S]
- [4] 应晓虹.食品接触材料中有害物质迁移行为的研究[D]. 杭州:浙江大学,2012
- [5] 金艳.基于RASFF通报分析我国食品接触用金属材料及制品安全[J].食品界,2018(8):26-27
- [6] 潘静静,刘兆平,卢倩,等.摩擦行为对食品接触用不锈钢制品中金属元素迁移影响研究[J].中国食品卫生杂志,2020,32(3):234-239
- [7] 姜楠、朱蕾、张泓、等我国坚果籽类食品接触材料膳食 暴露评估基础参数市场调查[J].中国食品卫生杂志、 2020,32(5):535-538
- [8] 刘思洁,姜楠,石矛,等.我国调味品食品接触材料膳食 暴露评估基础参数市场调查研究[J].食品安全质量检 测学报,2021,12(16):6 655-6 660
- [9] 张泓,朱蕾,王竹天,等.食品接触用涂料相关标准清理研究[J].中国食品卫生杂志,2015,27(1):65-70
- [10] 彭晓辉.食品接触涂料用纳米TiO₂助剂的迁移研究及制备[D].济南:山东师范大学,2013
- [11] 杨颉.食品接触材料的安全性研究[D].北京:北京化工 大学,2022
- [12] THIEBES C D, BAUMBACH B D, HAENSEL E D, et al. Food Container Coating:DE,20045011068T[P]
- [13] 岳文华,于一川,陆峰,等.T-五四一大型食品容器内壁 涂料——北京航空材料研究的科研成果[J].中国酒, 1996(5):63-64
- [14] 岳文华,于一川,陆峰,等.白酒大型贮存容器的理想涂料——T-551[J].中国酒,1997(3):31-33
- [15] 张善贵,郭常青,卢伟,等.大型容器内壁无溶剂无毒涂料:中国,200710114530.9[P].2008-07-02
- [16] 方倩,宋振伟,张善贵,等.新型食品容器内壁无毒涂料的研制及应用[J],中国涂料,2011,26(7):35-38,42

- [17] SUMIKAWA Y, NAKADA Y. Preservation of Drinking Water by Coating the Inner Surface of Freshwater Tank-II: Application of Dry Ice before Filling of Water, in An Attempt to Prevent the Alkalization of Drinking Water in Tank Coated with Wash Cement[J]. Oil-Gasfield Surface Engineering, 1989:121-127
- [18] 张万波.涂料在饮用水容器防腐工程中的应用[J].船海工程,2000(1):23-26
- [19] 李姿,王伟,胡嘉想,等.一种无溶剂饮水舱防腐涂料的毒性研究[J].食品安全质量检测学报,2021,12(7):2 706-2 710
- [20] 本刊编辑部.船舶涂料行业新国标介绍[J].涂料技术与 文摘.2009,30(3):21-27
- [21] 傅维中,展荷菊,张维凡.环氧聚酰胺饮水舱涂料水浸有机物的分析[J].涂料工业,1983(2):48-50
- [22] 汪南平.081两种舰船饮水舱涂料的卫生鉴定及毒性评价[J].毒理学杂志,1999,13(3):7-9
- [23] 许志侠.849漆酚饮水舱涂料所致过敏性接触性皮炎28 例[J].中华劳动卫生职业病杂志,1997,15(4):27
- [24] 廖有为,赵舒超,车轶材,等.电厂除盐水箱聚脲防腐涂层的设计与应用[J].电镀与涂饰,2006,25(7):32-34
- [25] 梁新方.无溶剂环氧饮水舱涂料的制备[J].中国涂料, 2011.26(6):58-62
- [26] 赖华生,李铭源.无毒环氧饮水舱涂料及其制备方法[J]. 现代涂料与涂装,2016,19(1):28-29,42
- [27] 石勇,方倩,郭常青,等.环境友好型长寿命淡水舱涂料的制备及性能研究[J].中国涂料,2016,31(10):29-32
- [28] 罗志翔.大、中口径长距离输水管道防腐蚀技术[J].腐 蚀与防护,2000,21(3):109-111,106
- [29] JACK T R, VAN BOVEN G, WILMOTT M, et al. Cathodic Protection Potential Penetration under Disbonded Pipeline Coating[J]. Materials Performance,1994,33(8): 17-21
- [30] 南海蛟.长距离大流量输水管道防腐研究[J].水利规划 与设计,2017(4):92-94
- [31] 谢东,蒋涛,蹇磊,等.外加电流电化学保护在输水管道防腐蚀工程中的应用[J].全面腐蚀控制,2004,18(6):16-19
- [32] 李募祥.塔里木"轮一桑"输水管道环氧涂料内防腐施工[J].石油工程建设,1994(1):47-48

- [33] 张海梅,彭金花.无毒环保涂料在输水管线中的应用 [C]//中外防腐蚀和分离工程新技术、新产品应用推广 大会论文集.北京:中国化工学会,中国防腐蚀技术协会, 2004
- [34] 王哲,王恩辉.新疆某长距离供水工程输水管道防腐设计[J].西北水电,2013(4):43-44
- [35] 宋铁鼎,毛建生.防腐涂料在红花尔基供水、输水管道工程中的应用[J].内蒙古水利,2012(5):87-89
- [36] 张桂英.8701涂料可作为生活饮用水容器和管线的防腐涂料[J].石油工程建设,1992(4):35
- [37] 邓舜扬.水产养殖涂料[J].杭州化工,1984(2):64,63
- [38] 张善贵,邵亚诗,郭常青,等.环境友好型深远海养殖舱 涂料的研制与应用[J].中国涂料,2022,37(4):42-48
- [39] 王珣,孙嘉彤.金属罐饮料的食品安全问题及保障措施 [J].食品安全导刊,2019(21):55
- [40] 修雪英.基于不粘锅涂层材料的应用研究[J].新型工业 化,2022,12(8):186-188,193
- [41] 于艳坤.不锈钢与PTFE不粘锅腐蚀磨损性能及重金属 迁移的研究[D].青岛:青岛理工大学,2024
- [42] CADMAN P, GOSSEDGE G M. Studies of Polytetrafluoroethylene Transfer Layers Produced by Rubbing in Ultrahigh Vacuum Using A Relatively Simple Apparatus [J]. Wear,1978.51(1):57-65
- [43] TANAKA K, KAWAKAMI S. Effect of Various Fillers on the Friction and Wear of Polytetrafluoroethylene-Based Composites[J]. Wear,1982,79(2):221-234
- [44] 张明玉.特氟龙涂层表面特性对CaCO3污垢影响的研究[D].吉林:东北电力大学,2009
- [45] 朱加进,冯盘,陈笑梅,等.高效液相色谱-串联质谱法测定不粘锅涂层中溶入食物模拟物中全氟辛酸和全氟辛烷磺酸含量[C]//中国营养学会第十一次全国营养科学大会暨国际DRIs研讨会论文集.杭州:2013
- [46] 佚名.嘉诺推出有机硅专用不沾树脂替代特氟龙树脂 [J].工程塑料应用,2011,39(7):14
- [47] 陆夏初,赵刚,郭昌沛.耐高温高硬度饱和聚酯树脂在不 粘锅涂料中的应用[J].涂层与防护,2009,30(9):6-7,11
- [48] 侯桂芹,高水静.纳米陶瓷涂料介绍及其应用现状[J].科 技视界,2014(12):135-135,177

中国涂料

液体润滑浸渍表面(SLIPS)船舶防污涂层最新研究进展

徐 森¹,徐 畅²,张 凯¹,孙一鸣¹,丛巍巍¹ (1.海洋化工研究院有限公司,海洋涂料国家重点实验室,山东青岛 266071; 2.哈尔滨工程大学,青岛哈尔滨工程大学创新发展中心,山东青岛 266600)

摘 要: 综述了近3年来关于液体润滑浸渍表面(SLIPS)船舶防污涂层的研究进展,特别是润滑液的选择与涂层的结构设计,以及 这些因素如何影响涂层的整体性能,以期为未来的研究提供最新思路及研究方法。

关键词:液体润滑浸渍表面(SLIPS);防污涂层;润滑液;多孔材料

中图分类号: TQ630.7

文献标识码:A

文章编号: 1006-2556(2024)06-0007-09

DOI:10.13531/j.cnki.china.coatings.2024.06.002

Recent Advances in Research on Slippery Liquid-infused Porous Surfaces (SLIPS) Marine Antifouling Coatings

XU Sen¹, XU Chang², ZHANG Kai¹, SUN Yi-ming¹, CONG Wei-wei¹

(1. Marine Chemical Research Institute Co., Ltd., State Key Laboratory of Marine Coatings, Qingdao 266071, Shandong, China; 2. Qingdao Innovation and Development Base, Harbin Engineering University, Qingdao 266600, Shandong, China)

Abstract: This paper reviews the research progress on slippery liquid-infused porous surfaces (SLIPS) marine anti-fouling coatings in the past three years, especially the selection of lubricating fluid and the structural design of coatings, and how these factors influence the overall performance of the coatings, with a view to providing the latest ideas and research methodologies for future research.

Key words: slippery liquid-infused porous surfaces (SLIPS), antifouling coatings, lubricating fluid, porous material

1 概 述

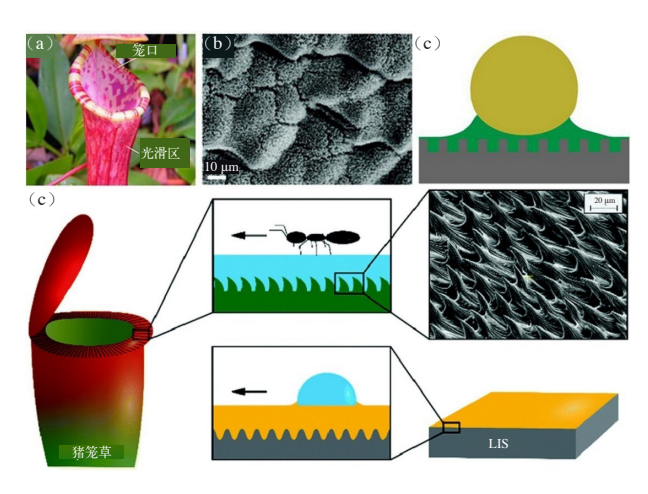
液体润滑浸渍表面(SLIPS,Slippery Liquid-Infused Porous Surfaces)是一种新型材料技术,旨在创造低摩擦、高抗黏附的表面。SLIPS通过在多孔基材上浸渍润滑液,从而形成一层均匀、稳定的液体膜^[1]。这种液体膜具有自愈^[2]、排斥污染物等特性^[3],能够有效防止异物黏附和污染。SLIPS最初的概念源自自然界 中某些动植物的特性,例如食虫植物猪笼草。猪笼草的表面覆盖着一层液体,使昆虫在上面滑落,最终落入捕虫器中(如图1所示)。2011年,Wong^[4]等首次推出了一种以猪笼草为灵感的光滑的注入液体的多孔表面,随后,关于SLIPS的大研究激增^[5-8]。这种自然现象启发了科学家设计出SLIPS,旨在通过润滑液的稳定性和多孔结构的特征来实现类似的效果。

收稿日期: 2024-06-04

作者简介:徐森(1980-),男(汉族),山东青岛人。工程师,本科,主要从事防污涂料方向研究及推广应用。

基金项目:国家重点研发计划(2022YFC3701703); NSFC-山东联合基金(U2006219); 国防基础科研计划项目(JCKY2021513B001)。

中国涂料 第39卷 2024年第06期



(a)猪笼草的光学照片;(b)猪笼草光滑区的SEM图像; (c)SLIPS的液体排斥性示意图;(d)猪笼草捕捉昆虫示意图

图1 猪笼草光学照片和捕捉昆虫示意图及SLIPS的液体 排斥性示意图^[1]

Fig. 1 Optical Photo of Nepenthes Pitcher Plant, Schematic Diagram of Insect Catching, and Schematic Diagram of Liquid Repellency of SLIPS^[1]

SLIPS的防污特性主要体现在液体膜的形成、低摩 擦和抗黏附、自愈特性以及抗污染物和微生物特性[1]。 SLIPS通过在多孔基材中注入润滑液,形成一层均匀 的膜。这个液体膜可以通过毛细管作用保持稳定,不 会轻易蒸发或挥发。这使得SLIPS表面能够持续保持 润滑,同时由于液体膜的存在,SLIPS表面几乎没有摩 擦力,这使得异物很难在表面停留或黏附。当污染物 或生物试图附着在SLIPS表面时,它们会由于润滑液 的作用而滑落[9-10]。此外,如果SLIPS表面受到损伤或 划痕,润滑液会自动填补这些损伤,恢复表面的完整 性[10-11]。这种自愈特性使SLIPS在使用过程中具有更 长的寿命和更高的可靠性。SLIPS的防污特性使其在 油水分离[12-13]、防冰[14]、防污[15-16]、防腐[17-18]和减阻[19] 等领域中具有巨大的应用潜力。综上所述, SLIPS的概 念和防污特性为许多行业带来了革命性的解决方案。 这种技术的独特优势使其在未来的船舶防污涂层领 域中具有广泛的应用前景。故本文对近3年SLIPS在船 舶防污领域研究进展进行回顾,以期为未来SLIPS涂 层的研究提供最新思路与基础支撑。

SLIPS的基本结构包含多孔基材和浸渍的润滑液,通过两者的结合,SLIPS能够形成一层稳定的液体膜,提供卓越的防污和抗黏附性能。其基材通常由具有纳米或微米级孔隙结构的材料构成。多孔基材的主要功能是提供三维结构,使润滑液可以被保留和固定。基材的孔隙结构对于SLIPS的性能至关重要,因为孔隙的尺寸、形状和分布会影响润滑液的稳定性和流动性[20-21](如图2所示)。基材可以由多种材料构成,常

见的有聚合物(如聚乙烯^[21]、聚酰胺^[22]等),这些材料具有良好的可加工性和成本效益,此外金属(如铝^[23-24]、钛^[25-26]、不锈钢^[27-28]等)作为基材也被广泛应用,他们适用于需要高强度和耐用性的应用。

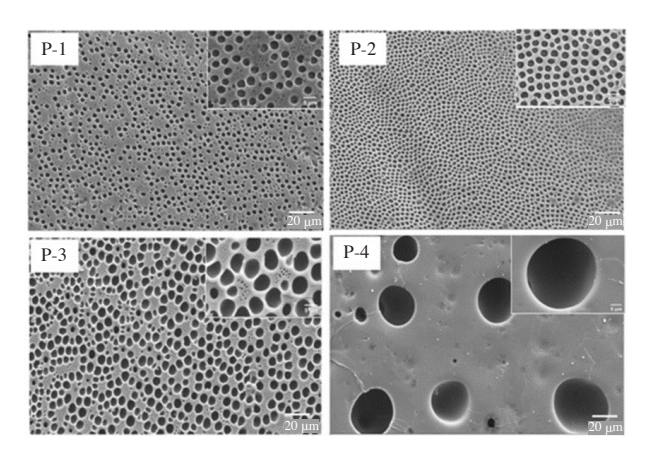


图2 不同质量比的样品P-1、P-2、P-3和P-4的多孔结构的 SEM图像^[21]

Fig. 2 SEM Images of the Porous Structures of Samples P-1, P-2, P-3, and P-4 with Different Mass Ratios^[21]

润滑液是SLIPS的关键组成部分,它在多孔基材中浸渍,形成一层均匀的液体膜。润滑液通常具有以下特征^[29]:具有较低的表面张力(<30 mN/m);具有较低的蒸发压力(<1 Pa),润滑液应保持在基材上,而不是随着时间的推移蒸发;具有化学惰性,不会引起基材的溶解或劣化;润滑液的黏度范围应适中,以保证其能顺利地在基材表面形成液体膜又不至流失过快。硅油、植物油和合成液体都是SLIPS中常用的润滑液。这些液体的低黏度和高润滑性使其能够在多孔基材中形成稳定的液体膜,确保SLIPS的防污特性。

2 SLIPS涂层的润滑液的选择

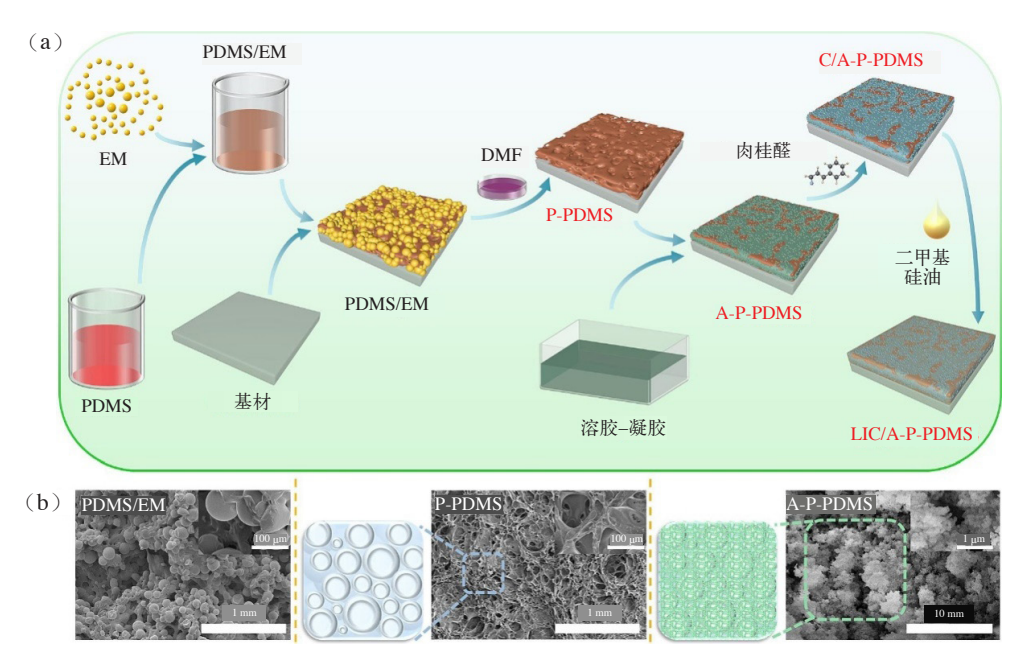
润滑液的选择对SLIPS涂层的性能有着至关重要的影响,其选择关系到液体膜的稳定性和防污特性。正确的选择可以确保SLIPS的稳定性、耐久性和环境友好性。润滑液必须具有化学稳定性,以防止蒸发、挥发或与基材发生不良反应,润滑液的耐久性决定了SLIPS的长期性能。此外,环保性也是选择润滑液时的重要考虑因素。

2.1 硅油

硅油是一类由硅和氧原子交替组成的聚合物,具有极高的化学稳定性和低黏度特性。由于硅油具有较高的热稳定性和抗氧化能力,它适用于在高温和恶劣环境中使用。此外,硅油不会与金属、塑料等常见材料发生化学反应,因此其应用范围较广。

近年来,Tong^[11]等将硅油加入到偶氮改性有 机硅聚氨酯(AzoPU)和乙酰化 α -CD(AcCD)改性 有机硅聚氨酯(AcCDPU)中合成了SLIPS防污涂 层,该涂层具有高效的自洁、抗蛋白、抗菌、抗藻类 性能。此外,该团队[30]将硅油浸渍到负载了曲吡啶 (4-chlorophenyl)-5-(trifluoromethyl)-1H-pyrrole-3formonitrile(TrA)和紫外线响应剂(2-硝基苯甲醛)的 ZIF-8中,将三者与有机硅聚氨酯基质充分混合。在海 洋生物生长旺季中,该涂料在实海实验中表现出360 d的防污性能。据研究人员所述,该涂层是目前已报道 SLIPS涂层在实海测试中防污有效期最长的。Yang [22] 等以环氧树脂和端羟基聚二甲基硅氧烷为基质,以纳 米二氧化钛为填料,采用溶液混合空气喷涂法制备了 超疏水表面(SHS)。然后,将不同黏度的硅油注入SHS 中,形成SLIPS涂层。防污实验结果表明,涂层具有良 好的防污性能,对三角褐指藻和芽孢杆菌的去除率分 别为90.8%和93.6%。如图3所示,Guo^[31]等通过溶胶-

凝胶法制备了多孔聚二甲基硅氧烷(P-PDMS)表面, 并化学接枝肉桂醛,最后将硅油注入到多孔表面中。 为了减缓硅油的流失,他们在P-PDMS表面制备了一 层气凝胶,结构的改进增强了涂层的储液稳定性,从 而提高了其抗生物黏附能力。此外,接枝的肉桂醛还 可以用作化学抗菌剂,这对延长涂层的抗菌寿命起到 了关键作用。经过120 h的抑菌试验和25 d的抗藻试 验,该涂层抑菌率和抗藻率分别达到99.6%和99.9%, 物理和化学防污性能的结合使该涂层实现了海洋工 程设备的长期防污。Li^[32]等报道了一种在中空木棉纤 维(KF)表面原位生长TiO2的SLIPS制备方法,比较了 超疏水涂层和SLIPS的防冰、防污、防腐性能。结果表 明,SLIPS具有极低的结冰强度和耐久的防冰性能,超 疏水涂层和SLIPS显示了出色的硅藻防污性能。此外, SLIPS在3.5%的氯化钠溶液中浸泡时,表现出优异的 耐腐蚀性和耐久性。



(a)LIC/A-P-PDMS制备工艺示意图;(b)PDMS/EM、P-PDMS和A-P-PDMS的SEM图像

图3 LIC/A-P-PDMS制备工艺示意图和PDMS/EM、P-PDMS和A-P-PDMS的SEM图像^[31]
Fig. 3 Schematic Diagram of the Preparation Process for LIC/A-P-PDMS and SEM Images of PDMS/EM, P-PDMS, and A-P-PDMS^[31]

Wang^[33]等将PDMS共价键合到玻璃基板上制备了SLIPS表面(SSS),以解决海洋光学仪器窗口的生物污染问题。SSS同时具有高水下透射率和强大的防污性能。与SLIPS相比,SSS表现出更好的机械稳定性,可以避免因失去润滑而引起的功能故障。这项工作提供了坚固的固体滑面,具有高水下透明度、优异的防污性能和稳定的环境友好性,为海洋光学仪器防污技术的发展提供了新的策略。Zhou^[34]等将辣椒素

与基体共混制备了多孔表面并注入硅油,辣椒素可以随细菌分泌物引起的pH值变化而加速释放,与纯铝板相比,涂层的黏附性提高了99%。光滑表面的抗黏连性能,结合辣椒素的驱避性能,使涂层具有优异的协同理化防污性能。在被蛋白质、细菌和硅藻污染后,以及经过65 d的海洋现场测试后,涂层表面仍然保持透明(如图4所示)。Zhang^[21]等以聚乙二醇(PEG)为模板,通过简单的微相分离技术开发了聚苯乙烯(PS)基

多孔结构。然后用3-(三甲氧基硅基)丙基二甲基十一基氯化铵(QAC-硅烷)共价改性多孔表面,得到接触抗菌性能的涂层。随后将润滑剂(硅油)引入多孔结构后,SLIPS表面对革兰氏阳性菌和阴性菌都表现出非

常高的超强排斥性,并且即使注入的润滑剂耗尽,涂 层仍保持QAC-11基团的抗菌活性,具有协同防污的 效果。

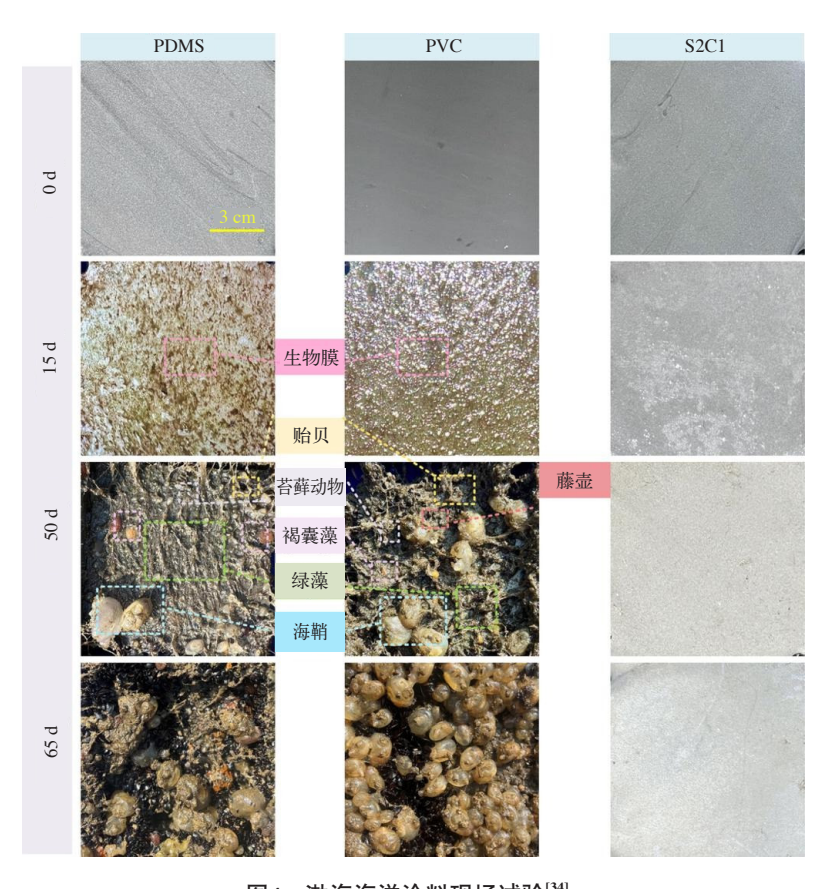


图4 渤海海洋涂料现场试验^[34] Fig. 4 Marine Field Test of Coatings in Bohai Sea^[34]

Yue^[35]等将PDMS分子刷接枝到注入润滑剂(硅 油)的多孔表面上,以在钛合金上形成接枝SLIPS (gSLIPS)。gPDMS分子刷与硅油具有更强的化学亲 和力,可以保留更多的润滑剂,以增强SLIPS的耐用性 和稳定性。通过结合SLIPS和gPDMS的优点,gSLIPS 具有出色的稳定性、耐用性和机械坚固性。gSLIPS 比钛合金和gPDMS的防污性更优。抗藻性测试14 d 后,gSLIPS上小球藻的覆盖率为0.067%±0.022%,与 钛合金和gPDMS相比分别降低了98.8%和95.6%。此 外,gSLIPS还具有优异的抗蛋白性能。Sattari^[36]等通 过使用硬脂酸(SA)改性PDMS多孔涂层。SA改性和 PDMS改性的多孔疏水表面均注人硅油以获得SLIPS (SLIPS-SA和SLIPS-PDMS)。结果表明,即使在人工 酸雨和饱和盐水溶液中浸泡30 d, 二者仍能保持润 滑性。在Chroococcidiopsisthermalis菌液中培养15 d 后,SLIPS样品上的Chroococcidiopsisthermalis数量 明显少于纯铝和疏水表面(SA和PDMS)的菌数量。

Kasapgil^[37]等用端氨基的PDMS作为基质,用3种不同 的酸酐共聚物[聚(乙烯-丙基-马来酸酐)PEMA、聚 (异丁烯-丙基-马来酸酐)PIMA和聚(马来酸酐-丙二 烯-1-十八烯)PMAO作为封闭层门,得到前进接触角 在115°~120°的LBL层。采用硅油作为润滑剂,得到了 一种后退接触角低至5°~6°的无氟LBL-SLIPS,样品 还具有良好的耐热性(在80°C下8 d)和对酸碱的化学 稳定性,并在连续水滴流动4h的情况下不会对SLIPS 涂层的性能造成任何损害。丁序海[38]采用一步电化 学沉积法在紫铜表面制备了超疏水涂层(SHS),将硅 油注人其中得到SLIPS。所制备的SHS静态接触角为 165°, 表现出优良的超疏水性能和防腐性能。以硅藻 作为目标污损生物,在硅藻悬浊液浸泡3 d后,裸铜、 SHS、SLIPS表面生物附着密度分别为4.56×105 cells/ cm^2 、 $4.13 \times 10^4 \text{ cells/cm}^2$ 、 $3.59 \times 10^3 \text{ cells/cm}^2$,SLIPS表 面附着的生物量较纯铜表面显著减少,表明SLIPS具 有良好的防生物污损能力。Zhao^[39]等以具有优良抗

菌性能的偏苯三酸为配体,通过阴极电沉积法生成 MOF膜,实现"固定化杀菌剂"。将氨基硅油 $(NH_2$ -oil) 浸入到超疏水MOF膜的多孔中,并用异氰酸酯固化, SLIPS涂层具有优良的浸水性、机械阻力、抗菌性和抗蛋白吸附性能。

硅油在SLIPS中的应用主要因为它能形成均匀的 液体膜,并且在多孔基材中具有良好的保持能力。硅 油的低黏度意味着它可以自由流动,确保SLIPS表面 上的润滑膜不会被破坏。这种特性使得硅油非常适合 应用于防污领域,例如医疗器械、食品加工等,这些领 域需要高度卫生和低黏附性的表面。

2.2 植物油

在使用植物油作为润滑剂的应用中,SLIPS涂层可以更环境友好,并减少对传统石化产品的依赖。植物油不仅来源可再生,而且生物降解性好,对环境的

负面影响较低。将植物油作为润滑液使用在SLIPS涂层上,可以应用在食品加工、医疗设备以及海洋设备上,提供有效的防污和防腐保护。

Jing l⁴⁰¹等制备了苯基改性蚀刻玄武岩涂层,以构建微纳米毛细结构并产生π电子,使润滑剂组装在环氧树脂层上时,有利于润滑剂在表面的保持(见图5)。选用植物油作为润滑剂引入多羟基,通过π与羟基的相互作用将植物油牢固地吸附在表面,提高了涂层的耐久性。电化学测试表明,该涂层浸泡14 d后的lZl值为1.99×10 $\Omega \cdot \text{cm}$,具有良好的阻隔作用、疏水性能和防腐性能。Zeta电位测试结果表明,静电斥力进一步提高了SLIPS的耐蚀性。此外,抗菌实验结果显示,浸泡3 d后,生物被膜覆盖率仅为0.32%,无活菌存在,说明了涂层杀菌和抑制细菌黏附的双重机制。

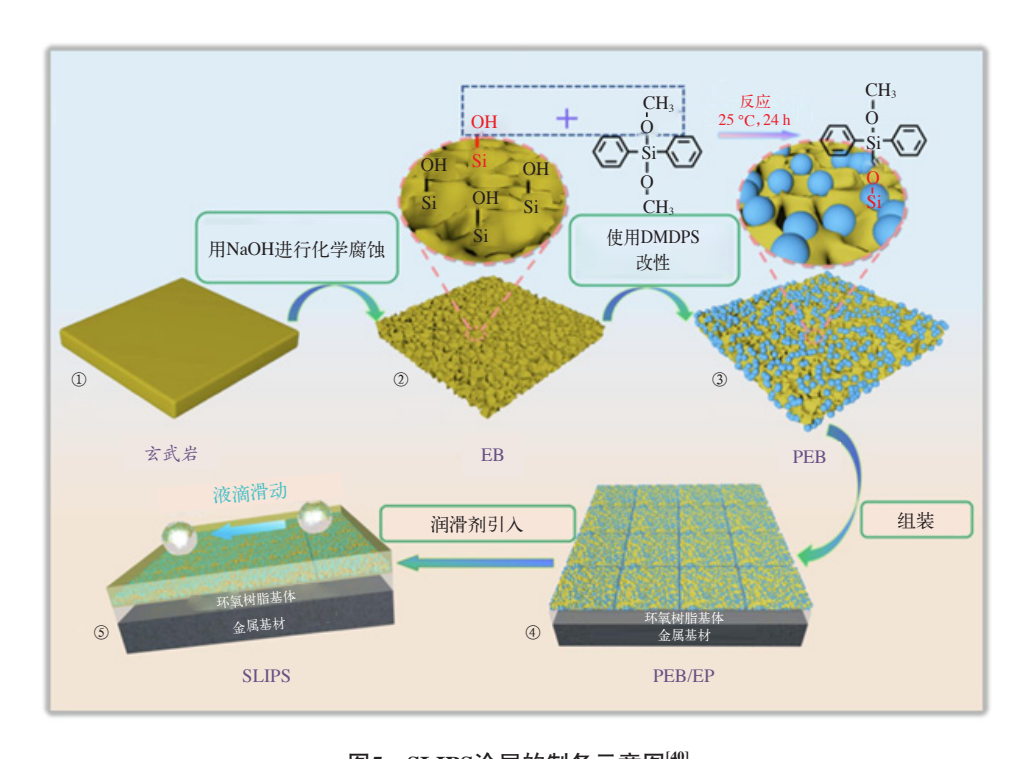


图5 SLIPS涂层的制备示意图^[40] Fig. 5 Schematic Diagram of SLIPS Coatings Preparation^[40]

但植物油的氧化稳定性较差,与合成油相比,植物油更容易在接触空气中或在高温条件下氧化。氧化后的油可能会失去润滑性,从而影响涂层的性能和耐久性。此外,植物油的抗微生物活性较弱,可能更容易遭受微生物的附着行为,如霉菌和细菌的生长,这可能会导致油质恶化和SLIPS的功能降低。

2.3 合成液体

合成液体包括许多类型的化学合成润滑液,通常 由特定的化学反应生成。合成液体的特点是可以根据 需求进行定制,例如调整黏度、热稳定性、抗氧化性等。这种灵活性使得合成液体在SLIPS中具有广泛的应用。

全氟聚醚油(PFPE)是一种在SLIPS涂层中常用的合成油。它具有优异的化学稳定性、极低挥发性和卓越耐热性的高性能合成溶液。PFPE能够在极端的情况下进行使用温度条件下(-80~250°C)。此外,全聚醚油不易燃、蒸气压极低,与塑料、橡胶和金属等多种材料具有良好的兼容性。这些特性使其在电子行

业、航空航天、化工加工、真空系统及医疗设备等领域存在广泛的应用。虽然成本较高,但其长期的稳定性和低维护需求使得全聚醚油在高端应用中具有显着的成本效益。

Li^[41]等通过基于模具的光刻技术制备了具有金字塔形形态的聚二甲基硅氧烷(PDMS)涂层(如图6所示),随后将全氟聚醚油引入到涂层中制备了SLIPS,由于润滑剂层具有优异的化学稳定性和低表面性,SLIPS具有出色的防污和防腐蚀性能。Liu^[42]等将CeO₂和MoS₂与全氟聚醚油相融合,提出了一种具有显著机械稳定性、耐腐蚀性和防污性能的光滑Co-CeO₂/MoS₂涂层。将CeO₂和MoS₂共沉积到Co基体中,构建了具有显著机械稳定性和耐腐蚀性的微纳米结构。Zhang^[43]等通过丝网印刷刻蚀在大尺寸的Ti-6Al-4V(TC4)板表面制造蜂窝凹陷单元,然后进行阳极氧

化,建立了一系列多尺度结构。通过将全氟聚醚油注人到多尺度结构中,进一步产生了一种新型的光滑的液体注入多孔表面(TC4-SLIPS)。结果表明,定制的多尺度结构增强了润滑层的稳定性,即使在人工海水冲刷30 d后,润滑层仍能保持表面疏水性(WCA为104.8°)。Zhai^[44]等通过先后两步喷涂聚丙烯酸酯黏结剂纳米颗粒(NPs)和氟化二氧化硅纳米颗粒(NPs),然后再引入全氟聚醚油,成功地构建了高度稳定和超疏水的双颗粒锁定润滑液骨架,从而成功地制备了双颗粒滑液注入多孔表面涂层(DPD-SLIPS)。在进行胶带剥离、磨损和剪切实验时,涂层显示出极好的机械稳定性和润滑剂锁定能力。此外,在极端条件下对所SLIPS进行了广泛的防黏性能评估,表现出显著的超滑、减阻、抗生物污垢、自清洁甚至抗结冰性能。

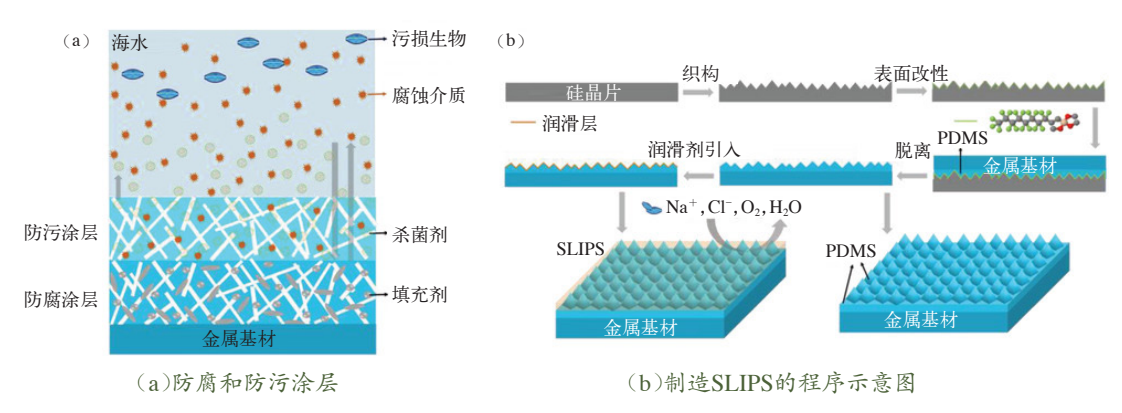


图6 防腐和防污涂层以及制造SLIPS的程序示意图[41]

Fig. 6 Anticorrosion and Anti-Fouling Coatings, and Schematic Diagram of the Manufacturing Process for SLIPS^[41]

此外,还有研究人员将硅油、矿物油等进行改 性,制备具有特定功能的合成润滑油。Yang[45]等制备 了不同形貌的阳极氧化铝(AAO),用硅氧烷改性,并 注入石蜡基润滑剂,以探索特殊设计的AAO的润滑 剂保留能。将石蜡加入到硅油中,通过温度相变结晶 成核,降低润滑剂的流变性能,提高其稳定性(如图 7所示)。AAO中独特的表面结构与石蜡基润滑剂的 注入相结合,可以确保润滑剂在AAO中的持久贮存 和保存。防污测试表明,与平坦的铝合金表面相比, Phaeodactylumtricornutum在基于石蜡的SLIPS表面附 着力降低了96%。同时,他们还制备了具有孔隙和锥 体复合结构的阳极氧化铝(AAO),并用硅氧烷进行了 改性。随后合成了含有季铵盐(QAS-SO)基团的硅油, 并注入到专门设计的AAO中,形成QAS-SLIPS涂层 中。防污测试表明,QAS-SLIPS具有出色的防污性能, 可降低90.6%的Phaeodactylumtricornutum和74.1%的 Chlorella pyrenoidosa的黏附^[46]。

Tong^[47]等通过磁场自组装的方法构建了一种具

有类似海葵锥形触须的仿生纤毛结构的SLIPS。外部交变磁场通过润滑层调节纤毛的旋转防止微生物附着在表面。通过控制交变磁场的频率和方向来控制纤毛在3D尺度上的运动,以增强防污效果。同时,将负载有响应性NO释放剂和N,N'-二叔丁基-N,N-二亚硝基-1,4-苯二胺(BNN6)的ZIF-8分子筛引入涂层中构建FSLIPS。光/磁响应机制赋予FSLIPS在一维时间和三维空间上调整防污效果的能力,有效地实现了防污过程的智能化、多维化和精确化。Li^[48]等报道了一种金属有机框架(基于MOF)通过协同释放和接触杀伤防御策略制备了SLIPS涂层。在铝表面原位生长的致密针状MIL-110阵列有利于季铵盐(QAS)离子液体的稳定贮存。SLIPS在21 d的测试中表现出无污染性能。

合成液体的优势在于其可以设计成满足特定的应用需求。有些合成液体具有更高的抗化学腐蚀性,适用于严苛的工业环境;而有些合成液体具有更高的生物相容性,适用于医疗设备和生物工程。这种定制化的能力使得合成液体在SLIPS领域中拥有独特的地位。

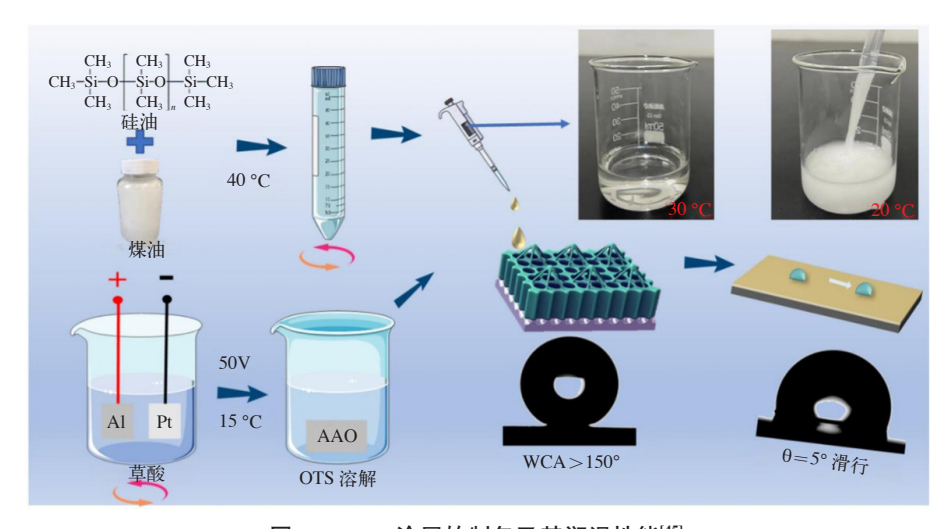


图7 SLIPS涂层的制备及其润滑性能[45]

Fig. 7 Preparation and Lubrication Performance of SLIPS Coatings^[45]

3 SLIPS防污涂层的潜在挑战

SLIPS虽然在防污、抗黏附等领域有显著优势,但在实际应用中仍面临一些挑战。首先,润滑液的挥发是SLIPS面临的主要问题之一。如果润滑液逐渐蒸发或挥发,SLIPS的性能会显著下降,失去其防污和抗黏附特性。这一问题在高温或暴露在空气中的环境中尤为突出。同时,长期稳定性关系到SLIPS的寿命和持久性能。如果润滑液在基材中移动、渗透或耗尽,SLIPS的性能将受到影响。润滑液的稳定性可能因温度、压力和环境化学物质而变化。此外,SLIPS基材的耐久性直接影响涂层的使用寿命。在实际应用中,基材可能因机械磨损、环境腐蚀或其他外部因素而受损,这会导致润滑液泄漏,降低SLIPS的性能。最后,润滑液的环保性也是一个重要问题。有些润滑液可能含有有害化学物质,如果泄漏或挥发,可能对环境造成负面影响。因此,确保润滑液的环保性和可持续性是一个挑战。

未来的研究方向之一是开发新的润滑液材料,以提供更高的稳定性和环境友好性能。可以通过化学合成的方法,设计更具创新性的润滑液,满足不同应用领域的需求。此外,改进基材的设计,特别是孔隙结构,可以提高SLIPS的性能。同时,探索SLIPS的自愈特性,并开发更强大的自愈机制。研究如何在基材损伤后迅速恢复润滑液的完整性,以延长SLIPS的寿命。

4 结 语

SLIPS是一种创新的防污涂层技术,它通过在多 孔基材中浸渍润滑液,形成一层稳定的液体膜,具有 显著的防污和抗黏附特性。其显著特点是表面极低的 摩擦和抗黏附性能。液体膜的存在使得任何试图黏附 在表面的物质都很容易滑落,这种特性类似于自然 界中猪笼草的表面,使其成为防污涂层的理想选择。 SLIPS涂层具有防止生物污损的能力,这在海洋工程和医疗器械领域特别重要。润滑液形成的液体膜能够防止海生物如藤壶、贝壳等的附着,同时减少细菌和微生物的生长。SLIPS涂层在化学和热稳定性方面表现良好。润滑液通常具有抗氧化、抗腐蚀和抗化学品的能力,确保涂层在各种环境下保持性能。这使得SLIPS适用于需要耐高温和抗腐蚀的应用场景。

随着技术的发展,SLIPS将成为提供高效防污解决方案的重要技术。未来的SLIPS可能结合智能材料和传感技术,实现自适应的防污能力,使涂层能够根据环境变化调整性能。通过这些发展趋势,SLIPS在未来防污涂层领域中将继续发挥重要作用,为多种行业提供创新的防污解决方案。

参考文献

- [1] 江昊.仿生超滑表面(SLIPS)的制备及其在海洋微生物 污损和腐蚀防护中的研究[D].海口:海南大学,2022
- [2] 刘文静.防细菌黏附及胆泥淤积的胆道支架覆膜的构建及性能研究[D].上海:东华大学,2022
- [3] EPSTEIN A K, WONG T-S, BELISLE R A, et al. Liquid-Infused Structured Surfaces with Exceptional Antibiofouling Performance[J]. Proceedings of the National Academy of Sciences, 2012, 109(33):13 182-13 187
- [4] WONG T-S, KANG S H, TANG S K Y, et al. Bioinspired Self-repairing Slippery Surfaces with Pressure-stable Omniphobicity[J]. Nature, 2011, 477(7 365):443-447
- [5] TAN X H, ZHANG Y Z, LIU X Y, et al. Employing Micro Pyramidal Holes and Porous Nanostructures for Enhancing the Durability of Lubricant-Infused Surfaces

- in Anti-icing[J]. Surface and Coatings Technology,2021, 405:126568
- [6] SETT S, OH J, CHA H Y, et al. Lubricant-infused Surfaces for Low-surface-tension Fluids: the Extent of Lubricant Miscibility[J]. ACS Applied Materials & Interfaces, 2021, 13(19):23 121-23 133
- [7] LI R S, ZHAO L Z, YAO A F, et al. Design of Lubricantinfused Surfaces Based on Mussel-inspired Nanosilica Coatings: Solving Adhesion by Pre-adhesion[J]. Langmuir, 2021,37(36):107 08-10 719
- [8] SARMA J, GUO Z Q, DAI X M. Bioinspired Photocatalytic Hedgehog Coating for Super Liquid Repellency[J]. Materials Chemistry Frontiers, 2021, 5(11):4 174-4 181
- [9] MCHALE G, NEWTON M I. Liquid Marbles: Topical Context within Soft Matter and Recent Progress[J]. Soft matter,2015,11(13):2 530-2 546
- [10] TRIPATHI D, RAY P, SINGH A V, et al. Durability of Slippery Liquid-Infused Surfaces: Challenges and Advances[J]. Coatings,2023,13(6):1 095
- [11] TONG Z M, SONG L N, CHEN S F, et al. Hagfishinspired Smart SLIPS Marine Antifouling Coating Based on Supramolecular: Lubrication Modes Responsively Switching and Self-healing Properties[J]. Advanced Functional Materials, 2022, 32(27):2201290
- [12] BAZYAR H, VAN DE BEEK N, LAMMERTINK R G H. Liquid-Infused Membranes with Oil-in-water Emulsions[J]. Langmuir,2019,35(29):9 513-9 520
- [13] WANG Y, DI J C, WANG L, et al. Infused-Liquid-Switchable Porous Nanofibrous Membranes for Multiphase Liquid Separation[J]. Nature communications,2017, 8(1):575
- [14] NATH S, AHMADI S F, BOREYKO J B. A Review of Condensation Frosting[J]. Nanoscale and Microscale Thermophysical Engineering,2017,21(2):81-101
- [15] BASU S, HANH B M, CHUA J O I, et al. Green Biolubricant Infused Slippery Surfaces to Combat Marine Biofouling[J]. Journal of Colloid and Interface Science,2020,568:185-197
- [16] WANG Y J, ZHAO W J, WU W T, et al. Fabricating Bionic Ultraslippery Surface on Titanium Alloys with Excellent Fouling-resistant Performance[J]. ACS Applied Bio Materials, 2018, 2(1):155-162
- [17] YAO W H, CHEN Y H, WU L, et al. Preparation of Slippery Liquid-Infused Porous Surface Based on MgAlLalayered Double Hydroxide for Effective Corrosion Protection on AZ31 Mg Alloy[J]. Journal of the Taiwan

- Institute of Chemical Engineers, 2022, 131:104176
- [18] YAO W H, CHEN Y H, WU L, et al. Effective Corrosion and Wear Protection of Slippery Liquid-Infused Porous Surface on AZ31 Mg Alloy[J]. Surface and Coatings Technology,2022,429:127953
- [19] VAN BUREN T, SMITS A J. Substantial Drag Reduction in Turbulent Flow Using Liquid-Infused Surfaces[J]. Journal of Fluid Mechanics, 2017, 827:448-456
- [20] CUI J H, ZHU H X, TU Z Q, et al. Effect of the Texture Geometry on the Slippery Behavior of Liquid-Infused Nanoporous Surfaces[J]. Journal of Materials Science, 2019, 54(3):2729-2739
- [21] ZHANG B G, ZHANG Y X, MA S R, et al. Slippery Liquid-Infused Porous Surface (SLIPS) with Super-repellent and Contact-killing Antimicrobial Performances[J]. Colloids and Surfaces B: Biointerfaces, 2022,220:112878
- [22] YANG Z C, CHANG J F, HE X Y, et al. Construction of Robust Slippery Lubricant-infused Epoxy-nanocomposite Coatings for Marine Antifouling Application[J]. Progress in Organic Coatings, 2023, 177:107458
- [23] YANG Z C, HE X Y, CHANG J F, et al. Fabrication of Biomimetic Slippery Liquid-Infused Porous Surface on 5086 Aluminum Alloy with Excellent Antifouling Performance[J]. Surface and Interface Analysis,2021,53(2):147-155
- [24] LI D D, LIN Z W, ZHU J H, et al. An Engineeringoriented Approach to Construct Rough Micro/nano-Structures for Anticorrosion and Antifouling Application[J]. Colloids and Surfaces A: Physicochemical and Engineering Aspects,2021,621:126590
- [25] YUAN J H, GU Q S, ZHENG G Z, et al. Novel Environment-friendly Grease-infused Porous Surface Exhibiting Long-term Cycle Effective Antifouling Performance[J]. Colloids and Surfaces A: Physicochemical and Engineering Aspects, 2021, 627:127196
- [26] HE X Y, LOU T, YANG Z C, et al. Lubricant-infused Titania Surfaces with High Underwater Transparency for Antifouling Applications: A Combined Experimental and Molecular Dynamics Study[J]. Applied Surface Science, 2021, 543:148848
- [27] ZOUAGHI S, SIX T, BELLAYER S, et al. Antifouling Biomimetic Liquid-Infused Stainless Steel: Application to Dairy Industrial Processing[J]. ACS Applied Materials & Interfaces, 2017, 9(31):26 565-26 573
- [28] LI S Y, ZHAO F, BAI Y P, et al. Slippery Liquid-Infused Microphase Separation Surface Enables Highly Robust

- Anti-fouling, Anti-corrosion, Anti-icing and Anti-scaling Coating on Diverse Substrates[J]. Chemical Engineering Journal, 2022, 431 (Part 1):133945
- [29] 杨宗澄,贺小燕,白秀琴,等.灌注液体型防污表面研究进展[J].表面技术,2021,50(8):122-136
- [30] TONG Z M, GAO F, CHEN S F, et al. Slippery Porous-Liquid-Infused Porous Surface (SPIPS) with On-Demand Responsive Switching between "Defensive" and "Offensive" Antifouling Modes[J]. Advanced Materials, 2024,36(9):2308972
- [31] GUO Y H, YAN M L, ZHAO W J. Cinnamaldehyde Grafted Porous Aerogel-organ Gel Liquid Infused Surface for Achieving Difunctional Long-term Dynamic Antifouling[J]. Journal of Colloid and Interface Science, 2024,653(Part A):833-843
- [32] LI D D, LIU J Y, LIU Q, et al. Comparison of Anti-Icing, Antifouling, and Anticorrosion Performances of the Superhydrophobic and Lubricant-Infused Coatings Based on a Hollow-Structured Kapok Fiber[J]. Langmuir, 2024,40(10):5 420-5 432
- [33] WANG W H, LI J W, WANG P, et al. Fabrication of Polydimethylsiloxane-Attached Solid Slippery Surface with High Underwater Transparency Towards the Antifouling of Optical Window for Marine Instruments[J]. Journal of Colloid and Interface Science, 2022, 623:832-844
- [34] ZHOU Y Y, CAO X M, CHEN Y, et al. Blue-ringed Octopus Inspired Slippery Coating with Physico-Chemical Synergistic Antifouling Properties[J]. Chemical Engineering Journal 2023 477:147177
- [35] YUE D Z, JIANG X Z, YU H Y, et al. Development of A Robust Slippery Liquid-Infused Porous Surface with Grafted Polymer Brushes and Its Anti-Biofouling Applications in Marine Engineering[J]. ACS Applied Polymer Materials 2023,5(8):5 984-5 994
- [36] SATTARI M, OLAD A, MARYAMI F, et al. Facile Fabrication of Durable and Fluorine-Free Liquid Infused Surfaces on Aluminum Substrates with Excellent Anti-Ling, Anticorrosion, and Antibiofouling Properties[J]. Surfaces and Interfaces, 2023, 38:102860
- [37] KASAPGIL E, ERBIL H Y, ANAC SAKIR I. Multi-Liquid Repellent, Fluorine-Free, Heat Stable Slips via Layer-by-Layer Assembly[J]. Colloids and Surfaces A: Physicochemical and Engineering Aspects,2022, 654:130076
- [38] 丁序海,侯吉浩,魏乾柱,等.电沉积纳米墙仿生结构涂 层及其海水防腐防污研究[J].电镀与精饰,2023,45(7):

- [39] ZHAO Y, HU J-M. Double Immobilized Superhydrophobic and Lubricated Slippery Surface with Antibacterial and Antifouling Properties[J]. ACS Applied Bio Materials, 2023, 6(8):3 341-3 350
- [40] JING Y, MENG F D, WANG F H, et al. Design of An Anticorrosion/Bactericidal Dual Functional Organic Coating Based on the Slippery Liquid-Infused Porous Surface[J]. Applied Surface Science, 2023, 639:158214
- [41] LI D D, ZHU J H, YU J, et al. Enhanced Anticorrosion and Antifouling Properties of Lubricant-Infused Pyramidal Polydimethylsiloxane Coating[J]. Macromolecular Materials and Engineering,2023,308(2):2200459
- [42] LIU C S, TAI X M, XU J Y, et al. Bioinspired Slippery Antifouling Co-CeO₂/MoS₂ Coatings with Excellent Mechanical Robustness and Corrosion Resistance[J]. Journal of Solid State Electrochemistry,2024,28:2 515-2 530
- [43] ZHANG Z P, BAI Y, HAN R Z, et al. Improving Antifouling Functions of Titanium Alloys by Robust Slippery Liquid-Infused Porous Surfaces with Tailored Multiscale Structures[J]. Chemical Engineering Journal, 2023,478:147342
- [44] ZHAI H J, LI X Y, LIU Y, et al. Di-Particles-Derived Slippery Lubricant-Infused Porous Surface with Broad Anti-Adhesion Performance[J]. Applied Surface Science, 2023,616:156462
- [45] YANG Z C, HE X Y, LOU T, et al. Infusing Paraffin-Based Lubricant into Micro-/Nanostructures for Constructing Slippery Marine Antifouling Coatings[J]. Progress in Organic Coatings,2023,185:107919
- [46] YANG Z C, HE X Y, LOU T, et al. Fabrication of Dual Functional Marine Antifouling Coatings by Infusing Epoxy Silicone Oil Modification of Quaternary Ammonium[J]. European Polymer Journal, 2024, 210:112947
- [47] TONG Z C, ZHANG S, CHEN S F, et al. Sea Anemone-Inspired Slippery Liquid-Infused Porous Surface (SLIPS) with Bionic Cilia for Responsive 4D Antifouling[J]. Small,2024:2401658
- [48] LI H R, YAN M L, ZHAO W J. Designing A MOF-Based Slippery Lubricant-Infused Porous Surface with Dual Functional Anti-Fouling Strategy[J]. Journal of Colloid and Interface Science, 2022, 60 (Part 2):1 424-1 435

中国涂料

UV光固化亚光白面漆黏度稳定性研究

段晓俊,罗建华,梁文康,朱延安 (北新嘉宝莉涂料集团股份有限公司,广东江门 529085)

要:分析了钛白粉、消光粉、分散剂种类和添加比例以及生产工艺对UV光固化亚光白面漆的黏度稳定性影响规律。研究指出, UV光固化亚光白面漆热贮存增稠是消光粉和钛白粉的共同作用造成,随着钛白粉添加比例的提高,热贮存增稠比例也明 显提高;随着消光粉添加比例的提高,热贮存增稠比例也有所提高;选用合适的分散剂,提高其添加比例可明显降低热贮 存增稠比例。另外,生产时最先添加分散剂更利于降低UV光固化亚光白面漆的黏度,生产过程温度不宜超过60℃。

关键词: 光固化; 涂料; 亚光白面漆; 黏度; 稳定性

中图分类号: TQ630.7+1

文献标识码:A

文章编号: 1006-2556(2024)06-0016-06

DOI:10.13531/j.cnki.china.coatings.2024.06.003

Study on the Viscosity Stability of UV-curing Matte White **Topcoat**

DUAN Xiao-jun, LUO Jian-hua, LIANG Wen-kang, ZHU Yan-an (BNBM Carpoly Coatings Group Co., Ltd., Jiangmen 529085, Guangdong, China)

Abstract: This paper analyzes the viscosity stability of UV-curing matte white topcoat influenced by the types and addition ratios of TiO₂, matting powder and dispersant and the production process. The study points out that the viscosity rise of UV-curing matte white topcoat after high-temperature storage is caused by the joint action of matting powder and TiO₂. The proportion of thickening in high-temperature storage is significantly increased with the increase of TiO2 proportion; the proportion of thickening is also increased with the increase of matting powder proportion. Appropriate and high-proportion dispersants can significantly reduce the proportion of thickening in high-temperature storage. In addition, adding dispersant first is the optimal process for reducing the viscosity of UV-curing matte white topcoat and the production process temperature should not exceed

Key words: photocuring, coatings, matte white topcoat, viscosity, stability

前 0

在全球涂料工业向绿色环保、节能减排发展的 背景下,属于环境友好型涂料的UV光固化涂料迅速 得到市场青睐,加之其具有生产效率高、涂装成本低 等优势,近年来发展迅猛。UV光固化涂料在使用过程 中,板材经过前面的固化工序后表面温度可达到50°C 以上,其会起到加热后续工序面漆的作用。同时,由于 冬天的环境温度较低,UV光固化涂料在使用的过程 中大多会用50~70°C的水浴进行加热,因此UV光固 化涂料在高温条件下的稳定性成为影响其施工效果 的一个重要因素。另外,UV光固化涂料的生产工艺是 影响涂料产品稳定性的一个重要因素。本文针对以上 两点问题展开研究。

实验部分

1.1 实验原料

三丙二醇二丙烯酸酯TPGDA, 工业级, 江苏 三木科技材料有限公司; 改性环氧丙烯酸酯树脂, HU1001, 工业级, 嘉宝莉化工集团股份有限公司; 钛 白粉,NT-606,工业级,宁波新福钛白粉有限公司;钛

收稿日期: 2024-05-20

作者简介: 段晓俊(1990-), 男(汉族), 山西晋中人。工程师, 硕士, 主要从事水性涂料及UV涂料的研发。

白粉,R996、BLR-895,工业级,龙蟒佰利联钛白粉有限公司;钛白粉,R2196,工业级,中核钛白有限公司;钛白粉,Ti Pure 902+,工业级,科慕钛白有限公司;分散剂,TEGO-689,工业级,德国赢创;分散剂,UNIQ-670,工业级,优卡化学;分散剂,BYK-2009,工业级,德国毕克;分散剂,AFCONA-5221,工业级,AFCONA公司;分散剂,4010AN,工业级,巴斯夫;光引发剂,1173、819,工业级,天津久日新材料股份有限公司;消光粉,SYLOID RAD 2105、SYLOID ED 30,工业级,美国格雷斯;消光粉,OK 500、TS100,工业级,德国赢创;消光粉,UV 70C,工业级,英国PQ Corporation;消泡剂,TEGO-920,工业级,德国赢创。

1.2 参考配方

UV光固化亚光白面漆参考配方见表1。

表1 UV光固化亚光白面漆参考配方
Table 1 Reference Formula of UV-curing Matte White
Topcoat

1.3 分析与测试

1.3.1 黏度测试

将待测样品温度调整至25°C,用Brookfield旋转 黏度计测试,低剪切黏度为3[#]转子3档测试,高剪切黏 度为3[#]转子30档测试。

1.3.2 热贮存增稠比例

热贮存增稠比例(高剪切):50 ℃热贮存7 d黏度 (高剪切)/25 °C贮存7 d黏度(高剪切);

热贮存增稠比例(低剪切):50°C热贮存7 d黏度(低剪切)/25°C贮存7 d黏度(低剪切)。

2 结果与讨论

UV光固化亚光白面漆中的钛白粉、消光粉和分散剂三者存在协同作用,其对UV光固化亚光白面漆的黏度稳定性有较明显影响。

2.1 钛白粉添加比例对UV光固化亚光白面漆黏度 稳定性的影响

消光粉选用RAD 2105,添加比例设定为12%(质量分数,后同),探讨钛白粉Ti-Pure 902+添加比例对UV光固化亚光白面漆黏度稳定性的影响,实验结果见表2。当钛白粉添加比例为0时,该配方即为UV光固化亚光清面漆,从表2可看出,其热贮存增稠比例较小。随钛白粉添加比例的提高,热贮存增稠比例明显提高,且低剪切黏度的增稠比例高于高剪切黏度。钛白粉添加比例为30%时,50°C热贮存7 d后观察,搅拌前UV光固化亚光白面漆明显假稠,无流动性,搅拌后可恢复一定流动性。造成以上现象的主要原因是当钛白粉含量较高时,其表面羟基形成了大量氢键,从而造成低剪切黏度明显提高。因此,钛白粉添加比例超过20%后热贮存增稠现象较明显,设计高遮盖的UV光固化亚光白面漆时需特别关注黏度稳定性。

表2 钛白粉添加比例对UV光固化亚光白面漆黏度稳定性的影响

Table 2 Effect of TiO2 Addition Ratio on the Viscosity Stability of UV-curing Matte White Topcoat

			-	-	_		
w(钛白粉)/%			0	10	15	20	30
	HIII+(25 °C)	低剪切	2 122	2 150	2 320	2 576	2 879
	即时(25°C)	高剪切	1 061	1 151	1 201	1 275	1 364
黏度/(mPa·s)	₩ 左7 4/50 °C)	低剪切	2 753	4 330	6 878	9 980	15 513
和度/(IIIFa·s)	热贮存7 d(50 °C)	高剪切	1 160	1 731	3 011	3 966	_
	時ナナフ 1/25 9C)	低剪切	2 200	2 170	2 537	2 760	3 035
	贮存7 d(25 °C)		1 030	1 275	1 305	1 270	1 385
4h 砂 大 I M A I I J A I I O		低剪切	1.25	2.0	2.71	3.62	5.11
3公则_任增恒比例/%	热贮存增稠比例/%		1.13	1.36	2.31	3.12	_

注:"即时黏度"为配制完成后2h内测试的黏度数据,"一"表示超出量程,后同。

2.2 消光粉添加比例对UV光固化亚光白面漆黏度 稳定性的影响

钛白粉选用Ti-Pure 902+,添加比例设定为30%,

进一步探讨消光粉RAD 2105添加比例对UV光固化 亚光白面漆黏度稳定性的影响,实验结果见表3。当消 光粉添加比例为0时,该配方即为UV光固化亮光白面 漆,且与UV光固化白底漆配方成分也较接近,从表3可看出,其50°C热贮存7d基本无增稠现象。随消光粉添加比例的提高,热贮存增稠比例明显提高。造成以上现象的主要原因是当消光粉含量较高时,其吸油量

较大,氢键作用增强。由于配方中消光粉的主要功能 为调节涂膜光泽,根据光泽需求添加,在设计UV光固 化全亚光白面漆时需特别关注黏度稳定性。

表3 消光粉添加比例对UV光固化亚光白面漆黏度稳定性的影响

Table 3 Effect of Matting Powder Addition Ratio on the Viscosity Stability of UV-curing Matte White Topcoat

w(消光粉)/%			0	3	6	9	12
	即时(25°C)	低剪切	2 013	2 115	2 300	2 571	2 879
	երեվ (23 C)	高剪切	855	975	1 030	1 150	1 364
乔上庄// mDa → a \	+ + + 7 1/50 0G	低剪切	3 750	5 430	9 403	12 145	15 513
黏度/(mPa·s)	热贮存7 d(50 ℃)	高剪切	1 055	2 133	3 762	_	_
	時去去7 1/25 0G)	低剪切	2 235	2 310	2 555	2 697	3 035
	贮存7 d(25 °C)		900	1 050	1 172	1 192	1 385
热贮存增稠比例/%		低剪切	1.68	2.35	3.68	4.5	5.11
3公则_1于4百7可161791/70		高剪切	1.17	2.03	3.21	_	_

从2.1和2.2的研究可得出,UV光固化涂料中仅添加钛白粉对其热贮存稳定性无明显影响,仅添加消光粉对其热贮存稳定性略有影响;当同时添加消光粉和钛白粉配制亚光白面漆时,二者的协同作用对UV光固化亚光白面漆的热贮存稳定性有明显影响。

2.3 钛白粉种类对UV光固化亚光白面漆黏度稳定 性的影响

钛白粉的主要生产工艺有硫酸法和氯化法两种, 且表面处理工艺各厂家也有所不同,钛白粉种类对 UV光固化亚光白面漆黏度稳定性影响的实验结果见表4。从表4可看出,用氯化法钛白粉BLR-895、Ti-Pure 902+和硫酸法钛白粉NT-606、R996、R2196按添加比例30%配制的UV光固化亚光白面漆热贮存均存在增稠的现象,热贮存增稠比例无明显差异,主要原因是不同钛白粉在热贮存过程中均会形成较强的氢键作用。热贮存结束后搅拌前的流动性Ti-Pure 902+比其他钛白粉好。

表4 钛白粉种类对UV光固化亚光白面漆黏度稳定性的影响

Table 4 Effect of TiO₂ Type on the Viscosity Stability of UV-curing Matte White Topcoat

					0		
钛白粉种类			NT-606	R996	R2196	BLR-895	Ti-Pure 902+
	即时(25°C)	低剪切	3 069	3 120	2 913	3 010	2 879
	ким (23 C)	高剪切	1 435	1 505	1 308	1 466	1 364
黏度/(mPa·s)	热贮存7 d(50 ℃)	低剪切	15 777	17 033	15 615	16 523	15 513
和度/(IIIFa·S)		高剪切	_	_	_	_	_
	贮存7 d(25 °C)	低剪切	3 111	3 321	3 137	3 055	3 035
	则(47 d(23 °C)	高剪切	1 501	1 571	1 409	1 531	1 385
地岭去杨翔小树 ///		低剪切	5.07	5.13	4.98	5.41	5.11
热贮存增稠比例/%		高剪切	_	_	_	_	_

2.4 消光粉种类对UV光固化亚光白面漆黏度稳定 性的影响

消光粉的主要成分为气相二氧化硅,其吸油值是 影响亚光涂料黏度的主要因素之一,多为100~300 g/100 g,表5为消光粉种类对UV光固化亚光白面漆黏 度稳定性影响的实验结果。由于不同消光粉的消光效 率不同,表5中的数据为涂膜光泽为30%时各消光粉的添加比例。从表5可看出,低吸油值的消光粉2105、中等吸油值的消光粉ED 30、OK500、UV70C和高吸油值的消光粉TS100配制的UV光固化亚光白面漆热贮存均存在增稠的现象,热贮存增稠比例无法测定。

表5 消光粉种类对UV光固化亚光白面漆黏度稳定性的影响

Table 5 Effect of Matting Powder Type on the Viscosity Stability of UV-curing Matte White Topcoat

消光粉种类			2105	OK500	ED 30	UV70C	TS100
w(消光粉)/%			12	8.5	8.5	8.5	7
	即时(25°C)	低剪切	2 879	3 088	2 902	3 155	3 270
	գրթյ(25 C)	高剪切	1 364	1 506	1 397	1 585	1 599
#1. php // PD	热贮存7 d(50 °C)	低剪切	15 513	16 627	15 836	16 975	17 253
黏度/(mPa·s)		高剪切	_	_	_	_	_
	₩ \ 	低剪切	3 035	3 501	3 110	3 377	3 485
	贮存7 d(25 °C)		1 385	1 625	1 601	1 788	1 805
4 10~左 166 11 11 1 1 1 1 1 1 1 1 1 1 1 1 1 1	,	低剪切	5.11	4.75	5.09	5.03	4.95
热贮存增稠比例/%		高剪切	_	_	_	_	_

2.5 分散剂种类对UV光固化亚光白面漆黏度稳定 性的影响

分散剂在UV光固化亚光白面漆中的作用是分散 钛白粉和消光粉,从而降低涂料黏度。钛白粉选用Ti-Pure 902+,添加比例设定为20%,消光粉选用RAD 2105,添加比例设定为13%,进一步探究分散剂种类 对UV光固化亚光白面漆黏度稳定性的影响,实验结 果见表6。从表6可看出,分散剂BYK2009对UV光固化 亚光白面漆的降黏效果较好,高剪切和低剪切的即时黏度均较低,但分散剂4010AN对光固化亚光白面漆的降黏效果较差。但对UV光固化亚光白面漆降黏效果明显的分散剂,经50°C热贮存7d后的增稠比例反而高于降黏效果不佳的分散剂。主要的原因是降黏效果明显的分散剂更容易打破氢键,但打破的氢键在50°C热贮存条件下又会再次形成。

表6 分散剂种类对UV光固化亚光白面漆黏度稳定性的影响

Table 6 Effect of Dispersant Type on the Viscosity Stability of UV-curing Matte White Topcoat

			•				
分散剂种类			BYK-2009	TEGO-689	UNIQ-670	AFCONA-5221	4010AN
	HIII-1/25 9C)	低剪切	2 576	4 322	5 533	3 306	11 200
	即时(25°C)	高剪切	1 275	1 837	1 973	1 353	_
私中//mDana)	掛励去7 4/50 9C)	低剪切	9 980	11 519	15 060	12 283	23 580
黏度/(mPa·s)	热贮存7 d(50 °C)	高剪切	3 966	_	_	_	_
	贮存7 d(25 °C)	低剪切	2 760	4 553	6 055	3 521	12 500
		高剪切	1 270	1 975	2 305	1 450	_
热贮存增稠比例/%		低剪切	3.62	2.53	2.49	3.49	1.89
		高剪切	3.12	_	_	_	_

2.6 分散剂添加比例对UV光固化亚光白面漆生产 及贮存稳定性的影响

钛白粉选用Ti-Pure 902+,添加比例设定为20%, 消光粉选用RAD 2105,添加比例设定为13%,分散剂 选用BYK-2009,进一步探究分散剂添加比例对UV光 固化亚光白面漆黏度稳定性的影响,实验结果见表7。 从表7可看出,随分散剂添加比例的提高,热贮存增稠 比例也明显降低。主要原因是足够多的分散剂可抑制 UV光固化亚光白面漆50°C热贮存时氢键的形成。

2.7 加料工艺对UV光固化亚光白面漆黏度稳定性 的影响

钛白粉选用Ti-Pure 902+,添加比例设定为20%,

消光粉选用RAD 2105,添加比例设定为13%,分散剂选用BYK-2009,添加比例设定为2%,进一步探究加料工艺对UV光固化亚光白面漆黏度稳定性的影响,实验结果见表8。从表8可看出,工艺1配制的UV光固化亚光白面漆的黏度最低。对比工艺1和工艺2可得出,当最先添加分散剂时,先添加钛白粉再添加消光粉的工艺优于先添加消光粉再添加钛白粉的工艺。对比工艺1和工艺3、工艺4、工艺5、工艺6可得出,最先添加分散剂更利于降低UV光固化亚光白面漆的黏度。

2.8 生产过程温度及分散时间对UV光固化亚光白 面漆黏度稳定性的影响

由于UV光固化亚光白面漆生产时需要高速分

中国涂料 第39卷 2024年第06期

表7 分散剂添加比例对UV光固化亚光白面漆黏度稳定性的影响

Table 7 Effect of Dispersant Addition Ratio on the Viscosity Stability of UV-curing Matte White Topcoat

w(分散剂)/%			0.5	1.0	1.5	2.0	2.5
	H⊓⊓-1/25 9C)	低剪切	6 788	3 989	2 833	2 576	2 355
	即时(25°C)	高剪切	2 525	1 765	1 279	1 275	1 113
黏度/(mPa·s)	+L F->	低剪切	_	27 200	12 585	9 980	6 978
和度/(IIIFa·s)	热贮存7 d(50 °C)	高剪切	_	_	_	3 966	3 011
	H-+-7 1/05 0G)	低剪切	8 352	4 585	3 063	2 760	2 385
	贮存7 d(25 °C)	高剪切	3 755	2 088	1 307	1 270	1 202
4L B2-7-124 TB1 L 751 76		低剪切	9.05	5.93	4.11	3.62	2.93
然此任增烔比例	热贮存增稠比例/%		_	_	_	3.12	2.5

表8 生产工艺对UV光固化亚光白面漆黏度稳定性的影响

Table 8 Effect of Production Process on the Viscosity Stability of UV-curing Matte White Topcoat

			•	•	0	•	
生产工艺编号		1	2	3	4	5	6
	最先添加	分散剂	分散剂	钛白粉	消光粉	钛白粉	消光粉
加料工艺	中间添加	钛白粉	消光粉	消光粉	钛白粉	分散剂	分散剂
	最后添加	消光粉	钛白粉	分散剂	分散剂	消光粉	钛白粉
田田(本) 中(25 0C)/(mDo . a)	低剪切	2 576	6 325	4 673	6 955	3 920	5 050
即时黏度(25°C)/(mPa·s)	高剪切	1 275	2 507	1 925	2 862	1 627	2 521

散,该过程中UV光固化亚光白面漆的温度可达到80°C,因此也会影响其生产的稳定性。钛白粉选用Ti-Pure 902+,添加比例设定为20%,分散剂选用BYK-2009,添加比例设定为2%,设定分散时间为20 min,进

一步探究生产过程温度对UV光固化亚光白面漆黏度稳定性的影响,实验结果见表9。设定分散温度50°C和70°C,进一步探究分散时间对UV光固化亚光白面漆黏度稳定性的影响,实验结果见表10。

表9 生产过程温度对UV光固化亚光白面漆黏度稳定性的影响

Table 9 Effect of Production Process Temperature on the Viscosity Stability of UV-curing Matte White Topcoat

生产过程温度/°C			40	50	60	70	80
即时(25°C)		低剪切	2 557	2 633	2 832	5 050	7 369
	Rhh1(22 C)	高剪切	1 188	1 207	1 299	1 777	2 385
黏度/(mPa·s)	카	低剪切	_	_	_	3 966	6 873
和度/(IIIFa·S)	补加1%分散剂	高剪切	_	_	_	1 503	2 291
	补加3%活性单体	低剪切	_	_	_	2 655	5 201
	がいりが白生単体	高剪切	_	_	_	1 588	1 976

表10 分散时间对UV光固化亚光白面漆黏度稳定性的影响

Table 10 Effect of Dispersion Time on the Viscosity Stability of UV-curing Matte White Topcoat

_					.,			. I	
<u> </u>	上产过程温度/℃			50	50	50	70	70	70
-5	分散时间/min			20	30	40	20	30	40
		HHH L (AS AG)		2 633	2 589	2 805	5 050	7 153	10 850
		即时(25°C)	高剪切	1 207	1 237	1 333	1 777	2 105	3 358
7	計序//mDa.s)	た ±n10/. /\共ん文』	低剪切	_	_	_	3 966	5 015	8 503
3		补加1%分散剂	高剪切	_	_	_	1 503	2 088	2 855
			低剪切	_	_	_	2 655	5 385	9 796
		补加3%活性单体		_	_	_	1 588	1 768	2 977

(下转第25页)

水性高硬度抗压抗污渍清面漆的制备

赵祥元,李彩霞,陈锦江,段晓俊,朱延安 (北新嘉宝莉涂料集团股份有限公司,广东江门 529085)

摘 要:以水性树脂、消光粉和其他助剂为原料,通过配方优化改进,制备了一种抗压抗污渍高硬度的水性清面漆。探讨了不同水性丙烯酸树脂与水性聚氨酯树脂的复配筛选及其配比、不同的成膜助剂和消光粉的种类对最终研制的水性全亚光(光泽为2%~5%)高硬度抗压抗污渍清面漆的硬度、抗压性能、抗污渍性和透明度的影响。按照GB/T 6739—2006《色漆和清漆铅笔法测定漆膜硬度》标准进行测试,对涂膜的硬度进行评估。结果表明:当配方采用水性树脂7515与2593[复配比例m(7515):m(2593)=3:1]、成膜助剂DE、消光粉P260DS时,搭配质量分数1%的增强剂(氮吡啶),最终开发的水性高硬度抗压抗污渍清面漆的涂膜抗压性能、硬度表现和抗污渍均达到最佳,其中铅笔硬度等级达到F。

关键词:水性木器涂料;高硬度;抗压;抗污渍

中图分类号: TQ630.7

文献标识码:A

文章编号: 1006-2556(2024)06-0021-05

DOI:10.13531/j.cnki.china.coatings.2024.06.004

Preparation of Waterborne High-hardness Anti-pressure and Anti-stain Clear Topcoat

ZHAO Xiang-yuan, LI Cai-xia, CHEN Jin-jiang, DUAN Xiao-jun, ZHU Yan-an (BNBM Carpoly Coatings Group Co., Ltd., Jiangmen 529085, Guangdong, China)

Abstract: Using waterborne resin, matting powder and other additives as raw materials, through formula optimization and improvement, a waterborne clear topcoat with high hardness, pressure resistance and stain resistance was prepared. The compound screening and proportion of different waterborne acrylic resins and waterborne polyurethane resins, as well as the effects of different film-forming additives and matting powder types on the hardness, pressure resistance, stain resistance and transparency of the finally developed waterborne fully matte (gloss of $2\% \sim 5\%$) high-hardness anti-pressure and anti-stain clear topcoat were discussed. The test was carried out in accordance with the standard GB/T 6739—2006 *Determination of Paint Film Hardness by Pencil Method for Paints and Varnishes* to evaluate the hardness of the coatings film. The results show that when the formula uses waterborne resins 7515 and 2593 [compound ratio m(7515): m(2593)=3:1], film-forming additive DE, matting powder P260DS, and 1% enhancer (azopyridine), the finally developed waterborne high-hardness anti-pressure and anti-stain clear topcoat has the best pressure resistance, hardness performance and stain resistance, and the pencil hardness grade reaches F.

Key words: waterborne wood coatings, high hardness, pressure resistance, stain resistance

0 前 言

近年来,随着国家对涂料水性化的大力推广以及客户要求的提高,水性木器涂料在高端定制家具方面已开始广泛应用。相对传统溶剂型聚氨酯(PU)木器涂料而言,水性木器涂料在抗污渍性、抗刮擦性,尤其是在硬度、抗压等方面存在较大的差距,严重阻碍水性木器涂料的进一步推广,特别是在餐桌方面的应

用。因此,开发一种硬度高、抗压好、抗污渍性能好的 水性木器涂料成为了行业趋势。

水性涂料的成膜树脂对涂膜性能起关键作用,目前行业内常用的成膜树脂有水性丙烯酸乳胶、水性聚氨酯乳液、水性丙烯酸—聚氨酯乳液等^[1]。聚氨酯水分散体树脂的分子结构和大小,可根据性能要求在较大范围内调节,通过调节聚氨酯中软、硬段的比例和结

收稿日期:2024-05-20

作者简介:赵祥元(1969-),男,湖北松滋人。二级技术师,主要从事于水性木器涂料的应用工艺方面的工作。

构,可以制得不同硬度和特点的树脂,但因机械强度不及丙烯酸树脂且成本较高等缺陷,其应用受到一定的限制。水性丙烯酸树脂,由于其相对于比较便宜,有更好的性价比,较容易为市场接受。但丙烯酸类树脂有"热软冷脆"的特点,抗压表现通常不会太好。两者各有优点,若将两种水性树脂复配使用,就可以取长补短,提升整个涂膜的理化性能^[2]。

水性木器涂料涂装的家具产品在运输过程中容易出现压痕问题,尤其是对于一些高档的出口家具而言更为明显。这些产品可能需要经过长时间的海上运输,在高温高湿的环境下,尤其是在炎热的夏季,集装箱内的温度可能会达到50°C甚至更高。尽管在包装过程中每个部件都会被先用珍珠棉等软材料包裹,然后再放入包装箱,但如果涂层本身较软或在高温下变软,都会导致家具部件上出现珍珠棉痕或包装纸上的波浪纹,从而引发质量问题,给家具厂带来损失,目前水性木器涂料仍存在抗压性能不足的问题^[3]。

此外,目前出口欧美的家具产品对抗污渍性能会提出新的要求,如耐芥末、耐红酒、耐番茄酱、耐咖啡等,这些挑战需要我们关注家具实际使用的耐介质情况,木器涂料行业一般通过添加外交联剂(氮吡啶、碳化二亚胺等)、使用功能性改性树脂等方法来提高涂层致密性,进而提升疏水性、耐酒精性、抗污渍性能^[4]。

因此本文通过将不同水性丙烯酸树脂与水性聚 氨酯树脂进行复配,并探讨成膜助剂的选择、消光粉 的种类,引入增强剂(氮吡啶),研制出一种硬度高、抗 压好、抗污渍性能好的水性木器涂料。

1 实验部分

1.1 实验原料

乳液: G8100, 嘉宝莉; XK-52, 帝斯曼; 7515, 台湾; 2593, 科思创。

消光粉: SYLOID 7000, 格雷斯: P260DS, 东莞尚 创: TS100, 赢创德固赛: MP108, 广州聚东。

成膜助剂,DPnB、DE、DBG; 分散剂,BYK191, 毕克化学;TEGO 755W,赢创德固赛;消泡剂,TEGO 810,迪高;消泡剂,BYK 028,毕克化学;其他助剂。

1.2 实验器材

高速分散机,GFJ-0.4型,上海现代环境工程技术有限公司;湿膜涂布器,150 µm,上海现代环境工程技术有限公司;光泽度计,WGG60-E4,科仕佳光电仪器研究所;色差仪,SP 60型,X·rite;空气喷枪,W-77,日本岩田株式会社;涂-4[#]黏度计,QND-4型,北京宏展仪器有限公司;划格器,HGQ,上海普申化工机械有限公司;铅笔硬度计,BEVS 1301。

1.3 制备配方

分别以G8100(嘉宝莉)、XK-52(帝斯曼)、7515 (台湾)、2593(科思创)作为成膜物质,SYLOID 7000 (格雷斯)、P260DS(东莞尚创)、TS100(赢创德固赛)、MP108(广州聚东)作为消光材料,DPnB、DE、DBG作为成膜助剂,按表1所示的参考配方制备水性高硬度抗压抗污渍清面漆。

表1 水性高硬度抗压抗污渍清面漆的参考配方 Table 1 Reference Formula for Waterborne Highhardness Anti-pressure and Anti-stain Clear Topcoat

原料	w/%
 乳液	70~80
消泡剂	0~1
消光剂	0~5
成膜助剂	4~7
增稠剂	0~1
水	0~6
合计	100

1.4 分析与测试

1.4.1 水性高硬度抗压抗污渍清面漆的硬度表现评价

在清洁完全的玻璃板上均匀喷涂水性高硬度抗压抗污渍清面漆(湿膜厚100~120 μm,通过膜厚测试仪控制),搭配1.5%(质量分数,后同)增强剂(氮吡啶)。室温晾干30 min(表干),转移到温度40~45°C、湿度45%~60%的烘房干燥8 h以上,再移出到室温下待干24 h以上,完成面漆涂装。按照GB/T 6739—2006《色漆和清漆 铅笔法测定漆膜硬度》标准进行测试,对涂膜的硬度进行评估。

1.4.2 水性高硬度抗压抗污渍清面漆的抗压评价

将已经辊涂好UV底漆的樱桃木底板打磨后彻底 吹灰,先均匀喷涂水性白底漆(湿膜厚 100~120 μm,通过膜厚测试仪控制),室温晾干30 min(表干),转移到温度40~45°C、湿度45%~60%的烘房干燥8 h以上,再移出到室温下待干24 h以上,完成白底漆涂装。然后均匀喷涂水性高硬度抗压抗污渍清面漆(湿膜厚100~120 μm,通过膜厚测试仪控制),搭配1%增强剂(氮吡啶)。室温晾干30 min(表干),转移到温度40~45°C、湿度45%~60%的烘房干燥8 h以上,再移出到室温下待干48 h以上,完成面漆涂装。进行质量3 kg耐压测试,受力面积2.5 cm×2.5 cm,观察痕印的深浅程度,见图1。

1.4.3 水性高硬度抗压抗污渍清面漆的抗污渍性能 测试

将1.4.2所制备好的水性高硬度抗压抗污渍清



图1 水性高硬度抗压抗污渍清面漆的抗压测试图 Fig. 1 Pressure Test Chart of Waterborne High-hardness Anti-pressure and Anti-stain Clear Topcoat

面漆样板进行各项耐介质性能测试,根据Williams-Sonoma,Inc自制标准进行检测,测试完成后观察变色程度,同时在测试完成后观察涂膜的恢复情况。

1.4.4 水性高硬度抗压抗污渍清面漆的其他理化性 能测试

水性高硬度抗压抗污渍清面漆的其他理化性能 测试按照GB/T 23999—2009中规定的方法进行测试。

2 结果与讨论

2.1 水性成膜树脂的筛选及配比确定

分别以G8100(嘉宝莉)、XK-52(帝斯曼)、7515 (台湾)、2593(科思创)为成膜树脂,树脂的基本参数如表2所示,通过测试不同水性丙烯酸树脂与水性聚氨酯树脂2593的复配筛选及其配比乳液来制备水性高硬度抗压抗污渍清面漆。

表2 水性树脂的基本参数

Table 2	Basic Parameters of	Waterborne Resin
	Duble I mi mileter 5 of	······································

树脂类型	型号	厂家/产地
丙烯酸	G8100	嘉宝莉
丙烯酸	XK-52	帝斯曼
丙烯酸	7515	台湾
聚氨酯	2593	科思创

首先将不同水性丙烯酸树脂与水性聚氨酯树脂 2593进行复配(复配质量比例1:1)来初步筛选综合性能最优的水性丙烯酸树脂,具体数据如表3所示。从表3数据分析,7515的硬度、抗压性能及其抗污渍性能最为优秀,而G8100、XK-52均出现较为明显的压痕。

接着将上面筛选出来的水性丙烯酸树脂7515与

表3 不同水性丙烯酸树脂与水性聚氨酯树脂2593复配的 涂膜性能测试结果

Table 3 Film Performance Test Results of Different
Waterborne Acrylic Resins Compounded with Waterborne
Polyurethane Resin 2593

- •			
树脂类型	G8100	XK-52	7515
铅笔硬度	В	$B\!\sim\! HB$	F
抗压性能	严重压痕	中等压痕	轻微压痕
耐水性(24 h)	轻微发白, 可恢复	轻微发白, 可恢复	无异常
耐红酒性(15 min)	发白	发白	无异常
耐酱油性(15 min)	轻微发白	轻微发白	无异常
耐番茄酱性 (50%,1 h)	发白	发白	无异常
耐芥末性(50%,1h)	发白	发白	轻微发白
耐咖啡性(1h)	无异常	无异常	无异常

水性聚氨酯树脂2593进行复配配比的探讨,分别以复配质量比例3:1、2:1、1:1来制备水性高硬度抗压抗污渍清面漆,具体数据如表4所示。从表4数据分析,7515与2593以3:1质量比例来复配,配制出来的水性高硬度抗压抗污渍清面漆的硬度、抗压性能及其抗污渍性能最为优秀,铅笔硬度等级达到F,而当复配比例为2:1与1:1时,耐芥末性能均不够理想。

表4 丙烯酸树脂7515与聚氨酯树脂2593复配比例对涂膜 性能影响的测试结果

Table 4 Test Results of the Effect of the Compound Ratio of Acrylic Resin 7515 and Polyurethane Resin 2593 on Film Performance

1 ci ioi manec				
m(7515): m(2593)	3:1	2:1	1:1	
铅笔硬度	F	$HB \sim F$	НВ	
抗压性能	无压痕	无压痕	轻微压痕	
耐水性(24 h)	无异常	无异常	无异常	
耐红酒性(15 min)	无异常	轻微发白, 可恢复	轻微发白, 可恢复	
耐酱油性(15 min)	无异常	无异常	无异常	
耐番茄酱性 (50%,1 h)	无异常	无异常	无异常	
耐芥末性(50%,1h)	无异常	轻微发白, 可恢复	轻微发白, 可恢复	
耐咖啡性(1h)	无异常	无异常	无异常	

2.2 成膜助剂的选择

成膜助剂对涂膜硬度的影响主要由3个因素决定:成膜助剂在涂膜中的迁移速度、成膜助剂在空气中的挥发速率以及成膜助剂在树脂中的溶解性^[5]。实验选用DPnB、DE、DBG作为成膜助剂,根据2.1的结

果,将7515与2593以3:1质量比例来复配,来探讨不同的成膜助剂对抗压性能和板面效果的影响,结果见表5。

表5 不同成膜助剂对涂膜性能影响的测试结果 Table 5 Test Results of the Effect of Different Film-forming Additives on Film Performance

	8		
成膜助剂类型	DPnB	DE	DBG
铅笔硬度	HB	F	F
抗压性能	轻微发白, 可恢复	无异常	无异常
板面效果	无异常	无异常	透明度变差

从表5实验结果可以看出,使用成膜助剂DE的水性高硬度抗压抗污渍清面漆综合表现最优,抗压性能优秀,板面效果无异常。而加入DBG后,涂膜的透明度变差,说明该DBG与配方使用的树脂相容性不佳。

2.3 消光粉类型的确定

选用SYLOID 7000(格雷斯)、P260DS(东莞尚创)、TS100(赢创德固赛)、MP108(广州聚东)作为消光材料,根据2.1与2.2的结果,7515与2593以3:1质量比例来复配,使用DE作为成膜助剂,来探讨不同的消光粉的消光效率,以及对涂膜耐水性和透明度的影响,结果见表6。

表6 不同消光粉对涂膜性能影响的测试结果
Table 6 Test Results of the Effect of Different Matting
Powders on Film Performance

消光粉类型	SYLOID 7000	P260DS	TS100	MP108
w/%	4	4	4	4
光泽/%	4	4	6	10
耐水性	无异常	无异常	无异常	无异常
透明度/级	3	4	3	4

注:透明度评级,5分最好,0分最差。

从表6实验结果可以看出,选用P260DS为消光粉时,消光效率高,耐水性和透明度表现最佳。

2.4 水性高硬度抗压抗污渍清面漆的综合性能测试 与对比

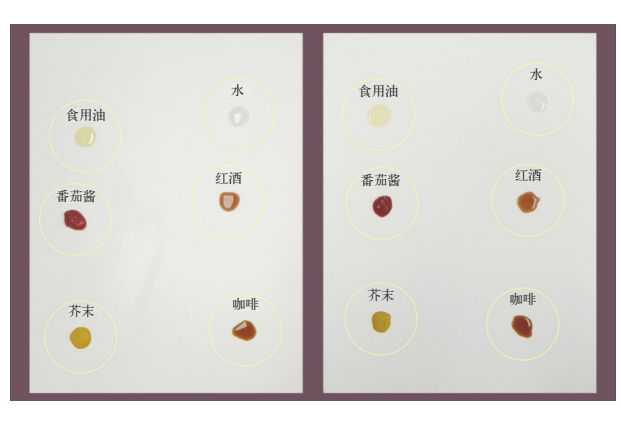
依据2.3的结论,实验采用7515与2593[m(7515): m(2593) = 3:1]来复配,使用DE作为成膜助剂、P260DS作为消光粉的水性高硬度抗压抗污渍清面漆的综合表现最优,抗压性能优秀,板面效果无异常。与市面上水性全亚光清面漆进行对比,测试结果如表7和图2~图4所示。

从表7和图3、图4来看,实验开发的水性高硬度抗压抗污渍清面漆,与市面上水性全亚光清面漆相比,

表7 水性高硬度抗压抗污渍清面漆的综合性能 测试与对比

Table 7 Comprehensive Performance Testing and Comparison of Waterborne High-hardness Anti-pressure and Anti-stain Clear Topcoats

测试项目	复配样漆 3:1测试 结果	复配样漆 实验测试 结果	市售水性 全亚光清 面漆测试 结果
w(不挥发物)/%	≥33	≥33	≥33
表干时间/min	≤30	€30	€30
实干时间/h	≤24	€24	€24
贮存稳定性(50°C)	无异常	无异常	无异常
光泽/%	4	4	4
透明度/级	4	4	4
铅笔硬度	F	$HB\!\sim\!F$	В
抗压性能	无压痕	无压痕	无压痕
耐水性(24 h)	无异常	无异常	无异常
耐红酒性(15 min)	无异常	无异常	无异常
耐酱油性(15 min)	无异常	无异常	无异常
耐番茄酱性(50%,1h)	无异常	无异常	无异常
耐芥末性(50%,1h)	无异常	无异常	浅黄色



(a)自配的水性高硬度 抗压抗污渍清面漆

(b)市售水性全亚光清面漆

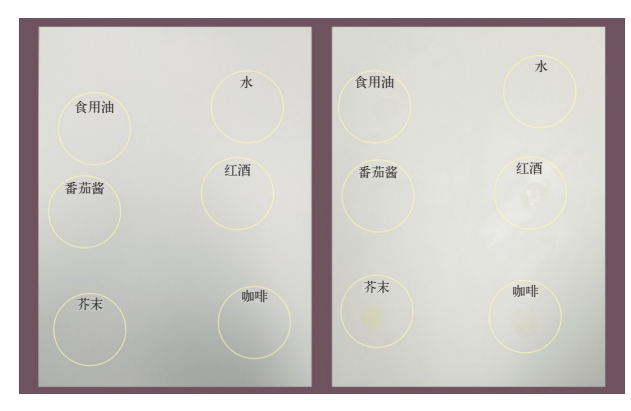
图2 抗污渍测试(进行中)

Fig. 2 Stain Resistance Test (Photo of Test in Progress)

抗压性能与抗污渍表现均更加优异,没有出现压痕和 被污染的痕迹。

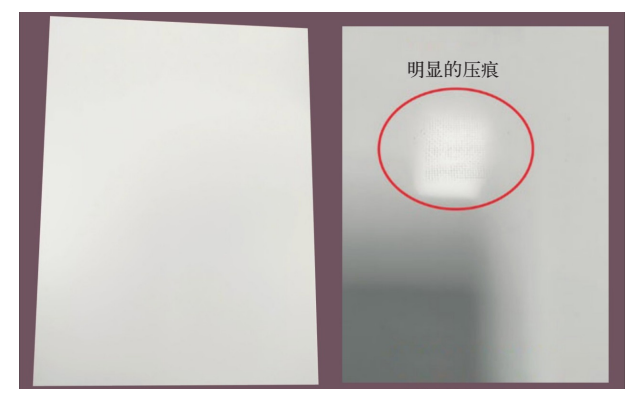
3 结 语

本文开发的水性高硬度抗压抗污渍清面漆,是通过将水性丙烯酸树脂与水性聚氨酯树脂进行复配,并探讨不同的成膜助剂对涂膜抗压和板面效果的影响,选择不同消光粉,搭配1%增强剂(氮吡啶)研制出一种抗压好、硬度高、抗污渍性能好的水性木器涂料,其铅笔硬度等级达到H,抗压性能优,抗污渍性能好,其



(a)自配的水性高硬度抗压 (b)市售水性全亚光清面漆 抗污渍清面漆

图3 抗污渍测试结果 Fig. 3 Anti-stain Test Results



(a)自配的水性高硬度抗压 (b)市售水性全亚光清面漆 抗污渍清面漆

图4 抗压测试结果 Fig. 4 Anti-pressure Test Results

他各项性能指标都达到并超过国家优等品标准,填补 了该产品在市场上的空白。

- (1)通过水性丙烯酸树脂与水性聚氨酯树脂的复配实验及其配比的确定,得出水性丙烯酸树脂7515和水性聚氨酯树脂2593以3:1的质量比例复配,性能表现最优,实现铅笔硬度等级达到H,抗压性能优异,抗污渍性能好。
- (2)通过成膜助剂类型及添加比例的确定,在添加量一致的情况下,成膜助剂DE表现最优,抗压和板面效果表现优秀。
- (3)通过对不同亚光粉的筛选,在添加量一致的情况下,P260DS表现最优,实现了全亚光的效果情况下(光泽为4%),对透明度和抗污渍性能均影响不大。

参考文献

- [1] 何艺华.高硬度水性木器涂料的设计与优化原理[D].广州:华南理工大学,2009
- [2] 伍忠岳,黎芳,叶荣森.双组分水性木器涂料抗压痕问题 的研究与探讨[J].中国涂料,2009,24(9):54-57
- [3] 王善.高硬度抗回粘单组分水性木器面漆的制备及性能研究[D].广州:华南理工大学,2015
- [4] 陈中华,刘冬丽,余飞,等.高硬度单组分水性木器漆的研制[J].应用化工,2009,38(1):54-57,69
- [5] 范昌平,孙东成,黎庆安.一种单组分高耐醇水性PUA木器半亚清面漆的研制[J].现代涂料与涂装,2015,18(1): 13-16,49

中国涂料

(上接第20页)

从表9可看出,随生产过程温度的升高,UV光固化亚光白面漆黏度明显上升,为假稠现象,且补加分散剂或活性单体均不能达到较好的降黏效果,因此,生产过程温度不宜超过60°C。从表10可看出,当温度为50°C时,分散时间对黏度无明显影响,但当温度达到70°C后,随分散时间的延长,黏度明显上升。

3 结 语

UV光固化亚光白面漆热贮存后存在增稠的现象,主要是钛白粉、消光粉和分散剂三者协同作用造成。三者的种类和添加量影响UV光固化亚光白面漆贮存及施工过程的黏度稳定性,相比之下,添加钛白粉Ti-Pure 902+的黏度稳定性最优,添加比例不超过20%为宜;添加消光粉RAD 2105的黏度稳定性最优,添加比例不超过13%为宜;添加分散剂BYK 2015的

黏度稳定性最优,添加比例1.5%~2.5%为宜。同时,三者的添加工艺影响UV光固化亚光白面漆本身生产过程黏度的稳定性,依次添加分散剂、钛白粉、消光粉方式最优。另外,生产过程温度过高也会造成UV光固化亚光白面漆黏度高于设定的标准值,且补加分散剂或活性单体无法达到降黏目的,因此,生产过程应控制产品温度不超过60°C,分散时间不超过1h为宜。

参考文献

- [1] 金养智.光固化材料性能及应用手册[M].北京:化学工业 出版社.2010
- [2] ARTHUR GREEN W.光引发剂原理和应用[M].吴世康, 洪啸吟,译.北京:科学出版社,2022
- [3] 刘登良.涂料工艺[M].4版.北京:化学工业出版社,2009: 312-319 中国涂料

水性木器白漆调色后颜色稳定性研究

郑晓波,汪 洁,张冬华,陈雪芳,袁 虎 (赢创特种化学(上海)有限公司,上海 201108)

摘 要:以水性单组分丙烯酸木器白面漆为研究对象,探讨了分散剂、流变助剂和特种填料对调色配方中颜料稳定性的影响,提出 了优化颜料分散和抑制浮色发花现象的解决方案。

关键词:水性木器涂料;分散剂;调色;浮色;色差

中图分类号:TQ630.7+1

文献标识码:A

文章编号: 1006-2556(2024)06-0026-08

DOI:10.13531/j.cnki.china.coatings.2024.06.005

Study on Color Stability of Waterborne Wood White Coatings after Tinting

ZHENG Xiao-bo, WANG Jie, ZHANG Dong-hua, CHEN Xue-fang, YUAN Hu (Evonik Specialty Chemicals (Shanghai) Co., Ltd., Shanghai 201108, China)

Abstract: With waterborne 1K acrylic wood white coatings as research object, the effects of dispersants, rheology additives and special fillers on the stability of pigments in the tinting formula are discussed, and a solution to optimize pigment dispersion and inhibit floating and flooding is proposed.

Key words: waterborne wood coatings, dispersant, tinting, floating, color aberration

0 前 言

在水性木器涂料产业链技术显著提升的背景下, 木器的水性涂装已经成为环保涂装领域的一个重要 分支。目前,水性单组分木器涂料已在较大范围内取 代了溶剂型硝基木器涂料,同时,水性双组分木器涂 料也在逐渐取代传统的溶剂型双组分聚氨酯木器涂 料。然而,在配方设计方面,水性木器涂料仍面临着一 些亟待解决的挑战。比如在水性木器涂料调色体系 中,颜色稳定性问题(如浮色和发花现象)导致调色过 程困难,并且会造成色浆资源的浪费。此外,涂膜干燥 后,其颜色与原样板的一致性难以保持,这严重影响 了涂膜的外观质量。若这些问题无法得到有效解决,将会严重限制水性木器涂料的发展,阻碍涂料行业向水性化深度转型的进程^[1]。

在含有一种以上颜料的涂料体系中,不均匀的颜料分离现象可能导致施工后涂层表面出现浮色或发花^[2]。这两种常见的涂膜问题均发生在湿膜状态,但表现形式不同:发花是指涂膜中多种颜料不均匀分布,通常表现为条斑或蜂窝斑状;浮色则是指混合颜料中的一种或多种发生分离而在表面呈现的层状色差现象(上层与下层的颜色不同)^[3]。引起涂料浮色发花的因素众多,包括颜填料沉降和絮凝、表面张力梯度、溶

收稿日期:2024-05-16

作者简介:郑晓波(1987-),男,四川内江人。高级工程师,本科,主要从事木器涂料助剂、消光粉、气相二氧化硅等原材料的应用研究。

剂、各组分的亲水亲油平衡值以及树脂与色浆的相容性等。因此,解决浮色发花问题需要从这些因素人手,例如防止贝纳德漩涡的产生,使用润湿分散剂、增稠剂、增容展色剂等^[46]。

本文将重点从使用分散剂、流变助剂和特种填料的角度,探讨如何提升水性木器调色配方的颜色稳定性,改善水性木器涂料在贮存和使用过程中的浮色发花问题。

1 实验部分

1.1 原料及设备

选取了目前国内水性木器涂料市场比较典型的

水性木器白漆和色浆。研究涉及到的主要原材料和测试产品见表1和表2。

表1 主要原材料
Table 1 Main Raw Materials

名称	牌号	供应商
丙烯酸乳胶A		_
钛白粉	R-996	龙蟒
氧化铁红	HY130	华源
氧化铁黄	HY313	华源
炭黑浆		市售

表2 主要测试产品 Table 2 Main Test Products

名称牌号	化学成分	有效成分/%	供应商
TEGO® Dispers 750W	分散剂:含高颜料亲和基团共聚物的水溶液	40	赢创
TEGO® Dispers 755W	分散剂:含高颜料亲和基团共聚物的水溶液	40	赢创
市场产品1	分散剂:改性的苯乙烯马来酸酐共聚物溶液	40	_
市场产品2	分散剂;改性聚丙烯酸酯	40	_
市场产品3	分散剂: 改性的苯乙烯马来酸酐共聚物溶液	52	_
市场产品4	分散剂: 改性的苯乙烯马来酸酐共聚物溶液	40	_
市场产品5	分散剂: 改性的苯乙烯马来酸酐共聚物溶液	40	_
AEROSIL® R 972	疏水型气相法二氧化硅	100	赢创
SIPERNAT® 820 A	合成硅酸盐	100	赢创
TEGO® Viscoplus 3030	增稠剂:非离子型聚氨酯溶液	60	赢创

设备: 高速分散机, DISPERMAT: 6Fu2-548, VMA-GETZMANN; 色差仪, Ci6X, X-Rite; 线棒, 200 μm, 上海现代环境工程技术有限公司; 黑白卡纸, Leneta; 黏度计KU-2, BROOKFIELD; T-4[#]杯, 上海现代环境工程技术有限公司; 烘箱, Binder FD115; HAAKE RotoVisco 1, Thermo SCIENTIFIC。

1.2 参考配方及工艺

测试体系为水性单组分丙烯酸白面漆,钛白浆、氧化铁黄色浆和氧化铁红色浆均自制,黑浆使用商业化产品。具体配方如表3~表7所示。

表3 钛白浆配方
Table 3 Titanium Dioxide Paste Formula

原料	质量份	备注
去离子水	18.50	
消泡剂TEGO® Foamex 830	0.20	
钛白粉R-996	75.00	
分散剂	SOP: 4%	以固体分计

注:分散条件:2500 r/min,10 min。

表4 基础白漆配方
Table 4 Basic White Coatings Formula

Table 4 Basic White Coatings Formula			
原料	质量份	备注	
丙烯酸乳胶A	60.00		
润湿剂TEGO® Wet 280	0.50		
消泡剂TEGO® Foamex 825	0.50		
消泡剂TEGO® Airex 902 W	0.15		
分散条件: 1 000 r/min,	10 min。		
去离子水	7.10		
成膜助剂(二丙二醇丁醚)	3.00		
成膜助剂Texanol	2.00		
分散条件: 1 000 r/min,	10 min o		
润湿剂TEGO® Wet 280	0.50		
增稠剂20% TEGO® Viscoplus 3000	0.60		
增稠剂20% TEGO® Viscoplus 3030	0.85		
钛白浆	25.00	基于含不 同分散剂 的配方	
分散条件:1 500 r/min,	10 min。		

中国涂料 第39卷 2024年第06期

表5 色浆配方 Table 5 Color Paste Formula

五火	w/	1%
原料	氧化铁红浆	氧化铁黄浆
去离子水	40.80	40.80
丙二醇	4.00	4.00
消泡剂TEGO® Foamex 830	0.20	0.20
分散剂TEGO® Dispers 755W	10.00	10.00
氧化铁红颜料HY130	45.00	_
氧化铁黄颜料HY313	_	45.00
总计	100.00	100.00
SOP	8.9	8.9
玻璃珠(1.0~1.5 mm, 震荡1 h)	200	200

表6 色漆配方 Table 6 Colored Coatings Formula

	质量份			
组分	白漆	氧化铁红 涂料	氧化铁黄 涂料	黑漆
基础白漆	100	100	100	100
氧化铁红浆	_	2	_	_
氧化铁黄浆	_	_	2	_
市售黑浆	_	_	_	2

1.3 性能检测方法

1.3.1 黏 度

使用KU-2黏度计和T-4#杯进行黏度测定。使用

表7 含有不同流变助剂及特种填料的氧化铁红涂料配方

Table 7 Formulas of Iron Oxide Red Coatings with Different Rheology Additives and Special Fillers

规格类	型	_	AEROSIL® R 972	AEROSIL® R 972	SIPERNAT® 820 A	TEGO® Viscoplus 3030	TEGO [®] Viscoplus 3030	TEGO® Viscoplus 3030
w/%		0	1.0	2.0	3.0	0.5	1.0	2.0
	基础白漆 (分散剂为市场产品3)	100	100	100	100	100	100	100
	氧化铁红浆	2	2	2	2	2	2	2
质量份	AEROSIL® R 972	_	1	2	_	_	_	_
	SIPERNAT® 820 A	_	_	_	3	_	_	_
	TEGO [®] Viscoplus 3030 (20% 水溶液)	_	_	_	_	0.5	1	2

注:粉体分散条件: 2500 r/min, 20 min。

HAAKERotoVisco 1测试不同剪切速率下的黏度(10 s^{-1} 、100 s^{-1} 、300 s^{-1} 、1 000 s^{-1})。

1.3.2 $L^*/a^*/b^*$ 测试和板面相容性

使用200 μ m线棒刮涂样品于Leneta黑白卡纸上。涂膜干燥后使用X-Rite色差仪Ci6X测试涂膜的 L^* 、 a^* 、 b^* 值,用于表征各样品的展色性。目视涂膜外观,考察是否有缩孔、发花的现象。并评分, $1\sim5$ 分,1分为最差,5分为最好。

1.3.3 指研和色差测试

使用200 μ m线棒刮涂样品于Leneta黑白卡纸上,进行指研。涂膜干燥后使用X-Rite色差仪Ci6X测试指研区域和未指研区域的 ΔE 值,以量化各样品的颜色稳定性。

1.3.4 贮存稳定性

将各样品在50°C烘箱中贮存7 d后,考察沉淀、浮色发花等相关性能并评分。 $1\sim5$ 分,1分为最差,5分为最好。

2 结果与讨论

2.1 分散剂对水性白漆调色的影响

在用色浆调色的过程中,尤其是调制深色漆时,由于所需色浆量较大,浮色发花问题尤为突出。为了解决这一问题,通常会添加润湿分散剂。市面上种类繁多的润湿分散剂为涂料产业的发展提供了强有力的支撑,也为调色过程中出现的浮色发花问题提供了多样的选择。无论是控制絮凝型还是解絮凝型的分散剂,只要应用得当,都能够维持颜料在分散体系中的稳定状态。然而,鉴于涂料体系的复杂性和多样性,目前尚无一种润湿分散剂能够完美解决所有的调色问题[7]。

市面上常见的分散剂主要分为两类:控制絮凝型分散剂和解絮凝型分散剂。控制絮凝型分散剂通常是传统的低分子量化合物,它们通过将一定量的颜料粒子连接在一起,控制颜料粒子的运动性,防止过度絮凝,达到预防浮色发花的效果。特别是聚羧酸类分散

剂,其分子结构中含有较多的羧基,通常会与含羧基的树脂聚合物有良好的相容性。解絮凝型分散剂大多数是高分子聚合物,其分子量通常在10 000~25 000。这类分散剂具有锚定吸附基团和与树脂相容的伸展链段,能够产生空间位阻稳定效果。锚定基团牢固地吸附在颜料粒子表面,而伸展链段在颜料粒子的周围形成空间位阻,含有离子的分散剂结构在水性体系中还能形成静电稳定,使颜料粒子间保持20 nm以上的距离,维持稳定的分散状态(见图1)。此外,高分子聚合物分散剂能够控制颜料粒子的运动速度,使不同颜料粒子的运动速度达到平衡。在本文中,所有测试的分散剂均属于解絮凝型分散剂。

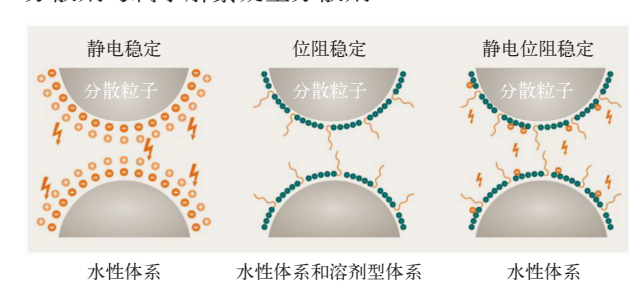


图1 分散剂对于颜料的稳定方式 Fig. 1 Mechanism of Pigment Stabilization by Dispersant

2.1.1 分散剂对钛白浆的影响

在表8的实验中,选用了不同的分散剂,以4%的SOP(固体对固体)分散钛白浆,主要评估了各配方的黏度和贮存稳定性,包括分水和沉淀情况。实验结果表明,不同分散剂分散钛白浆配方的贮存稳定性与分散剂的分子结构密切相关。含有高颜料亲和基团共聚物的分散剂,如TEGO®Dispers 750 W和TEGO。Dispers 755 W,在保证钛白浆相对较低黏度的情况下,在控制贮存过程中的沉淀和分水方面也有显著效果。这类分散剂在水性钛白浆体系中能形成稳定的水合层,有助于控制分水;同时,其颜料亲和基团能有效锚定钛白粉颗粒,保障配方中钛白粉的贮存稳定性。

2.1.2 分散剂对基础白漆的影响

根据表9的测试数据,与水性钛白浆的贮存稳定性相似,水性白漆配方的贮存稳定性同样与分散剂的分子结构紧密相关。含有高颜料亲和基团共聚物的分散剂TEGO® Dispers 750 W,TEGO® Dispers 755 W以及市场产品1,对贮存后的沉淀和分水有较好的控制。尤其是TEGO® Dispers 750 W,它还能为白漆提供优异的黏度稳定性。在水性白漆配方中,分散剂对钛白粉颗粒的稳定机制与其在钛白浆中的作用机理类似。

表8 基于不同分散剂的钛白浆的黏度和贮存稳定性测试结果

Table 8 Test Results of Viscosity and Storage Stability of Titanium Dioxide Paste Based on Different Dispersants

分散剂	类型		TEGO® Dispers 750W	TEGO® Dispers 755 W	市场产品1	市场产品2	市场产品3	市场产品4	市场产品5
贮存前	黏度/KU		73.6	72.6	70.1	70.5	73.6	71.2	68.4
儿 子則	』 细度/μm		20	20	20	20	15	15	20
	防沉性 厚度 评分	厚度/mm	0	1(软沉淀)	2(硬沉淀)	1(硬沉淀)	3(硬沉淀)	3(硬沉淀)	3(硬沉淀)
贮士与		评分	5	4	3	3.5	2	2	2
贮存后	e\ L	厚度/mm	1	$0 \sim 1$	$0\sim 1$	3	4	4.5	4
	分水	评分	4	4.5	4.5	2.5	2	1	2

此外, TEGO[®] Dispers 750 W和TEGO[®] Dispers 755 W 的配方展现了更低的稳泡倾向, 为消泡剂的选择提供

了便利。

表9 基于不同分散剂的钛白浆所配制白漆的黏度和贮存稳定性测试结果

Table 9 Test Results of Viscosity and Storage Stability of White Coatings Based on Titanium Dioxide Paste with Different Dispersants

分散剂类型		TEGO [®] Dispers 750 W	TEGO® Dispers 755 W	市场产品1	市场产品2	市场产品3	市场产品4	市场产品5	
贮存前	隔天黏度	₹(T-4 [#])/s	54	43	51	43	37	38	40
儿什刖	罐内抑泡性评分		3.5	3.5	3	3.5	2	2	2.5
	黏度(T-4	1#)/s	59	61	70	83	40	42	45
	防沉性	外观	无	无	无	无	无	无	无
贮存后		评分	5	5	5	5	5	5	5
	分水	厚度/mm	1	3	3	3	9	11	9
		评分	4	3	3	3	1.5	1.5	1.5

中国涂料 第39卷 2024年第06期

2.1.3 分散剂对调色配方贮存和调色稳定性的影响实验评估了各配方的展色性能,如表10所示。其中黑漆的L*值、氧化铁红涂料的a*值和氧化铁黄涂料的b*值受到特别关注。结果显示,TEGO® Dispers 750 W、TEGO® Dispers 755 W和市场产品1在3种颜色的

色浆展色性方面表现相近。市场产品5板面出现了发花(斑点)的现象(见图2),这表明其在测试体系中的相容性欠佳,并且在图3中的指研色差数据较大。因此,在评估分散剂对展色性的影响时,需要综合考虑目视色相、涂膜相容性和指研色差数据。

	表10	基于不同分散剂的调色配方的展色性和涂膜相容性
10	Color Davidonment and	Cootings Film Compatibility of Tinting Formulas Dasad o

Table 10 Color Development and Coatings Film Compatibility of Tinting Formulas Based on Different Dispersants

分散剂类型	Ü	TEGO® Dispers 750 W	TEGO® Dispers 755 W	市场产品1	市场产品2	市场产品3	市场产品4	市场产品5
	L^*	43.9	43.82	43.64	42.93	41.93	41.77	40.07
黑漆	a^*	-0.57	-0.56	-0.57	-0.51	-0.45	-0.47	-0.37
赤徐	b^*	-1.71	-1.6	-1.72	-1.45	-1.45	-1.52	-1.28
	相容性评分	5	4.5	4.5	4	2	2	2
	L^*	72.48	72.21	73.17	71.87	71.68	71.46	70.05
氧化铁红	a^*	20.9	21.08	20.46	21.35	21.4	21.62	22.44
涂料	b^*	15.16	15.55	15.05	16.02	16.06	16.35	17.25
	相容性评分	5	5	4.5	4	2.5	2	2
	L^*	88.81	88.64	88.65	88.4	88.48	88.17	87.7
氧化铁黄	a^*	4.75	4.76	4.75	4.84	4.76	4.87	5.21
涂料	b^*	25.11	25.5	25.4	25.96	25.6	26.21	27.44
	相容性评分	5	5	4.5	4	2.5	2	2

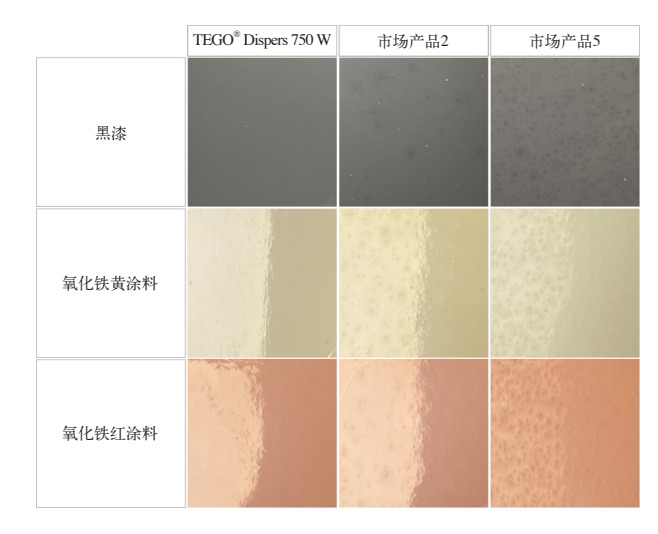


图2 基于不同分散剂的调色配方的涂膜相容性 Fig. 2 Coatings Film Compatibility of Tinting Formulas Based on Different Dispersants

如图3和图4所示,在该测试中的3种颜色色浆的调色配方中,含高颜料亲和基团共聚物的分散剂TEGO®Dispers 750 W、TEGO®Dispers 755 W和市场产品1对调色配方的贮存稳定性和指研色差有较大的帮助。特别是TEGO®Dispers 750 W,在黑漆、氧化铁红涂料和氧化铁黄涂料的配方中,不仅有效降低了指研色差,还赋予了配方出色的抗浮色发花性能。

2.2 增稠剂(流变助剂、特种填料)对水性白漆调色 的影响

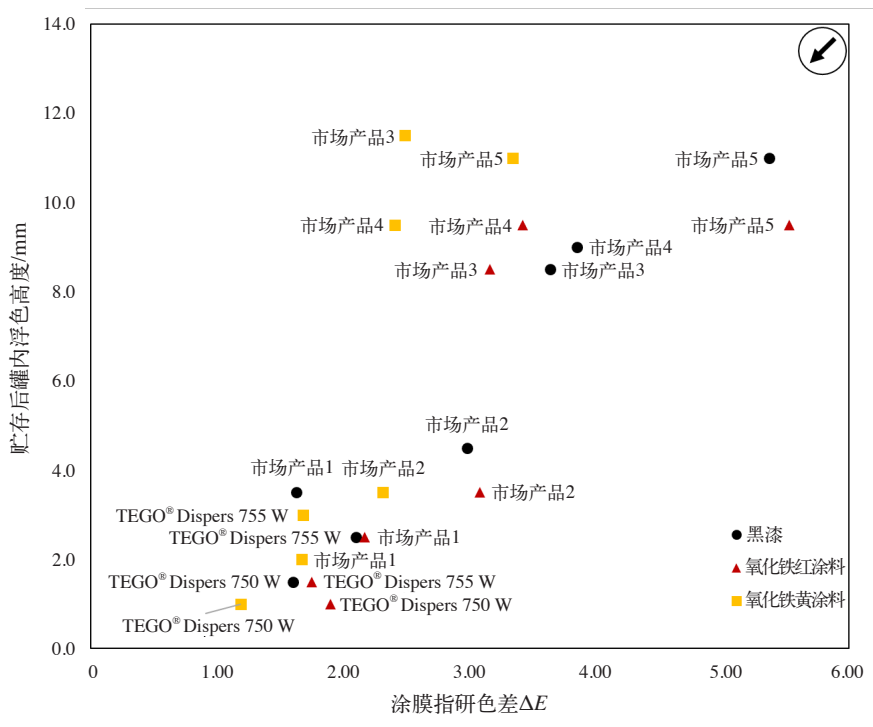
使用增稠剂防止颜料浮色发花也是一种常用方法。在多种水性木器涂料体系中,增稠剂(流变助剂、特种填料)的应用可以提高涂料的结构黏度,这种结构黏度可以控制颜料粒子的运动,从而防止沉降,减弱或消除贝纳德漩涡的影响。然而,需要注意增稠剂对光泽和流动性的潜在影响。涂料增稠的方法众多,本研究将对气相法二氧化硅(AEROSIL® R 972),高吸油量特种填料(SIPERNAT® 820 A)以及聚氨酯增稠剂(TEGO® Viscoplus 3030)进行评估。

2.2.1 白漆黏度和触变性

图5展示了气相法二氧硅、硅酸盐特种填料以及聚氨酯增稠剂对配方在不同剪切速率下黏度的影响。结果表面,气相法二氧化硅在提升涂料的触变性(定义为用剪切速率10 s⁻¹的黏度除以剪切速率100 s⁻¹的黏度)方面表现最为显著,且对黏度的影响相对较小。这种特性有助于增强涂料的贮存和颜色稳定性,同时对施工性能的影响较小。相比之下,聚氨酯增稠剂在提升涂料黏度方面效果最佳,但在提升触变性方面不如气相法二氧化硅。

2.2.2 调色配方颜色稳定性

表11和图6的数据显示,添加2%质量分数的



注: 左下角为最优。

图3 基于不同分散剂的调色配方的调色稳定性

Fig. 3 Tinting Stability of Tinting Formulations Based on Different Dispersants

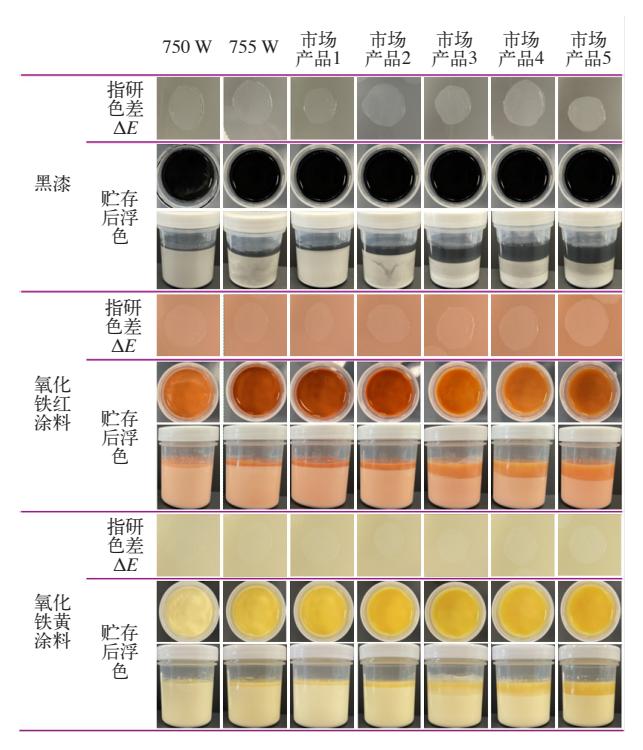


图4 基于不同分散剂的调色配方的指研色差和 贮存稳定性照片

Fig. 4 Rub-out Color Aberration Test and Storage Stability Photos of Tinting Formulas Based on Different Dispersants

AEROSIL® R 972能够改善指研色差和贮存后的浮色问题。这是因为气相法二氧化硅通过其硅羟基形成的氢键,将颜料粒子连接成三维网络结构,赋予体系触变性(见图5),从而提升了颜色的稳定性。此外,添加适量的TEGO® Viscoplus 3030能够有效增加体系的黏度,控制颜料粒子的运动,同样有助于改善指研色差和贮存后的浮色现象。

3 结 语

本研究从分散剂、流变助剂和特种填料3个角度对水性木器涂料的调色稳定性进行了探讨。含有高颜料亲和基团共聚物的分散剂TEGO®Dispers 750 W、TEGO®Dispers 755 W,能够在锚定颜料粒子以及提供空间位阻和静电稳定方面实现良好的平衡,显著改善了钛白浆和调色配方的稳定性。气相法二氧化硅和增稠剂通过控制颜料颗粒在涂料体系中的运动,有助于提高调色配方的防浮色发花性能。在配方设计时,可以根据具体需求,综合考虑上述因素,选择合适的策略来优化水性木器涂料调色配方的稳定性。

参考文献

[1] 彭刚阳,陈锦江,张熠,等.水性木器有色漆的颜色稳定性研究[J].涂料工业,2023,53(3):37-42

中国涂料 第39卷 2024年第06期

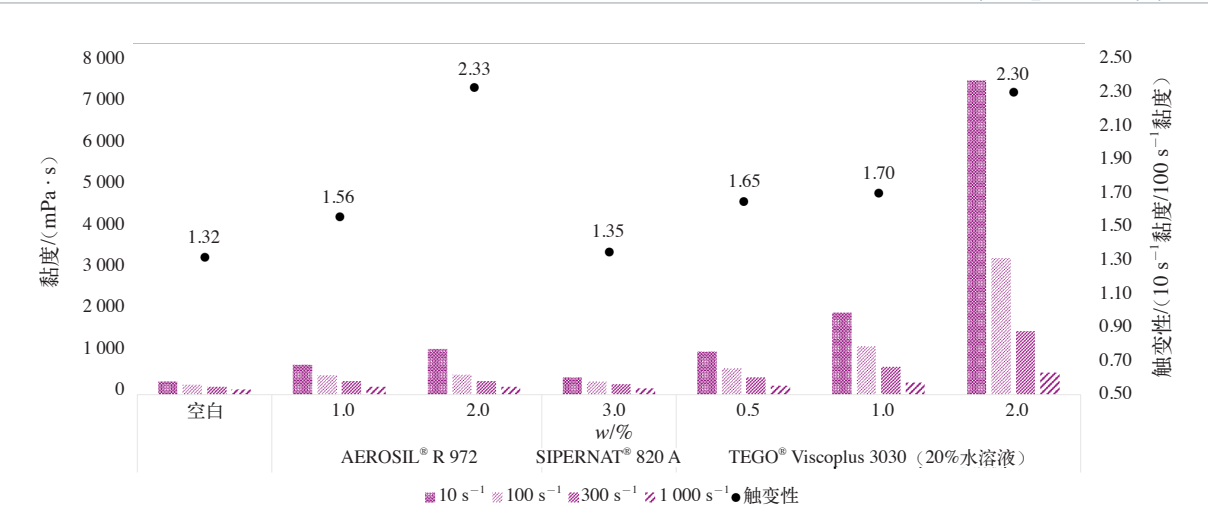


图5 基于不同增稠剂(流变助剂)的白漆的黏度和触变性测试结果

Fig. 5 Viscosity and Thixotropy Test Results of White Coatings Based on Different Thickeners (Rheology Additives)

表11 基于不同增稠剂(流变助剂)的氧化铁红涂料的调色稳定性

Table 11 Tinting Stability of Iron Oxide Red Coatings Based on Different Thickeners (Rheology Additives)

w/%	增稠剂类型	ΔE	贮存后浮色/mm	贮存评分
0		5.07	3.0	2
1.0	AEROSIL® R 972	4.92	2.0	2.5
2.0	AEROSIL R 972	3.68	0	3.5(发花)
3.0	SIPERNAT® 820 A	5.20	2.0	2.5
0.5		5.21	2.5	2.5
1.0	TEGO® Viscoplus 3030(20%水溶液)	5.01	0.5	4
2.0		3.64	0	4.5



图6 基于不同增稠剂(流变助剂)的氧化铁红涂料的指研色差和贮存稳定性照片

Fig. 6 Rub-out Color Aberration Test and Storage Stability Photos of Iron Oxide Red Coatings Based on Different Thickeners (Rheology Additives)

染色木皮专用水性双组分全亚光面漆的 研究与应用

李冠来,夏正明 (珠海展辰新材料股份有限公司,广东珠海 519090)

摘 要:进行了染色木皮专用水性双组分全亚光面漆的配方研究,针对原材料的筛选,从乳液及水性固化剂的选择,以及紫外线吸收剂、润湿剂等助剂的合理搭配,通过实验测试染色木皮专用水性双组分全亚光面漆相关性能,并对比传统溶剂型产品,测试耐黄变性等性能,验证了染色木皮专用水性双组分全亚光面漆具有最好的保护木材变色效果,从而在室内家居领域的绿色环保涂装方案上有很大的推广应用价值。

关键词:染色木皮;水性;双组分;全亚光面漆

中图分类号: TQ630.7 文献标识码: A

DOI:10.13531/j.cnki.china.coatings.2024.06.006

文章编号: 1006-2556(2024)06-0033-05

Research and Application of Waterborne Two-component Full Matte Topcoat Specially Formulated for Dyed Wood Veneer

LI Guan-lai, XIA Zheng-ming

(Zhuhai Zhanchen New Materials Co., Ltd., Zhuhai 519090, Guangdong, China)

Abstract: The formulation of waterborne two-component full matt topcoat specially for dyed wood veneer was studied. In view of the screening of raw materials, from the selection of emulsion and waterborne curing agent, as well as the reasonable combination of ultraviolet absorber, wetting agent and other additives, the relevant performance of waterborne two-component full matt topcoat specially for dyed wood veneer was tested through experiments and compared with traditional solvent-based products, and the performance of yellowing resistance and other properties were tested, verifying that waterborne two-component full matt topcoat specially for dyed wood veneer has the best effect of protecting wood from discoloration, thus it has great promotion and application value in the green and environmentally friendly painting scheme in the field of indoor furniture.

Key words: dyed veneer, waterborne, two-component, full matte topcoat

0 前 言

随着经济的高速发展及家具家居产品增多,我国木材需求量也越来越多,染色木皮通过染色剂分子在木材中的吸收渗透来掩饰木材表面固有的虫洞、结疤、颜色不一致等缺陷产生的局部色差,使木材表面更加平滑,拓宽了木材的利用途径。充分利用有缺陷和色差的天然木皮,在如今森林资源匮乏的条件下减少浪费,且降低原料成本,同时还增加木材的色彩鲜

艳性,所以染色木皮成为对日渐稀少的天然林木资源 的代替品。

虽然染色木皮既满足了人们对不同树种装饰效果的需求,又使珍贵的森林资源得以延续,并通过丰富的染色方法能让染色木皮达到更好的色彩效果。但是在使用过程中存在困扰的问题是后期很易变色,最后导致色差严重,影响外观。所以需要将染色木皮进行环保涂装,解决表面色差问题并形成保护涂膜。

收稿日期:2024-05-17

作者简介:李冠来(1979-),男,广东佛山人。副高级工程师,在职博士,主要从事水性木器涂料的研发及智能化机械涂装应用的工作。

由于染色木皮使用染色剂、胶黏剂等化学辅助材料实现类似实木纹理效果,由于太阳光线中有对染色剂、胶黏剂等影响的紫外光(UV),波长约为290~460 nm,这些紫外光照射到染色木皮上会发生氧化还原反应及老化降解,使染色木皮的染色剂颜色分子分解褪色,所以产生色差,影响观感¹¹。针对色差问题,本文通过研究染色木皮专用水性双组分全亚光面漆的配方设计,从乳液及水性固化剂的选择,以及紫外线吸收剂、润湿剂等助剂的合理搭配,通过实验测试染色木皮专用水性双组分全亚光面漆相关性能,可以防止紫外光对染色木皮颜色的影响,解决相关的色差问题。

1 实验部分

1.1 实验主要原材料

(1)水性乳液:水性羟基丙烯酸乳胶A、水性聚氨酯分散体B,展辰涂料;水性PUA乳液C,欧宝迪;水性PUA乳液D,万华化学。

- (2)消光粉:气相二氧化硅消光粉,TS100。
- (3)水性助剂:光变稳定剂、聚醚改性有机硅消泡 剂和高效乳液型脱泡剂、润湿剂、水性润湿分散剂、缔 合型聚氨酯增稠剂、有机硅润湿流平剂。
- (4)水性固化剂:IPDI型水可分散型异氰酸酯和 HDI型水可分散型异氰酸酯。
- (5)成膜助剂: DPnB(二丙二醇丁醚), DPM(二丙二醇甲醚)。
 - (6)蜡乳液:BYK 539。

1.2 实验仪器及设备

恒温恒湿热储箱,上海一恒科学仪器有限公司;高速分散机,SFJ-400,上海现代环境工程有限公司;刮板细度计、湿膜制备仪,上海现代环境工程有限公司;荧光紫外老化机QUV,美国Q-LAB;分光光度仪,X-Rite SP62,美国爱色丽。

1.3 基础参考配方与工艺(见表1)

表1 基础参考配方与工艺

Table 1 Rasic Reference Formula and Process

	Table 1 Basic Reference Formula and Process					
序号	材料	w/%	工艺说明			
1	水性羟基丙烯酸乳胶	60.00	使用清洁的容器将物料1缓慢加入生产缸中			
2	聚醚改性有机硅消泡剂	0.30				
3	高效乳液型脱泡剂消泡剂	0.30	投完物料1后,开动分散机,以600 r/min搅拌,然后依次加入物料2~5,			
4	水性润湿分散剂	0.40	将转速调整到1 200 r/min,分散10 min			
5	润湿流平剂	0.30				
6	二丙二醇丁醚	2.00				
7	二丙二醇甲醚	2.50	在洁净的容器里,将物料6~8预混后,在800 r/min的速度下按4 kg/			
8	去离子水	4.80	min的流速添加;加完后,依次加入物料9、10,再将转速控制在1500 r/			
9	亚光粉TS100	3.00	min高速分散25 min,检测细度≤25 μm,刮板检测无缩孔现象			
10	水性膨润土浆	1.00				
11	PUD乳液	20.00				
12	缔合型聚氨酯增稠剂	0.20				
13	有机硅流平剂	0.20	分散机转速调整到800 r/min, 依次将物料11~16加入生产缸中, 中速			
14	UV紫外线吸收剂	1.50	搅拌25 min, 刮板至无缩孔			
15	受阻胺光稳定剂	1.50				
16	蜡乳液	2.00				
	合计	100.00	质检隔夜检测黏度、细度、pH值、光泽、固含量、抗流挂性,合格后包装			

1.4 耐黄变性检测结果

按照表1配方将主剂与固化剂混合均匀,施工黏度调至40 s,按照120 g/m²的涂布量喷涂于染色木上,45°C干燥1.5 h后,放置在恒温25°C实验室养护1周后,对比空白(染色木素材)样品,按照国标GB/T23987—2009《木器涂料耐黄变性测定法》进行QUV紫外线老化测试,结果如表2所示。

2 实验结果与讨论

染色木皮专用水性双组分全亚光面漆适用于染色木底材的涂装,对底材起到保护作用,经过涂装在染色木皮后具有较强的耐光性、不易变色,同时形成的涂膜需具有耐化学品性能好、耐水性能突出、高附着力,且施工活化期在温度35°C下可以达到12 h以上。为达到以上性能要求,主要通过以下原材料进行选择及调整。

表2 QUV紫外线老化测试结果 Table 2 QUV UV Aging Test Results

2.1 乳液的选择

水性双组分涂料的成膜物主要是水性乳液,水性 乳液的性能决定水性双组分涂料的主要性能。

水性涂料常用4款乳液: 低羟丙乳胶(A)、高羟丙

乳胶(B)、PUA(C)、PUD(D),此外还对比展辰公司自主创新乳液——自产低羟丙乳胶(E)、PUD乳液(F),其性能参数如表3所示。

表3 乳液性能参数

Table 3 Performance Parameters of Emulsion

乳液种类	低羟丙(A)	高羟丙(B)	PUA(C)	PUD(D)	自产低羟丙(E)	自产PUD(F)
w(羟值)/%	1.5	3.5	_	_	1.3	_
固含量/%	41	42	38	35	40	35
涂膜耐黄性/级	5	4	4	5	4	5
干膜柔韧性/级	4	3	3	4	5	4
摆杆硬度/级	4	5	4	5	4	5
干燥性/级	3	3	5	4	5	3
涂膜通透性/级	4	4	4	5	4	4

注:以上评级中1为最差,5为最优。

首先从乳液方面选择。挑选市面上的低羟基丙烯酸乳胶,选定固化剂(如展辰ZWH9988)作为乙组分,分别评估该低羟乳胶对染色木皮底材的防变色性、活化期、涂膜的耐水性、附着力的影响,筛选出综合性能最好的低羟乳胶。再评估拼入PUD。拼入PUD可以提升涂膜的致密性,因此较大程度地提升面漆产品的耐水性及耐化学品性等综合性能。通过表3中的数据可知,将自产羟丙乳胶E和PUD乳液D复配作为主要成膜物质,从价格、各项性能等因素确定混拼乳液的比例,从而提高面漆的各项综合性能,最后选出低羟乳胶(E)和PUD(D)乳液质量比为3:1。

2.2 固化剂的选择

含有羟基乳胶的—OH基团可跟水性固化剂的—NCO基团发生化学反应,生成高分子网状结构聚

合物,从而形成致密性涂膜。不同类型的固化剂的交联程度及搭配比例,所形成的聚合物涂膜结构都不一样,并对涂膜的保护效果也不一样。同时,不同助溶剂开稀固化剂也会影响到涂膜的交联程度和反应速度。因此考虑到活化期,必须优选出固化剂的类型,并搭配优选成膜助剂、稀释剂。通过实验数据对比,从PMA、EGDA、EDG、PGDA、DMM等溶剂对比,最后选用DMM和PGDA作为溶剂,和选用IPDI类型的固化剂搭配,可有效延长活化期及保证涂膜的致密性,可以防止染色木皮中使用的染色剂等色素渗透出来。其中可使用的固化剂可分为HDI类型和IPDI类型。这两类固化剂都具有各自不同的特点,总体的耐黄变性都比溶剂型的含TDI型固化剂好^[2]。

以表4配方,通过混匀不同比例的HDI固化剂和

中国涂料 第39卷 2024年第06期

IPDI固化剂,然后按照n(-NCO): n(-OH)=1.5和主漆混匀并测试干燥时间、附着力、涂膜致密性能及耐染色木皮变色等性能(见表5)。

表4 水性固化剂基础配方

Table 4 Basic Formula of Waterborne Curing Agent

田小刘米刑	w/%						
固化剂类型	1号	2号	3号	4号			
HDI固化剂	80	73	65	57			
IPDI固化剂	0	7	15	23			
PGDA	15	10	10	10			
DMM	5	10	10	10			
合计	100	100	100	100			

表5 涂膜物理性能

Table 5 Physical Properties of Coatings Film

方案	1号	2号	3号	4号
表干时间/min	35	39	43	58
指压干时间/h	3.3	3.8	4.0	5.1
附着力/级	1	1	1	0
染色木皮耐黄变指数ΔE	2.0	1.5	1.25	1.15

注:室温25°C,湿度60%。

从表5可以看出: 当IPDI型固化剂的用量增加,涂膜耐黄变指数加强,色差值变少,但是涂膜干速减慢。因此根据涂膜耐黄变性以及干燥时间等因素,选用3号方案为首选方案。

2.3 光稳定剂的选择

染色木皮是利用化学原材料(染色剂、胶黏剂及漂白水等)处理天然木皮而制作家具或装饰面的材料。因为化学材料对太阳光比较敏感而容易产生变色,故需在配方中添加光稳定剂。目前市面上有紫外线吸收剂和受阻胺类光稳定剂两种类型,其中两种类型可协同作用并产生共辅效应,能更好保护好表面基材与涂膜的效果[2]。市面上做得比较好的光稳定剂厂家主要是巴斯夫、宿迁联盛、台湾永光等厂家,经过实验分析评估优选出防变色性的光稳定剂配比,具体见表6、表7。

从表7可看出:采用紫外光吸收剂(UVA)与受阻 胺光稳定剂(HALS)搭配涂装在染色木上测试耐黄变指数 ΔE 最好,故选用4号方案为优先方案^[3]。

2.4 成膜助溶剂的选择

在水性双组分的体系中,由于主剂与固化剂发生 化学反应而相互交联成膜。不同类型的固化剂及成膜 助溶剂,对反应的速度有一定影响,尤其在涂膜的表 于时间及活化期方面。为了减少涂膜的弊病及延长活

表6 光稳定剂实验筛选配方

Table 6 Experimental Screening Formula for Light Stabilizer

	Stabilizei						
序号			w/	1%			
175	1/1 frf	1	2	3	4		
1	水性低羟基丙烯酸乳胶	60	60	60	60		
2	聚醚改性有机硅消泡剂	0.3	0.3	0.3	0.3		
3	高效乳液型脱泡剂	0.3	0.3	0.3	0.3		
4	水性润湿分散剂	0.3	0.3	0.3	0.3		
5	润湿流平剂	0.4	0.4	0.4	0.4		
6	成膜助剂DPnB	2.0	2.0	2.0	2.0		
7	成膜助剂DPM	2.5	2.5	2.5	2.5		
8	去离子水	6.3	6.3	5.3	4.8		
9	气相二氧化硅消光粉	3	3	3	3		
10	流变型无机膨润土浆	1	1	1	1		
11	自产PUD乳液	20	20	20	20		
12	缔合型聚氨酯增稠剂	0.2	0.2	0.2	0.2		
13	有机硅流平剂	0.2	0.2	0.2	0.2		
14	紫外线吸收剂(UVA)	0	1.5	1.5	1.5		
15	受阻胺光稳定剂 (HALS)	1.5	0	1.0	1.5		
16	蜡乳液	2	2	2	2		
	合计	100	100	100	100		

表7 涂装在染色木皮上的性能及耐黄变指数

Table 7 Performance and Yellowing Resistance Index of Coatings on Dyed Wood Veneer

方案	1号	2号	3号	4号
表干时间/min	40	41	42	41
指压干时间/h	3.6	3.8	3.9	3.8
附着力/级	0	0	0	0
染色木耐黄变指数ΔE	3.3	2.2	1.5	0.8

注:室温25°C,湿度60%。

化期,通过各方面的实验数据验证,选择与水相容性较好的高沸点的助溶剂,对延长活化期有很大帮助,例如DPM、EDG、BDG等。经实验选择较好的成膜助剂(DPM与DPnB)搭配,干速及成膜效果较好,可延长一定的活化期。

2.5 对比性能测试结果

在染色木皮上分别涂装水性双组分全亚光面漆、PU面漆、UV面漆进行对比性能测试,结果见表8。

从表8可看出,染色木皮专用水性双组分全亚光面漆可以防止紫外线对染色木皮颜色的破坏。同时染色木皮专用水性双组分全亚光清面漆与传统溶剂型PU以及UV光固化清漆分别涂装于染色木皮上,对比测试相关耐黄变性、附着力、耐水性等性能,验证了染

表8 对比性能测试结果

Table 8 Comparison of Performance Test Results

检测项目	水性双组分全亚光面漆	溶剂型PU面漆	溶剂型UV面漆	检测依据
表干时间/min	40	25	1	GB/T 1728—1979
实干时间/h	20	12	1	GB/T 1728—1979
耐冻融稳定性	不变质	不变质	不变质	GB/T 9755—2001
贮存稳定性	无异常	无异常	无异常	GB/T 23999—2009
光泽/%	10	12	13	GB/T 9754
抗黏连性	MM:A-0 MB:A-0	MM:A-0 MB:A-0	MM:A-0 MB:A-0	GB/T 23987—2000
铅笔硬度(擦伤)	F	Н	2H	GB/T 6739
柔韧性/mm	1	2	2	GB/T 1731—1993
耐黄变性ΔE(168 h)	0.8	3.5	3.8	GB/T 23987—2009
耐冲击性	涂膜无脱落、无开裂	涂膜无脱落、无开裂	涂膜无脱落、无开裂	GB/T 20624.2
耐水性(24 h)	无异常	无异常	无异常	GB/T 4893.1—2005
附着力/级	0	1	1	GB/T 9286—1998

色木皮专用水性双组分全亚光清面漆的耐黄变效果 及色差值较理想。

3 结语与展望

综上所述,通过研究了染色木皮专用水性双组分 全亚光清面漆配方材料的筛选,及配方优化设计,应 用于市面上的染色木皮涂装,可以有效防止紫外线对 染色木皮的颜色影响,并比传统的溶剂型涂料更好解 决了色差问题,响应了国家环保政策的号召,代替传 统的溶剂型涂料,成为环保可持续发展的绿色的涂装 方案。该面漆在室内家具家居领域的应用会得到一定的市场份额,为家居生活带来健康环保绿色的空间。

参考文献

- [1] 师睿.多羧酸配位稀土发光配合物及其氧化石墨烯复合 材料的合成、荧光和抑菌性质研究[D].呼和浩特:内蒙 古大学.2019
- [2] 周通通,周巍,王超.水性双组分高填充木器白底漆的研究与应用[J].中国涂料,2021,36(8):39-43

中国涂料

(上接第32页)

- [2] 孙道兴,魏燕彦.涂料调制与配色技术[M].北京:中国纺织出版社,2008:124-125
- [3] 陈国权,王亦云.涂料添加剂的制法,配方及开发[M].上海:上海科学技术文献出版社,1989:22-28
- [4] 巴顿.涂料流动和颜料分散: 流变学方法探讨涂料及油墨工艺学[M].郭隽奎,王长卓,译.2版.北京:化学工业出版社,1988:557-562
- [5] HUANG Y, CHENG J, WEN X F, et al. Flooding and Floating in Latex Paint[J]. JCT Research,2004,1:213-218
- [6] 刘登良.涂料工艺(上)[M].4版.北京:化学工业出版社, 2009:677-683
- [7] 曾志超.润湿分散剂复配解决浮色发花问题的探讨[J]. 江苏建筑,2012,150(5):100-101

中国涂料

羟基聚氨酯丙烯酸酯乳液的合成及其在 双组分木器涂料中的应用

柴 广,雷木生,游仁国 (湖北双键精细化工有限公司,武汉 430040)

摘 要:以聚己二酸新戊二醇酯(PNA1000)、六亚甲基二异氰酸酯(HDI)、聚醚二元醇磺酸盐(SPPG)、正丁醇(BO)和4-丙烯酸 羟丁酯(4-HBA)为原料合成端乙烯基封端的聚氨酯预聚体,再以甲基丙烯酸甲酯(MMA)、丙烯酸正丁酯(BA)、丙烯酸羟乙酯(HEA)、丙烯酸(AA)为聚合单体,通过预乳化种子乳液聚合法合成了一种羟基聚氨酯丙烯酸酯乳液,研究了封端单体种类、聚氨酯质量分数、羟基含量对乳液稳定性和性能的影响。结果表明,使用BO和4-HBA作为封端单体、聚氨酯质量分数为30%、羟基含量为1.0%(基于固含量),乳液合成稳定且性能优异,用其配制的水性双组分木器涂料,附着力好、抗黏连性好、耐水和耐化学品性优异。

关键词: 羟基聚氨酯丙烯酸酯乳液; 水性木器涂料; 附着力; 抗黏连

中图分类号: TQ630.4 文献标识码: A

DOI:10.13531/j.cnki.china.coatings.2024.06.007

2024年06月

June 2024

Synthesis of Hydroxyl Polyurethane Acrylate Emulsion and Its Application in Waterborne Two-component Wood Coatings

CHAI Guang, LEI Mu-sheng, YOU Ren-guo (Hubei Double-bond Fine Chemical Co., Ltd., Wuhan 430040, Hubei, China)

Abstract: Using poly-neopentylene adipate glycol (PNA-1000), hexamethylene diisocyanate (HDI), polyether diol containing sulfonate (SPPG), *n*-butanol (BO) and 4-hydroxybutyl acrylate (4-HBA) as raw materials, vinyl terminated polyurethane ionomer was synthesized, then a hydroxyl polyurethane acrylate emulsion was prepared via pre-emulsification seed emulsion polymerization, using methyl methacrylate (MMA), *n*-butyl acrylate (BA), hydroxyethyl acrylate (HEA) and acrylic acid (AA) as monomers. The effects of the type of capping monomer, the weight ratio of polyurethane and hydroxyl content on emulsion stability and performance were studied. The results indicate that when BO and 4-HBA were used as capping monomers, the weight ratio of polyurethane was 30%, and the hydroxyl content was 1.0% (based on solid content), the emulsion polymerization had the best stability and excellent performance. The two-component waterborne wood coatings prepared with it have good adhesion, good block resistance, and excellent water and chemical resistance.

Key words: hydroxyl polyurethane acrylate emulsion, waterborne wood coatings, adhesion, block resistance

0 前 言

近年来,随着经济的快速发展,人们生活质量不断提高,环保意识和健康意识也在不断增强。世界各国相继出台多项环保法规,对挥发性有机化合物(VOC)排放量进行了严格限制,以水性木器涂料为代表的环境友好型木器涂料成为传统溶剂型木器涂料的理想替代品,并在很多应用场合得到成功应用[1]。

水性木器涂料以水性树脂作为成膜物质,因此水

性树脂质量的好坏很大程度上直接决定了水性木器涂料质量的优劣,水性丙烯酸树脂和水性聚氨酯树脂是水性木器涂料中最常用的水性树脂。其中水性丙烯酸树脂具有耐候性好、干燥快、价廉等优点,但存在高温发黏、低温易脆等^[2]缺点;水性聚氨酯则具有优异的低温成膜性、柔韧性、耐溶剂性等^[3],但其生产成本相对较高。为了结合两种树脂的优点,水性聚氨酯丙烯酸酯乳液越来越受到关注^[4],目前通过物理共混、化学

第39卷 第06期

文章编号: 1006-2556(2024)06-0038-06

Vol.39 No.06

收稿日期:2024-05-17

作者简介: 柴广(1992-),男(汉族),湖北应城人。工程师,硕士,主要从事水性树脂的研发及实际应用方面的工作。

接枝共聚、杂化聚合等方法制备的聚氨酯丙烯酸酯乳 液已有大量文献报道[5-7],但这些研究都主要集中在单 组分应用的聚氨酯丙烯酸酯乳液,而针对双组分应用 的羟基聚氨酯丙烯酸酯乳液,却报道较少。对含羟基 的羟基聚氨酯丙烯酸酯乳液的合成进行研究,制备出 用于双组分木器涂料的羟基聚氨酯丙烯酸酯乳液,以 满足市场对水性双组分木器涂料的多样化应用需求。

本文先是合成端乙烯基封端的聚氨酯预聚体,再 将其与丙烯酸单体共聚合成了一种含羟基的羟基聚 氨酯丙烯酸酯乳液,研究发现该复合乳液既具有水性 聚氨酯的优良特点,又有较低的成本,用其配制成的 水性双组分木器涂料,具有附着力好、抗黏连性好、耐 水和耐化学品性优异等特点,具有较好的应用前景。

实验部分

1.1 原料与仪器

聚己二酸新戊二醇酯(PNA1000)、六亚甲基二

异氰酸酯(HDI)、聚醚二元醇磺酸盐(SPPG)、正丁 醇(BO)、4-丙烯酸羟丁酯(4-HBA)、甲基丙烯酸甲酯 (MMA)、丙烯酸正丁酯(BA)、丙烯酸(AA),丙烯酸 羟乙酯(HEA),工业级,市售;烯丙氧基异构醇醚硫酸 酯氨盐,工业级,SR-10, 艾迪科; 过硫酸铵(APS)、氨 水,化学纯,市售:消泡剂、润湿剂、流平剂、消光粉、增 稠剂、二丙二醇甲醚(DPM)、二丙二醇丁醚(DPnB)、 丙二醇甲醚醋酸酯(PMA),工业级,市售;去离子水, 自制;水性异氰酸酯固化剂,DB82655,湖北双键。

精密pH值计,PHS-3C,上海虹益仪器仪表有限公 司; 黏度计, NDJ-1, 上海横平仪器仪表厂; 铅笔硬度 计,QHQ-A,台州艾测仪器有限公司;光泽度仪,BGD 516/1: 涂膜划格器, BGD 502/2。

1.2 羟基聚氨酯丙烯酸酯乳液的合成

含羟基的羟基聚氨酯丙烯酸酯乳液的合成机理 如图1所示。

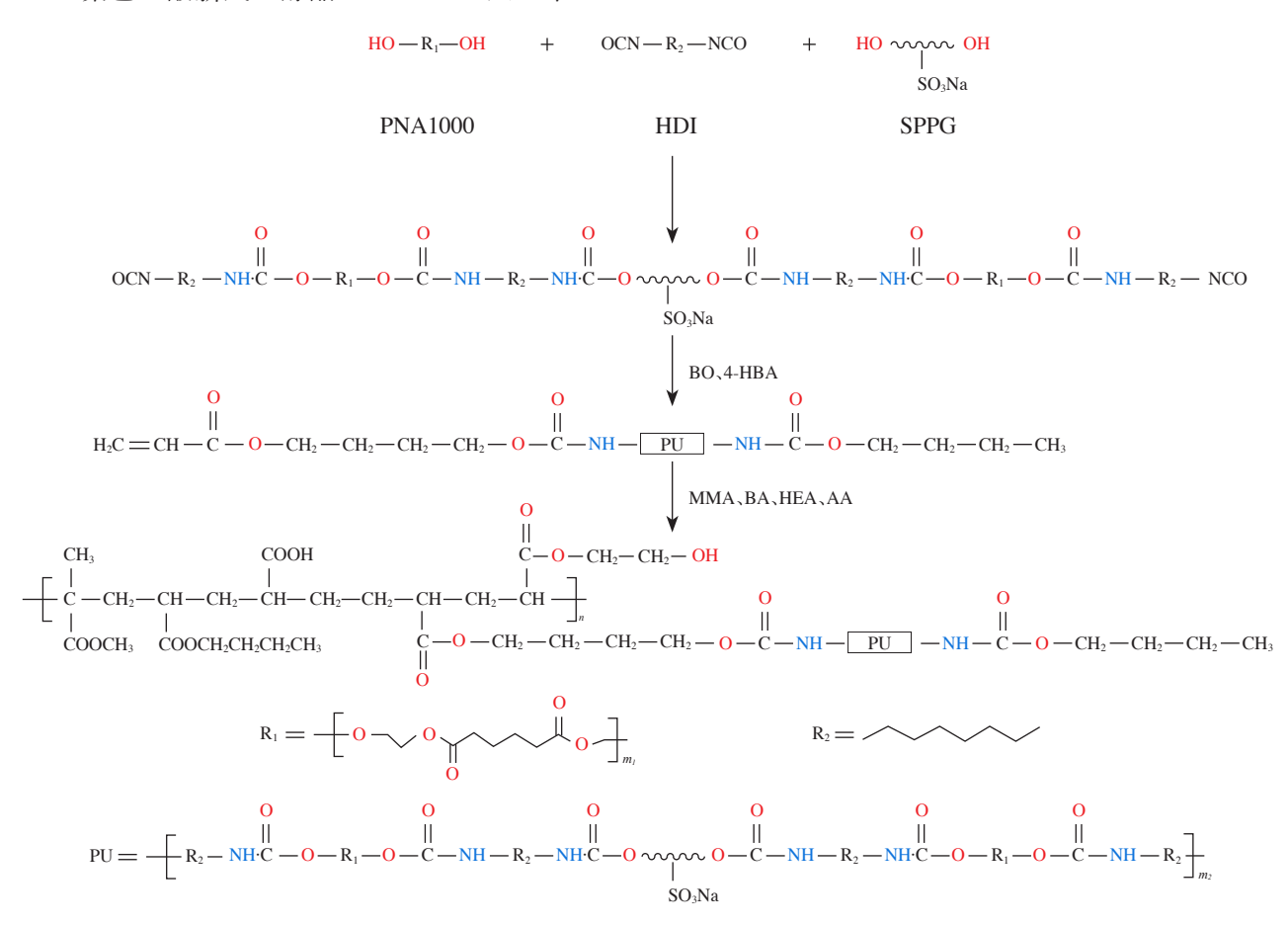


图1 羟基聚氨酯丙烯酸酯乳液合成机理

Fig. 1 Synthesis Mechanism of Hydroxyl Polyurethane Acrylate Emulsion

合成工艺如下:准确称取计量的PNA1000、HDI、 SPPG加入到装有温度计、回流冷凝管、电动搅拌器 的三口烧瓶中,85°C左右反应至—NCO含量达到理 论值(-NCO含量用二正丁胺滴定法测试),反应体

系降温65°C, 滴加计量的BO、4-HBA反应至—NCO 含量为零,加入混合单体(MMA、BA、HEA、AA)总量 的10%降低黏度,加水分散后得到乙烯基封端的聚氨 酯预聚体,向反应釜中加入部分APS缓慢升温至80 ℃ 并保温20 min。同时将剩余的混合单体、剩余的APS与SR-10和水一起高速搅拌30 min形成预乳化液。在4 h内将上述预乳化液均匀的滴加到烧瓶内,反应温度控制在80°C。滴完保温1h,料温降到50°C以下用氨水将pH值调至7~8,即得固含量40%,黏度50~500 mPa·s,羟基含量(1.0%)的羟基聚氨酯丙烯酸酯乳液。

1.3 双组分亚光木器清漆的制备

双组分亚光木器清漆的基础配方如表1所示。

表1 双组分亚光木器清漆配方

Table 1 Formula of Two-component Matte Wood Varnish

Table 1 Formula	a of Two-component Matte woo	u vai iiisii
组分	原料	w/%
	羟基聚氨酯丙烯酸酯乳液	70
	消泡剂	0.3
	中和剂	0.2
	润湿剂	0.5
	流平剂	0.2
组分A:清漆	成膜助剂DPM	2
	成膜助剂DPnB	2
	消光粉	1
	增稠剂	0.5
	去离子水	23.3
	合计	100
组分B:水性	DB82655	80
异氰酸酯	PMA	20
固化剂	合计	100

亚光清漆的制备: 按表1中计重依次将羟基聚氨酯丙烯酸酯乳液、消泡剂、中和剂加入容器中,中高速搅拌20 min后,然后依次加入润湿剂、流平剂、成膜助剂、消光粉继续搅拌20 min,最后加入增稠剂和去离子水调节黏度,继续搅拌10 min后过滤出料。用PMA将DB82655稀释到80%固含量,备用。

样板制备:将组分A清漆与组分B水性异氰酸酯固化剂按照n(-NCO): n(-OH)=1.2:1比例混合均匀,然后在桃木板上制板,室温养护fd。

1.4 性能测试

1.4.1 干燥时间

涂膜干燥时间按GB/T 1728—2020《漆膜、腻子膜干燥时间测定法》提供的方法测试。

1.4.2 铅笔硬度

涂膜铅笔硬度按GB/T 6739—2006《色漆和清漆铅笔法测定漆膜硬度》提供的方法测试。

1.4.3 光 泽

涂膜光泽按GB/T 9754—2007《色漆和清漆 不含金属颜料的色漆漆膜的20°、60°和85°镜面光泽的

测定》提供的方法测试。

1.4.4 附着力

涂膜附着力按GB/T 9286—1998《色漆和清漆漆膜的划格试验》提供的方法测试。

1.4.5 耐水性

涂膜耐水性按GB/T 1733—1993《漆膜耐水性测定法》提供的方法测试。

1.4.6 耐介质性

涂膜的耐醇性、耐酸性、耐碱性按GB/T 1763—1979《漆膜耐化学试剂性测定法》提供的方法测试。

1.4.7 抗黏连性

涂膜在 $50\sim60$ °C条件下干燥0.5 h,涂膜抗黏连性按GB/T 23982—2009《木器涂料抗黏连性测定法》提供的方法测试,根据黏连情况进行评分,5分表示最好,1分表示最差。

1.4.8 打磨性

涂膜在50~60 ℃条件下干燥0.5 h,然后用400目砂纸来回打磨20次,观察出粉及粘砂纸情况。

1.4.9 亚光涂料通透性

将亚光清漆刮涂在透明玻璃板上,控制湿膜厚度 为100 μm,干燥后对比通透性,5分表示最好,1分表 示最差。

2 结果与讨论

2.1 封端单体对乳液稳定性及性能的影响

聚氨酯预聚体要能与丙烯酸单体共聚,必须要在分子链上引入乙烯基,为了避免共聚反应难以控制导致凝胶,最好是在聚氨酯预聚体分子链的一端引入单乙烯基,因此需要对封端单体进行筛选。表2和表3分别研究了不同类型封端单体对乳液聚合稳定性及性能的影响。

表2 封端单体对聚合稳定性的影响

Table 2 Effect of Capping Monomer on Polymerization Stability

封端单体种类	ВО	4-HBA	HEA	BO+ 4-HBA	BO+ HEA
w(凝聚物)/%	< 0.1	>10	>10	< 0.3	< 0.3

从表2中可以看出,当封端单体全用BO时,聚氨酯分子链两端没有可参与聚合反应的乙烯基,此时聚氨酯预聚体没有反应性,在后面的聚合过程中充当大分子乳化剂的角色,聚合过程较稳定。当封端单体全用4-HBA或HEA时,此时聚氨酯预聚体两端都含有乙烯基,会导致聚合过程中产生交联产物,导致稳定性变差,会有较多的不溶物析出。当封端单体采用BO与4-HBA或HEA的组合物时,此时聚氨酯预聚体中的双

表3 封端单体对乳液性能的影响

Table 3 Effect of Capping Monomer on Emulsion Properties

封端单体种类	ВО	BO+4-HBA	BO+HEA
乳液外观	半透明,蓝光明显	半透明,蓝光明显	半透明,蓝光明显
铅笔硬度	F	Н	$F{\sim}H$
光泽/%	55	28	38
打磨性	不易打磨,粘砂纸	易打磨,不粘砂纸	易打磨,轻微粘砂纸
抗黏连性/级	2	5	4
耐水性(24 h)	发白,不可恢复	无异常	轻微发白,可恢复
耐醇性(50%,1h)	严重发白,不可恢复	无异常	发白,可恢复

注: n(-OH): n(-NCO)=1.1:1, n(BO): n(4-HBA)=0.8:1, n(BO): n(HEA)=0.8:1.

乙烯基封端产物含量较低,聚合过程也较稳定。因此 封端单体采用BO、BO+4-HBA或BO+HEA时聚合稳 定性好。

从表3中可以看到,虽然封端单体采用BO、BO+4-HBA或BO+HEA时都可以稳定地合成乳液,但当封端单体全用BO时,聚氨酯不参与聚合反应,也没有可与异氰酸酯固化剂反应的羟基,在涂膜中会以线型分子链形式存在,因此涂膜综合性能较差。封端单体采用BO与4-HBA的组合物比BO与HEA的组合物性能要更好,这可能是因为4-HBA中的羟基活性更高,更容易参与封端反应,封端产物中单乙烯基封端的产物占比更高,也更易与丙烯酸单体共聚,因此涂膜表现出更好的综合性能。因此封端单体采用BO

与4-HBA的组合物,且BO与4-HBA的物质的量比为 0.8:1,羟基相较异氰酸酯基过量10%(质量分数)时,聚合反应稳定,涂膜性能优异。

2.2 聚氨酯用量占比对乳液稳定性及性能的影响

乙烯基封端的聚氨酯预聚体可以看作是一个大分子的聚合单体,其用量会一定程度影响聚合反应的稳定性,并且会对最终涂膜的性能带来影响。表4、表5研究了聚氨酯质量分数对乳液稳定性及性能的影响。

表4 聚氨酯质量分数对聚合稳定性的影响 Table 4 Effect of Polyurethane Weight Ratio on Polymerization Stability

w(聚氨酯)/%	10	20	30	40	50
w(凝聚物)/%	< 0.1	< 0.2	< 0.5	>5	>10

表5 聚氨酯用量占比对乳液性能的影响

Table 5 Effect of Polyurethane Weight Ratio on Emulsion Properties

w(聚氨酯)/%	10	20	30
乳液外观	半透明,蓝光明显	半透明,蓝光明显	半透明,蓝光明显
铅笔硬度	F	Н	Н
光泽/%	55	36	28
打磨性	易打磨,轻微粘砂纸	易打磨,不粘砂纸	易打磨,不粘砂纸
抗黏连性/级	3	4	5
耐水性(24 h)	轻微发白,可恢复	无异常	无异常
耐醇性(50%,1h)	轻微发白,可恢复	无异常	无异常

从表4中可以看出,随着聚氨酯用量的增加,凝聚物也在不断增加,聚合过程逐步变得不稳定,这可能是因为聚氨酯预聚体中除了单边乙烯基封端的预聚体还有部分的双乙烯封端的预聚体。当聚氨酯预聚体用量过多时,会有较多的双乙烯基封端的预聚体参与聚合反应,内交联产物过多,导致聚合不稳定,较多凝聚物析出。因此当聚氨酯预聚体质量分数≤30%时聚合较稳定。

从表5中可以看出,随着聚氨酯用量的增加,涂膜性能是不断提高的,特别是涂膜的打磨性和抗黏连性。这可能是因为聚氨酯分子链中同时含有硬段与软

段^[8],不会出现丙烯酸聚合物存在的"热黏冷脆"的现象,聚氨酯质量分数的增加能明显改善最终涂膜的热黏冷脆问题,因此打磨性和抗黏连性提升显著。此外随着聚氨酯用量的增加,消光性也明显提高,这可能是由于当聚合物中聚氨酯质量分数增加时,聚氨酯与丙烯酸酯两种树脂之间会产生明显的相分离,导致涂膜光泽降低,更容易消光。因此当聚氨酯质量分数为30%时,能同时兼顾聚合稳定性和优异的性能。

2.3 羟基含量对乳液稳定性及性能的影响

羟基聚氨酯丙烯酸酯乳液的羟基主要由羟基丙 烯酸单体引入,而羟基丙烯酸单体一般都是亲水性单 中国涂料 第39卷 2024年第06期

体,其用量会对聚合反应的稳定性带来影响。而羟基 作为交联基团,其用量会影响交联密度,对涂膜的性 能带来影响。表6、表7研究了羟基含量对聚合稳定性 及乳液性能的影响。

表6 羟基含量对聚合稳定性的影响 Table 6 Effect of Hydroxyl Content on Polymerization Stability

w(羟基)/%	0	1	2	3	4
w(凝聚物)/%	< 0.1	< 0.1	< 0.3	>1	>5

表7 羟基含量对乳液性能的影响

Table 7	Effect of Hy	droxyl	Content on	Emulsion	Properties
I abic /	Lince of in	ULUAYI	Content on	Lilluision	I I Upti uto

w(羟基)/%	0	0.5	1	1.5	2
乳液外观	半透明,蓝光明显	半透明,蓝光明显	半透明,蓝光明显	半透明,蓝光明显	半透明,蓝光明显
铅笔硬度	НВ	F	Н	$H{\sim}2H$	2H
光泽/%	29	30	28	32	40
附着力(三聚氰胺板)/级	2	1~2	1	1~2	3
打磨性	易打磨, 轻微粘砂纸	易打磨, 不粘砂纸	易打磨, 不粘砂纸	易打磨, 不粘砂纸	易打磨, 轻微粘砂纸
抗黏连性/级	1	4	5	5	4
耐水性(24 h)	发白,不可恢复	轻微发白,可恢复	无异常	无异常	无异常
耐醇性(50%,1h)	发白,不可恢复	发白,不可恢复	无异常	无异常	无异常

从表6中可以看到, 当羟基含量大干2%(质量分 数,后同)时,凝聚物显著增加,这可能是因为本实验 中采用的羟基单体HEA具有强亲水性。当其用量过多 时混合单体的亲水性也变强,导致预乳化困难,乳化 剂保护能力减弱,单体容易在水相自聚产生凝聚物。 因此为了使聚合反应稳定,羟基含量应该≤2%。

从表7中可以看出, 当羟基含量为0时, 该乳液为 单组分的聚氨酯丙烯酸酯乳液,由于缺乏可供交联反 应的羟基,分子链没有交联或仅有轻微交联,因此整 体性能较差。当羟基含量增加时,涂膜硬度、耐水性、 耐醇性是不断增加的,但涂膜的打磨性和抗黏连性是 先提升后又轻微下降。这可能是因为当羟基含量增 加时,使用的异氰酸酯固化剂用量也会相应增加,会 导致涂膜的表干时间延长,从而影响打磨性和抗黏连 性,此外涂膜的消光性和三聚氰胺板附着力也是呈现 先上升后下降的趋势。这可能是因为羟基含量高,涂 膜的交联密度也高,消光粉被包裹导致消光性变差, 高的交联密度也会使涂膜内聚力过大,使其在三聚氰 胺板上附着力变差。另外固化剂用量的增加会导致使 用成本显著上升,综合考虑性能和成本,羟基含量设 计为1%较合适。

双组分亚光木器清漆的配制及性能测试

将自制的羟基聚氨酯丙烯酸酯乳液配制双组分 亚光木器清漆, 按n(-NCO)/n(-OH)=1.2/1的比例 添加固化剂,并与市售低羟基含量的羟基丙烯酸乳液 对比各项性能。实验结果如图2、图3、表8所示。

从图2、图3、表8可知,自制的羟基聚氨酯丙烯酸



图2 三聚氰胺板附着力 Fig. 2 Adhesion on Melamine Boards

图3 亚光清漆通透性

Fig. 3 Film Permeability of Matte Varnish

酯乳液配制的双组分亚光木器清漆,虽然羟基含量比 市售的1.6%羟基含量的羟基丙烯酸要低,但其硬度、 耐水性、耐醇性、耐酸碱性等性能也基本能达到市售 羟基丙烯酸乳液的水平。另外羟基聚氨酯丙烯酸酯乳 液在打磨性、抗黏连性要优于市售羟基丙烯酸乳液, 这得益于聚氨酯组分改善了丙烯酸组分热黏冷脆的 问题,此外较少的固化剂用量也提升了干速。特别是, 羟基聚氨酯丙烯酸酯乳液在涂膜通透性和附着力等

表8 水性双组分亚光木器清漆测试结果

Table 8 Test Results of Waterborne Two-component Matte Wood Varnish

测试项目 涂膜外观 表干时间/min 实干时间/h 铅笔硬度 桃木板 附着力/级 溶剂型 三聚氰 光泽/% 通透性/级 打磨性 抗黏连性/级 耐醇性(50%,1h) 耐水性(24h)	乳液(羟 光) : : : : : : : : : : : : : : : : : :		書羟基丙烯酸乳液1 (羟基含量1.6%) 光滑平整 22 6 F 0	市售羟基丙烯酸乳液2 (羟基含量1.6%) 光滑平整 18 5 H 0
表干时间/min 实干时间/h 铅笔硬度 桃木板 附着力/级 溶剂型 三聚氰 光泽/% 通透性/级 打磨性 抗黏连性/级 耐醇性(50%,1h)	PU底	15 4 H 0	22 6 F	18 5 H 0
实干时间/h 铅笔硬度 桃木板 附着力/级 溶剂型 三聚氰 光泽/% 通透性/级 打磨性 抗黏连性/级 耐醇性(50%,1h)	PU底	4 H 0	6 F	5 H 0
铅笔硬度 桃木板 附着力/级 溶剂型 三聚氰 光泽/% 通透性/级 打磨性 抗黏连性/级 耐醇性(50%,1h)	PU底	H 0	F	H 0
桃木板 溶剂型 三聚氰 光泽/% 通透性/级 打磨性 抗黏连性/级 耐醇性(50%,1h)	PU底	0		0
附着力/级 溶剂型 三聚氰 光泽/% 通透性/级 打磨性 抗黏连性/级 耐醇性(50%,1h)	PU底	_	0 1	G
三聚氰 光泽/% 通透性/级 打磨性 抗黏连性/级 耐醇性(50%,1 h)		0	1	1. 2
光泽/% 通透性/级 打磨性 抗黏连性/级 耐醇性(50%,1h)	胺板			$1\sim 2$
通透性/级 打磨性 抗黏连性/级 耐醇性(50%,1h)		1	2~3	5
打磨性 抗黏连性/级 耐醇性(50%,1 h)		28	32	30
抗黏连性/级 耐醇性(50%,1 h)		5	4	3
耐醇性(50%,1 h)	易打磨	,不粘砂纸 易	打磨,轻微粘砂纸	易打磨,不粘砂纸
		5	3	4
而 か か (24 b)	无	异常	无异常	无异常
III 八生(24 II)	无	异常	无异常	无异常
耐沸水(1h)	无	异常	无异常	无异常
耐醇性(50%,1h)	无	异常	无异常	无异常
耐酸性(5%醋酸溶液,	24 h) 无	异常	无异常	无异常
耐碱性(5%NaHCO3溶	液,24 h) 无	异常	无异常	无异常
贮存稳定性(50°C,7 d	1) 无	异常	无异常	无异常

注:通过调整消光粉用量将亚光清漆的光泽控制在30%左右。

方面也要明显优于市售的羟基丙烯酸乳液,这是因为 聚氨酯组分具有更好的润湿性、柔韧性。羟基聚氨酯 丙烯酸酯乳液的上述特点能满足多基材、高施工效率 的应用需求。

4 结 语

- (1)通过结构设计,制备了一种羟基含量为1.0% (基于固含量)、固含量为40%的羟基聚氨酯丙烯酸酯 乳液。
- (2)研究了封端单体种类、聚氨酯质量分数、羟基含量对乳液稳定性和性能的影响。结果表明,当采用BO和4-HBA作为封端单体,聚氨酯质量分数为30%,羟基含量为1%时,合成过程稳定,性能和成本达到最优。
- (3)自制的羟基聚氨酯丙烯酸酯乳液,在打磨性、抗黏连性、附着力和通透性等方面要明显优于市售的 羟基丙烯酸乳液,可以满足多基材、高施工效率的应 用需求。
- (4)本文初步研究了封端单体种类、聚氨酯质量 分数、羟基含量对羟基聚氨酯丙烯酸酯乳液的影响, 后续还可以进一步研究聚氨酯组分中多元醇、二异氰 酸酯种类的影响,丙烯酸组分中羟基单体种类、乳化

剂种类和用量的影响,制备出性能更优异的羟基聚氨 酯丙烯酸酯乳液。

参考文献

- [1] 于长江.实木家具水性涂料环保涂装的解决方案[J].中 国涂料.2022.37(8):59-63
- [2] 曹同玉.聚合物乳液合成原理性能及应用[M].2版.北京: 化学工业出版社,2007
- [3] 魏珺谊,丁泽强,黄学敏.水性聚氨酯木器漆的研究现状 [J].山西化工,2023,43(10):23-25
- [4] 曾国屏,董清龙,刘德旺,等.水性聚氨酯/丙烯酸树脂合成及改性技术的研究进展[J].化工新型材料,2021,49(12): 12-15,26
- [5] 陈士杰,宗建成.聚丙烯酸酯改性水性聚氨酯的制备及性能[J].化学推进剂与高分子材料,2015,13(4):71-74
- [6] 于贤保.水性聚氨酯-丙烯酸酯的制备及涂膜性能[J].广 东化工,2020,47(4):71-73,20
- [7] 朱乐平,李明明,邓剑如.水性聚氨酯/丙烯酸酯复合乳液 的制备及性能研究[J].中国涂料,2022,37(9):15-21
- [8] 彭军,董任峰,赖培旭,等.水性聚氨酯的合成制备及改性 技术研究[J].广东化工,2023,50(3):24-26

一种快干抗黏连水性单组分清漆的 研制与应用

许伟东,杨泽生,罗新强,卢永福 (三棵树涂料股份有限公司,福建莆田 351100)

摘 要:主要介绍了通过对乳胶/乳液、成膜助剂、抗黏助剂的筛选、配方优化调整,制备出一款满足干燥要求高、抗黏性要求佳、涂 覆于家具表面各项性能优异要求的快干抗黏连水性单组分清底漆,并对影响因素做了研究。

关键词:水性单组分;干燥性;抗黏连

中图分类号: TQ630.7

文献标识码:A

文章编号: 1006-2556(2024)06-0044-05

DOI:10.13531/j.cnki.china.coatings.2024.06.008

Development and Application of a Fast-drying Anti-sticking Waterborne Single-component Varnish

XU Wei-dong, YANG Ze-sheng, LUO Xin-qiang, LU Yong-fu (SKSHU Paint Co., Ltd., Putian 351100, Fujian, China)

Abstract: This paper mainly introduces the preparation of a fast-drying anti-sticking, waterborne single-component clear primer that meets the requirements of fast drying, excellent anti-sticking performance and superior performance on furniture surfaces by screening latex and emulsions, film-forming additives and anti-sticking additives and optimizing the formula, and studies the influencing factors.

Key words: waterborne single-component, dryness, anti-sticking

前

近年来,随着我国环保相关法规完善以及消费者 环保意识的增强,涂料市场趋向于更加健康化、安全 化。在此背景下,无论是政策向导还是消费声音都鼓 励企业淘汰污染严重的传统溶剂型涂料,改用环境友 好的水性涂料等。2024年年初,江西赣州南康区政府 印发了关于《赣州市南康区家具喷涂企业VOCs整治 攻坚行动实施方案》,方案要求推动源头、替代"水性 化"一批,溶剂型涂料喷涂规范整治一批,喷涂转型升 级一批的总体思路分类精准施策,将极大推动水性化 讲程。

随着涂料水性化工作的深入,水性木器涂料的施 工效率的缺陷比较突出,制约着水性木器涂料的发 展。由于水性木器涂料是以水作为分散介质,在干燥 过程中挥发偏慢,影响施工效率,为此,通常采用烘干 设备在短时间强制干燥后堆叠,以加快工厂的生产效 率及场地空间利用率,但这对水性涂料的干燥速度、 成膜性、热叠压抗黏性提出了更高的要求。

收稿日期: 2024-05-16

作者简介: 许伟东(1990-), 男, 广东韶关人。工程师, 主要从事水性木器涂料的研发及实际应用方面的工作。

本文针对以上要求,研制了一款快干抗黏连水性 单组分清漆并产品干燥速度、成膜性、热叠压抗黏性 相关的研究。

1 实验部分

1.1 主要实验原料及设备

1.1.1 实验主要原材料

主要成膜物: 丙烯酸乳胶A、丙烯酸乳胶B、丙烯酸乳胶C、聚氨酯乳液D、聚氨酯乳液E, 花果山、万华、帝斯曼。

助剂:pH值调节剂、消泡剂A、消泡剂B、基材润湿剂、硬质酸锌浆、增稠剂、杀菌剂,赢创、毕克、巴斯夫。

溶剂:二丙二醇丁醚DPNB、二丙二醇甲醚DPM、二乙二醇丁醚DBG、乙二醇丁醚BCS、醇酯十二(texanol),陶氏。

几种乳胶及乳液的基本典型数据如表1所示。

表1 几种乳胶及乳液的基本典型数据

Table 1 Basic Typical Data of Several Latex and Emulsions

乳胶/乳液类型	固含量/%	pH值	T _g /°C
丙烯酸乳胶A	40 ± 1	7.5	42
丙烯酸乳胶B	40 ± 1	$7.5 \sim 8.5$	25~30
丙烯酸乳胶C	40 ± 1	$7.0 \sim 9.0$	60
丙烯酸-聚氨酯乳液D	40 ± 1	$7\sim9$	30
聚氨酯乳液E	40 ± 1	7.3	50

1.1.2 主要实验仪器设备

高速分散机、刮板细度计,上海现代;KU黏度计,标格达;电热恒温干燥烘箱,上海跃进;光泽仪,BYK;平面输送红外线固化炉,博硕;pH值计、秒表、W77手持式喷枪、湿膜制备器、电子天平,市售。

1.2 快干抗黏连水性单组分清底漆样板制备及抗黏 连性检测方法

样板制作工艺: 科技木白胚→水性封闭底漆→待干4 h打磨→快干抗黏连水性单组分清底漆。

喷涂完快干抗黏连水性单组分清底漆样板马上进入红外线固化炉烘干(50°C、25 min),然后下线热堆叠,12 h后观察抗黏连效果,如图1所示。

1.3 快干抗黏连水性单组分清底漆抗黏连性评价标准(见表2)

2 结果与讨论

2.1 不同乳胶/乳液对涂膜整体干燥及抗黏效果影响 的讨论

乳胶/乳液作为水性涂料的主要成膜物质,因其在整个配方中占60%~80%(质量分数,后同),所以乳胶/乳液的性能基本决定了整个涂料配方的性能表现。选



图1 12 h后抗黏连效果 Fig. 1 Anti-sticking Effect after 12 h

表2 抗黏连性分级评定表

Table 2 Anti-sticking Performance Rating Table

8	
等级	说明
A: 自由下落分离	0—无损坏
B:轻松敲打后分离	1—损坏面<1%
C: 施加轻松拉力后分离	2—损坏面1%~5%
D:施加中等拉力后分离	3—损坏面6%~20%
E: 施加极大拉力后分离	4—损坏面21%~50%
F: 使用工具才能分离	5—损坏面>50%

择对粉料包裹性好、耐水耐湿烫性能好的乳液作为配方主体材料,是开发此款产品的关键。乳液筛选实验基础配方如表3所示。

从表4实验结果显示: 配方1~3为单纯的丙烯酸乳胶, T_s越高其快速热叠压抗黏性、打磨性、干燥性能越好, 但T_s高对涂膜的柔韧性、冷热循环防开裂性能都有较大的损失; 配方4~5为聚氨酯改性乳液或聚氨酯乳液, 其具有优异的低温成膜性、柔韧性, 特别是在溶剂释放性上有优异的效果, 涂膜25 min热叠压抗黏连效果均能通过。综合考虑到成本以及平衡开发该产品的各项性能, 通过采用丙烯酸乳胶A和聚氨酯丙烯酸乳液D按质量3:2混拼的方案作为快干抗黏连水性单组分清底漆的主要成膜物。

2.2 成膜助剂对涂膜整体干燥效果及热叠压抗黏连 性影响的讨论

成膜助剂顾名思义就是帮助主体成膜物质成膜的溶剂。因此成膜物质直接决定着聚合物乳胶粒子聚结成完整连续成膜的程度,还在一定程度上影响着涂膜的干燥速度¹¹。涂膜成膜程度和干燥速度快慢,对涂膜的成膜效果、快速热压抗黏连性等起着至关重要的作用,因此本文将通过不同成膜助剂成膜性能测试,筛选出成膜效果好、不影响干燥速度及热叠压抗黏连性能的成膜助剂。

表3 快干抗黏连水性单组分清底漆乳胶/乳液筛选 基础配方

Table 3 Basic Formula for Fast-drying Anti-sticking Waterborne Single-component Clear Primer Latex and **Emulsion Screening**

	Screen			
		w/%		
配方1	配方2	配方3	配方4	配方5
80	_	_	_	_
_	80	_	_	_
_	_	80	_	_
_	_	_	80	_
_	_	_	_	80
0.2	0.2	0.2	0.2	0.2
0.3	0.3	0.3	0.3	0.3
0.2	0.2	0.2	0.2	0.2
0.3	0.3	0.3	0.3	0.3
0.3	0.3	0.3	0.3	0.3
0.1	0.1	0.1	0.1	0.1
3	3	4	3	3
3	3	4	3	3
5	5	5	5	5
3	3	3	3	3
0.5	0.5	0.5	0.5	0.5
4.1	4.1	2.1	4.1	4.1
100	100	100	100	100
	80 — — — — — — — — — — — — — — — — — — —	80 — — 80 — — — — 0.2 0.2 0.3 0.3 0.2 0.2 0.3 0.3 0.1 0.1 3 3 5 5 3 3 0.5 0.5 4.1 4.1	 配方1 配方2 配方3 80 80 - 80 80 - 80 - 80 - 80 0.2 0.2 0.2 0.3 0.3 0.3 0.2 0.2 0.2 0.3 0.3 0.3 0.3 0.3 0.3 0.4 0.1 0.1 3 3 4 3 3 4 5 5 5 3 3 3 0.5 0.5 0.5 4.1 4.1 2.1 	 配方1 配方2 配方3 配方4 80 80 80 - - 80 - 80 - - 80 - 80 - 9 - 80 - 9 - 9 - 0.2 0.2 0.2 0.2 0.2 0.2 0.2 0.2 0.2 0.2

依据表5中几种成膜助剂的基础数据以及考虑到 开发该产品的环境友好性、气味、干燥性能等因素,优 选DPM、DBG、DPNB 3种成膜助剂作为此次筛选搭配 测试的成膜助剂。表5是几种常用成膜助剂的基本典 型数据,表6为快干抗黏连水性单组分清底漆不同成 膜助剂搭配筛选基础配方。

由表7实验结果可见,亲水且挥发速度慢的成膜 助剂DB对水性单组分清底漆的成膜性、干燥性、热压 抗黏连性能有较大的影响,且用量越大越明显。同理 慢干的疏水性成膜助剂DPNB亦是用量越大,挥发越 慢,影响涂膜干燥进而影响到涂膜的热叠压抗黏连性 能,故选用成膜助剂较为均衡的配方1方案作为快干 抗黏连水性单组分清底漆的主要成膜助剂。

2.3 不同抗黏助剂对涂膜快速热叠压抗黏性影响的

抗黏助剂的作用机理主要是因为抗黏连助剂与 乳液不相容且熔点较高,涂膜干燥时会迁移到涂膜表 面,有效阻隔了涂膜间的相互接触,从而达到抗黏连 的目的。本文通过对不同的抗黏助剂进行性能比较测 试,以筛选出抗黏效果好、没有副作用的抗黏助剂解 决方案。

采用表8基础配方进行抗黏助剂的筛选测试,其 中抗黏助剂A为有机高密度蜡乳液,翁开尔;抗黏助剂 B为小分子有机硅助剂,毕克;抗黏助剂C为高分子有

表4 乳胶/乳液筛选性能测试结果

Table 4 Latex and Emulsion Screening Performance Test Results

检测性能指标	配方1	配方2	配方3	配方4	配方5	检测标准
细度/μm	€30	€30	€30	€30	€30	GB/T 1724
涂膜表面效果	良好	良好	良好	良好	良好	目视
硬度(擦伤)	В	2B	НВ	HB	HB	GB/T 6739
丰满度	良	良	良	优	优	目视
冷热循环	无异常	无异常	有开裂趋势	无异常	无异常	GB/T 4893.1—2005
涂膜柔韧性	4	4	2	5	4	目视
干燥性	4	3	5	5	5	GB/T 1728—1979
打磨性	4	4	5	5	5	目视
热叠抗黏连性(50°C、25 min)	MM:B-3	MM:D-4	MM:B-2	MM:A-0	MM:A-0	HG/T 3828—2006

注:评分1~5分,1为最差,5为最好。

表5 几种常用成膜助剂的基本典型数据

Table 5 Basic Typical Data of Several Commonly Used Film-forming Additives

成膜助剂类型	乙二醇丁醚 BCS	二乙二醇丁醚 DBG	二丙二醇甲醚 DPM	丙二醇单丁醚 PNB	二丙二醇丁醚 DPNB	醇酯十二 Texanol
沸点/℃	170.2	230.4	190	171.1	228	245
相对挥发速度 (乙酸丁酯=100)	7.9	0.4	3.5	9.3	0.6	0.13
水中溶解度/%	∞	∞	∞	5.5	4.5	0
气味	较大	小	小	较大	小	较大
毒性	有一定毒性	微毒类	低毒类	低毒类	低毒类	低毒类

表6 快干抗黏连水性单组分清底漆不同成膜助剂搭配 筛选基础配方

Table 6 Basic Formula for Fast-drying Anti-sticking
Waterborne Single-component Clear Primer Film-forming
Additive Matching and Screening

原材料	w/%			
<i>床竹</i> 村	配方1	配方2	配方3	配方4
基础漆主剂(不含溶剂)	94	94	94	94
二乙二醇丁醚DBG	_	2	4	_
二丙二醇丁醚DPNB	2	_	_	4
二丙二醇甲醚DPM	4	4	2	2
合计	100	100	100	100

表7 成膜助剂搭配筛选测试结果

Table 7 Film-forming Additive Matching and Screening
Test Results

测试性能	配方1	配方2	配方3	配方4
表面效果	良好	成膜稍 差	良好	良好
硬度(擦伤)	НВ	HB	B-HB	НВ
干燥速度 (表干、实干)	干燥 速度快	干燥 速度快	干燥 速度慢	干燥速 度较慢
热叠抗黏连性 (50°C、25 min)	MM:A-0	MM:B-0	MM:B-2	MM:B-1

机硅助剂,迪高。

表8 快干抗黏连水性单组分清底漆不同抗黏助剂筛选 基础配方

Table 8 Basic Formula for Fast-drying Anti-sticking
Waterborne Single-component Clear Primer Anti-sticking
Additive Screening

Traditive Servening					
五十十八	w/%				
原材料	配方A	配方B	配方C	配方D	
丙烯酸乳胶A	60	60	60	60	
丙烯酸-聚氨酯乳液D	20	20	20	20	
pH值调节剂	0.2	0.2	0.2	0.2	
消泡剂	0.3	0.3	0.3	0.3	
抗黏助剂A	3	_	_	3	
抗黏助剂B	_	0.3	_	0.4	
抗黏助剂C	_	_	0.3	_	
润湿剂	0.3	0.3	0.3	0.3	
成膜助剂	5	5	5	5	
去离子水	10.8	13.5	13.5	10.4	
增稠剂	0.4	0.4	0.4	0.4	
合计	100	100	100	100	

由表9实验结果可见: 配方3采用抗黏助剂C为高分子有机硅助剂, 其在干燥的过程中富集在涂膜表

面,因分子量过大、支链较多,能有效阻隔涂膜的直接接触,从而提高涂膜的热叠压抗黏连性能,但分子量过大也导致了其一定程度上影响了涂膜的透明度;配方1和2因为采用的都是粒径较细、分子量较小、相容性好的抗黏助剂,对涂膜的透明性和重涂附着力就没太大影响,但热叠压抗黏连效果稍差;配方4采用抗黏助剂A和抗黏助剂B复配的方式来提高涂膜的抗黏连性能,同时不降低涂膜的透明性和重涂附着力性能,如结果所示,其透明度好,重涂附着力0级,快速热叠压抗黏连性能通过,明显比单一材料好,所以采用配方4作为快干抗黏连水性单组分清底漆的抗黏助剂解决方案。其应用实物图如图2所示。

表9 不同抗黏助剂的筛选测试结果

Table 9 Anti-sticking Additive Screening Test Results

测试性能	配方1	配方2	配方3	配方4
涂膜透明性	透明 度好	透明 度好	透明 度稍差	透明 度好
附着力 (划格间距2 mm)/级	0	0	0	0
重涂附着力 (划格间距2 mm)/级	0	0	1	0
热叠压抗黏连性 (50°C、25 min)	MM: B-0	MM: B-0	MM: A-0	MM: A-0



图2 快干抗黏连水性单组分清底漆应用实物图 Fig. 2 Real Application of Fast-drying Anti-sticking Waterborne Single-component Clear Primer

3 结 语

通过以上的实验分析可知,要想解决快干抗黏连 水性单组分清底漆在干燥性、抗黏连性等方面的诸多 问题,必须做好原材料的选择。

(1)鉴于所开发的水性单组分清底漆的快干、抗黏要求特性,应选择 T_g 高、干燥快、抗黏连性好的丙烯酸乳胶冷拼柔韧性好、溶剂释放性快、抗黏优异的丙烯酸–聚氨酯乳液,从而满足在干燥速度、涂膜成膜效果、柔韧性、快速热叠压抗黏连等性能要求。

(下转第61页)

一种水性丙烯酸改性醇酸钢结构涂料的 制备及探讨

张 鑫

(衡水新光新材料科技有限公司,河北衡水 053000)

摘 要:以水性丙烯酸改性醇酸树脂混拼水性丙烯酸乳胶为成膜物质,通过筛选颜填料、防锈料及其添加比例,制备出水性丙烯酸 改性醇酸钢结构涂料。结果表明,该涂料具有优异的初期耐雨水、耐盐水性,可通过168 h涂膜无起泡、脱落现象;硬度建立 快,自干1 d可达2B,自干7 d可达HB;防锈效果好,常温养护7 d,耐盐雾性可达到72 h,烘烤后亦可达到120 h以上;附着力 优异,可达1~0级,抗冲击亦可通过50 kg·cm涂膜无裂纹;且涂料成本低,满足市场需求。

关键词: 固含量; 低成本; 水性; 耐雨水; 丙烯酸改性醇酸; 钢结构

中图分类号: TQ630.7

文献标识码:A

文章编号: 1006-2556(2024)06-0048-06

DOI:10.13531/j.cnki.china.coatings.2024.06.009

Preparation and Discussion of a Waterborne Acrylic Modified Alkyd Steel Structure Coatings

ZHANG Xin

(Hengshui Xinguang New Material Technology Co., Ltd., Hengshui 053000, Hebei, China)

Abstract: Waterborne acrylic modified alkyd steel structure coatings were prepared by using waterborne acrylic modified alkyd resin mixed with waterborne acrylic latex as the film-forming material, through screening pigments, fillers, antirust materials and their addition ratios. The results show that the coatings have excellent initial resistance to rain and salt water and can last 168 hours without any blistering or peeling of the coatings. The hardness increases fast, and it can reach 2B after 1 day of self-drying and HB after 7 days of self-drying. The rust prevention effect is good. After curing at room temperature for 7 days, salt spray resistance can last for 72 hours, and can also reach more than 120 hours after baking. The excellent adhesion is up to level 1~0, the impact resistance can also reach 50 kg·cm without film cracks. The coatings' cost is low, meeting market demand.

Key words: solid content, low cost, waterborne, rain resistance, acrylic modified alkyd, steel structure

0 前 言

2016年1月1日起实施的被称为"史上最严"的《中华人民共和国大气污染防治法》,首次将挥发性有机化合物(VOC)纳入了监管范围,这为VOC治理提供了法律依据[1]。随着"绿水青山就是金山银山"这一理念的深入人心,以及人们对环境与健康的日益重视,使用环境友好型工业涂料已成为必然趋势。

目前钢结构行业的涂装基于其基材和需求性能 等因素,大部分已经替换为更环境友好的水性涂料, 但目前一些水性涂料还存在性能上的不足以及生产 成本偏高等问题,导致施工后淋雨起泡、返锈等,造成 严重的人力、物力、财力的损耗。基于以上不足,本文 设计并制备了一款水性丙烯酸改性醇酸钢结构涂料, 并以市面竞品为对比,同时针对不同辅料进行对比及

收稿日期:2023-12-25

作者简介:张鑫(1992-),男(汉族),河北衡水人。助理工程师,本科,主要从事水性工业涂料的研发及应用。

探讨。

本文制备的水性丙烯酸改性醇酸钢结构涂料,是以水性丙烯酸改性醇酸树脂混拼水性丙烯酸聚合物乳液为主要成膜物质,选用优质颜料和填料制备而成。其具有优异的机械性能、初期耐雨水性以及良好的防锈效果,故其特别适合应用于钢结构产品的涂装,同时也适用于各类钢材、铁件的涂装,亦满足涂料行业标准HG/T 4570—2013。

1 实验部分

1.1 实验原料

豆油酸,大明生物;三羟甲基丙烷,日本三菱;季戊四醇,安徽金禾;苯酐,石家庄白龙;苯甲酸,天津东大;顺酐,齐翔腾达化工;二甲苯,海力化工;丁基酸锡,源叶生物;乙二醇单丁醚,陶氏化学;以上产品均为工业级。

苯乙烯(St)、丙烯酸异辛酯(2-EHA)、甲基丙烯

酸(MAA),巴斯夫;甲基丙烯酸甲酯(MMA),齐鲁石化;甲基丙烯酸缩水甘油酯(GMA),杭州杰西卡化工;丙烯酸六氟丁酯,润丰石油化工;双丙酮丙烯酰胺,芬美化学;偶氮二异丁腈,天津大茂化学;过氧化苯甲酰,天津大茂化工;三乙胺,广宇化工;以上产品均为工业级。

水性丙烯酸改性醇酸树脂、水性丙烯酸乳胶,衡水新光;去离子水,自制;二甲基乙醇胺、三乙胺,昂凌新材料;分散剂,龙海化工;消泡剂,巴斯夫;触变剂,毕克;增稠剂1,上海田裕;增稠剂2,天津尚德信嘉;色粉(黑),天津浩菱化工;金红石型钛白粉,龙蟒钛业;防锈料,重庆江南化工;天然硫酸钡,江苏群鑫;1250目滑石粉、800目重钙,北京利国伟业;云母粉,滁州格锐矿业;乙二醇丁醚,南京古田化工;醇酯12,伊士曼;防闪锈剂、催干剂,上海田裕;以上产品均为工业级。

1.2 主要仪器设备

实验所需仪器如表1所示。

表1 实验仪器
Table 1 Experimental Instruments

	Table 1 Experimentar	instruments
仪器设备名称	规格型号	生产厂家
四口烧瓶	1 000 mL	常州市金坛新航仪器厂
球形冷凝管		_
搅拌器	30~2 000 r/min	IKA
自动控温电加热套	98-I-C	天津泰斯特
分水器		_
恒流泵	BT100-1	保定齐力恒流泵有限公司
高速分散机	BGD740/1	标格达精密仪器(广东)有限公司
电子天平	JJ2000B	常熟市双杰测试仪器厂
电动铅笔硬度计	BGD 507/2	标格达精密仪器(广东)有限公司
电热鼓风干燥箱	101-1A	北京中兴伟业仪器有限公司
附着力划格板	BGD503	标格达精密仪器(广东)有限公司
可程式盐雾腐蚀试验箱	BGD882/S	标格达精密仪器(广东)有限公司
斯托默黏度计	STM-V	上海现代环境工程技术股份有限公司
测厚仪	Qnix8500	标格达精密仪器(广东)有限公司

1.3 水性丙烯酸改性醇酸树脂的制备

丙烯酸改性醇酸树脂的制备方法一般有两种,一种是双键共聚法,在溶剂或引发剂存在下,丙烯酸类单体与醇酸树脂中的共轭双键按1,4或1,2加成进行共聚反应,生成Diels-Alder(狄尔斯-阿德尔)产物;另一种方法是酯化法,先制成相对分子质量较小的聚丙烯酸酯,他们含有的羟基、羧基、环氧基与醇酸树脂上的羧基或羟基进行酯化反应而进行改性^[2]。本文选用双键共聚法进行水性丙烯酸改性醇酸树脂的制备,利用自由基双键和共轭双键加成反应进行共聚,其反应机

理如下所示。

链引发:R* + MRM*

链增长:RM* + MRM2*MRM3*

链终止: $RM_x^* + RM_y^*RM_x + yR$

水性醇酸树脂和水性丙烯酸改性醇酸树脂参考 配方如表2、表3所示。

在1 000 mL四口烧瓶内按一定比例加入豆油酸、三羟甲基丙烷、季戊四醇、苯酐、苯甲酸、顺酐、丁基酸锡、二甲苯,并通氮气升温至165°C保温1.2 h,继续升温至175°C,然后每25 min升温10°C,直至235°C保

表2 水性醇酸树脂的基础参考配方

Table 2 Basic Reference Formula for Waterborne Alkyd Resin

序号	原料	w/%
1	豆油酸	35~42
2	三羟甲基丙烷	10~15
3	季戊四醇	6~8
4	苯酐	5~7
5	苯甲酸	13~20
6	顺酐	1~1.5
7	丁基酸锡	$0.2 {\sim} 0.7$
8	二甲苯	3~5
9	叔碳酸缩水甘油酯	$1.7{\sim}4.2$
10	乙二醇单丁醚	8~15
	合计	100

表3 水性丙烯酸改性醇酸树脂的参考配方 Table 3 Reference Formula for Waterborne Acrylic **Modified Alkyd Resin**

	-	
序号	原料	w/%
1	水性醇酸树脂	40~55
2	甲基丙烯酸	7∼15
3	苯乙烯	10~15
4	甲基丙烯酸甲酯	9~13
5	丙烯酸异辛酯	3~6
6	甲基丙烯酸缩水甘油酯	2~5
7	双丙酮丙烯酰胺	0.5~1
8	丙烯酸六氟丁酯	$0.65 \sim 1.2$
9	偶氮二异丁腈	适量
10	正十二烷基硫醇	适量
11	过氧化苯甲酰	适量
12	乙二醇单丁醚	20~30
13	三乙胺	适量
	合计	100

温。待酸值降至12~15 mg KOH/g后,降温至160°C, 加入叔碳酸缩水甘油酯,160°C继续保温1.5 h左右, 直至酸值降至5~8 mg KOH/g降温,降温至140°C加 入乙二醇单丁醚,90°C保温。

将甲基丙烯酸、苯乙烯、甲基丙烯酸甲酯、丙烯酸 异辛酯、甲基丙烯酸缩水甘油酯、双丙酮丙烯酰胺、丙 烯酸六氟丁酯、偶氮二异丁腈、正十二烷基硫醇混合 均匀,向反应釜内滴加,1.5~3 h内滴加完毕,继续保 温2.5 h;过氧化苯甲酰、乙二醇单丁醚混合均匀,待保 温完成后向反应釜内滴加,30 min左右滴加完成,并 从滴加开始计时保温1.2 h。保温完毕(测量酸值在35 mg KOH/g左右)加入三乙胺中和,搅拌均匀后制得水 性丙烯酸改性醇酸树脂。

1.4 水性丙烯酸改性醇酸树脂钢结构涂料的制备

水性丙烯酸改性醇酸钢结构涂料的配方如表4 所示。

表4 水性丙烯酸改性醇酸钢结构涂料参考配方 Table 4 Reference Formula for Waterborne Acrylic **Modified Alkyd Steel Structure Coatings**

序号	<u>1.</u> 7	原材料	w/%
	1	去离子水	14~19
	2	二甲基乙醇胺	0.05~0.25
	3	分散剂	0.3~0.6
	4	消泡剂	0.05~0.15
	5	色粉(黑)	$0.05{\sim}0.15$
A组分	6	钛白粉	1~2
A组分	7	天然硫酸钡	$12 \sim 15$
	8	1 250目滑石粉	3~7
	9	800目重钙	$16 \sim 22$
	10	云母粉	1~5
	11	防锈料	$0.3 \sim 1.0$
	12	触变剂3%	3~5
	13	水性丙烯酸改性醇酸树脂	$2\sim5$
	14	三乙胺	0.1~0.3
B组分	15	乙二醇丁醚	$0.1 \sim 0.4$
	16	催干剂	$0.1 \sim 0.35$
	17	去离子水	$6\sim9$
	18	水性丙烯酸乳胶	10~15
	19	去离子水	$4\sim9$
	20	二甲基乙醇胺	$0.1 \sim 0.23$
C组分	21	醇酯12	$0.03 {\sim} 0.5$
	22	防闪锈剂	$0.5 \sim 1$
	23	增稠剂1	$0.5 \sim 1$
	24	增稠剂2	0.5~1

水性丙烯酸改性醇酸钢结构涂料的制备步骤:

(1)将表4中原料1~4加入备料罐内,开启分散机 以300~400 r/min搅拌2~4 min至混合均匀,然后依次 加入5~12,期间将转速缓慢调整至700~900 r/min, 所有原料加完后以1 100~1 300 r/min的转速继续搅 拌25~35 min, 经研磨至细度≤30 μm, 得到前期水浆 A组分。

(2)另取一洁净调漆罐加入13~15,开启搅拌,以 400~6 000 r/min搅拌3~5 min至混合均匀,然后加入 16,继续搅拌5~10 min后加入原料17,所有原料加完 后以500~750 r/min的转速继续搅拌15~25 min,得到 树脂清漆B组分。

- (3)另取一洁净调漆罐加入原料18,开启搅拌,在350~600 r/min的搅拌速率下依次加入19~22,继续搅拌20~25 min,得到乳液清漆C组分。
- (4)另取一洁净调漆罐加入B组分,开启搅拌,在250~500 r/min的搅拌速率下按比例依次加入A组分和C组分,继续搅拌5~10 min后,按"少量多次"原则

加入23~24,至合格黏度,期间依据黏度高低调整搅拌速率至500~1 200 r/min,最终得到水性丙烯酸改性醇酸钢结构涂料。

1.5 水性丙烯酸改性醇酸钢结构涂料的性能检测

水性丙烯酸改性醇酸钢结构涂料的测试方法见 表5,本品与市面竞品对比数据见表6。

表5 水性丙烯酸改性醇酸钢结构涂料的测试方法

Table 5 Test Method for Waterborne Acrylic Modified Alkyd Steel Structural Coatings

	检测条件	目标值	测试方法
1位例4月日	<u> </u>	口沙坦	侧
铅笔硬度(擦伤)	中华101铅笔	≥2B	GB/T 6739—2006
附着力/级	_	≤1	GB/T 9286—1998
耐雨水性	24 h	不起泡、不脱落,允许轻微变色	参照GB/T 1733—1993耐水性检测
耐盐水性	96 h	不起泡、不生锈、允许轻微变色	参照GB/T 9274—1988中5.4
耐冲击性/(kg·cm)	_	≥40	GB/T 1732—1993
耐盐雾性/h	_	未要求	GB/T 1771—2007

表6 本品与市面竞品对比数据

Table 6 Data of Comparison between This Product and Its Competitors on the Market

		•			•		
养护条件		自干2 h	自干4 h	自干1 d	自干3 d	自干7 d	80 °C、1 h
压垒	本品	_	_	2B	В	НВ	НВ
硬度	竞品	_	_	3B	2B	2B	НВ
四美士/纽	本品	_	_	1	1	1	0
附着力/级	竞品	_	_	_	5	5	1
抗冲击性/	本品	_	_	50,通过	50,通过	50,通过	50,通过
$(\text{kg}\cdot\text{cm})$	竞品	_	_	40,通过	40,通过	50,通过	50,通过
耐雨水性/h	本品	168,通过	168,通过	168,通过	168,通过	168,通过	168,通过
顺畅水生/11	竞品	36,锈蚀	96,锈蚀	168,通过	168,通过	168,通过	168,锈蚀
耐盐水性/h	本品	168,通过	168,通过	168,通过	168,通过	168,通过	168,通过
响 鱼水性/II	竞品	24,锈蚀	72,锈蚀	168,通过	168,通过	168,通过	168,通过
耐盐雾性/h	本品	_	_	_	_	72,通过	120,通过
刪益务性/Ⅱ	竞品	_	_	_	_	36,锈蚀	120,锈蚀

2 结果与讨论

2.1 成膜物质的选择

本文选用的水性丙烯酸改性醇酸树脂XG-821是 衡水新光公司的一款已中和的水性丙烯酸接枝改性 醇酸分散体,由多种功能性单体、丙烯酸酯类等单体 复合改性而成,具有干燥速率快、耐水性优、防锈性能 佳、涂膜光亮坚硬等特点,同时与丙烯酸乳胶具有良好的混溶性;所选用的水性丙烯酸乳胶XG-9102是一款 T_g 为40°C的苯丙乳胶,选用复合乳化剂体系进行乳化合成,具有宽泛的配方适用性,与树脂等相容性优的特点。

实验时,为了对比不同厂家同类型的树脂产品, 在调漆阶段,预设水浆与树脂清漆颜基比为10:1、 13:1、15:1,且按配方比例向B组分树脂清漆内加入A组分水浆,搅拌均匀后再加入C组分乳液清漆。对比市面上3种同类型的水性丙烯酸改性醇酸树脂,记为竞品A、竞品B、竞品C。表7通过对比市面上一些同类型树脂产品,可以看出,树脂XG-821在颜基比为(10~15):1范围内均可以正常调漆,其他同类型树脂在颜基比10:1时可以正常调漆,但提高颜基比至(13~15):1时则会出现颗粒凝聚现象,虽然在加入C组分乳液清漆后状态恢复正常,但亦会出现细度返粗的现象,影响产品的后期贮存稳定。

以上表明,树脂XG-821由于其本身独特的分子 结构,对颜填料具有更佳的包裹性和润湿性。

选取4组不同 T_g 的苯丙乳胶,记为乳胶1、乳胶2、

	表7 高颜基比在调漆阶段的影响
Table 7	Effect of High Colon/Dindon Datio in Coatings Mixin

				0 0	
颜基比	C组分	XG-821	竞品A	竞品B	竞品C
10:1	无 添加		状态正'	常,细度正常	
13:1	无 添加	状态、细度正常		态成膏,颗粒凝聚,细度 状态恢复正常,细度返	
15:1	无 添加	状态、细度正常		态成膏,颗粒凝聚,细度 状态恢复正常,细度返	

乳胶3、乳胶4,与XG-9102进行同步对比测试。不同T。 的苯丙乳胶按表8内成膜助剂加量添加,按表4参考 配方进行制漆对比检测。由表8可以看出, T。越高, 产 品的硬度越高,但相应的脆性也就越大,T。为40°C的 XG-9102既可以保持一个较高的硬度,同时又能提供 一个良好的冲击强度。

表8 不同T。的苯丙乳胶测试数据 Table 8 Test Data of Styrene Acrylic Latex with Different T_g

			·		8
苯丙乳胶类型	** 本本 □ K ** 和		硬	度	· 抗冲击强度/(kg·cm)
本内孔胶失空	T _g /°C	w(成膜助剂)/%	自干7 d	80 °C,1 h	が中面無及八kg・cm/
乳胶1	25	3	2B	В	50,通过
乳胶2	33	4	2B(≈B)	В	50,通过
XG-9102	40	5	НВ	НВ	50,通过
乳胶3	45	6	НВ	НВ	45,脱落
乳胶4	58	10	Н	Н	30,脱落

2.2 辅料的筛选

众所周知,涂料的组分中尤以成膜物质为重,成 膜物对涂料的性能起决定性的作用,但各辅料之间的 相辅相成也必不可少。表9是测试不同粉料的比例对 产品的初期耐水性及50°C温度下贮存的影响,经过 多轮对比测试,可以看出不同的粉料及其用量会对产 品造成不同的影响。其中,天然钡主要是50°C下贮存 有浮清漆的现象,这或许与其自身密度偏大有关,由 于其性质稳定,难溶于水、酸、碱及有机溶剂,所以对 耐水性方面基本无影响。重钙、滑石粉和云母粉对性 能影响近似,三者化学性质稳定,但由于三者吸油量 偏大,在水介质中均有一定的悬浮性,在50°C下贮存 过程中可能会导致涂料自身的溶胀,从而导致整个体 系出现黏度增大的现象:在实验中或与增稠剂等助剂 的协同作用,过多会导致后增稠严重至成膏现象,经 实验验证,用量过多,其对初期耐水性有一定的降低, 量少也会降低体系的稳定性,从而产生一定的浮清漆 现象。本文选用的防锈料属偏酸性,涂料本身偏碱性, 用量过多会造成一定的分水现象。

由表9可以得出:在天然硫酸钡12%~15%(质量 分数,后同)、重钙16%~22%、滑石粉3%~7%、云母 粉1%~5%、防锈料0.3%~1%的范围内,本文制备的 水性丙烯酸改性醇酸钢结构涂料在初期耐水性及50

°C温度下贮存方面均可以达到优异的效果,同时各组 分比例过多或过少,对产品的初期耐水性和50°C温 度下贮存方面均有一定的降低影响。

2.3 与市面水性钢结构涂料性能对比

以本文制备的水性丙烯酸改性醇酸钢结构涂料 与市面上竞品涂料同步进行性能检测,主要测试项目 为初期耐雨水性、耐盐水性、机械性能以及养护后的 耐盐雾性,由表6数据可对比出如下结果。

- (1)机械性能方面:制备的钢结构涂料在初期抗 冲击强度、附着力方面均要优于市面竞品涂料,尤其 是附着力, 竞品涂料自干条件下基本无附着力, 本文 制备的钢结构涂料附着力可达1级;在硬度方面,也要 优于竞品。
- (2)耐雨水性及耐盐水性方面:制备的钢结构涂 料的初期耐雨水性优于市面竞品涂料,基本上可通过 168 h无异常,初期耐盐水也能通过72 h以上。
- (3)耐盐雾性方面:制备的钢结构涂料自干养护 下可通过72 h, 烘烤养护后可通过120 h, 优于市面竞 品钢结构涂料。

部分测试图片如图1所示。

3 结 语

经过测试,可以明显看出本文制备的水性丙烯酸

	表9	不同比例粉料的测试对比
Table 9	Test Comp	parison of Different Proportions of Pov

序号	w(天然硫酸钡)/%	w(重钙)/%	w(滑石粉)/%	w(云母粉)/%	w(防锈料)/%	自干2 h耐 自来水性	50 ℃温度下 贮存15 d
1	12	22	7	1	0.3	168 h,通过	合格
2	15	16	3	5	1	168 h,通过	合格
3	10	22	7	1	0.3	168 h,通过	轻微浮清漆
4	18	16	3	5	1	168 h,通过	浮清漆较严重
5	12	25	7	1	0.3	144 h,不通过	结块成膏状
6	15	14	3	5	1	168 h,通过	浮清漆较严重
7	12	22	8	1	0.3	168 h,不通过	结块成膏状
8	15	16	2	5	1	168 h,通过	轻微浮清漆
9	12	22	7	0	0.3	168 h,通过	严重浮清漆
10	15	16	3	7	1	120 h,不通过	结块成膏状
11	12	22	7	1	0.1	120 h,不通过	合格
12	15	16	3	5	1.5	168 h,通过	轻微分水

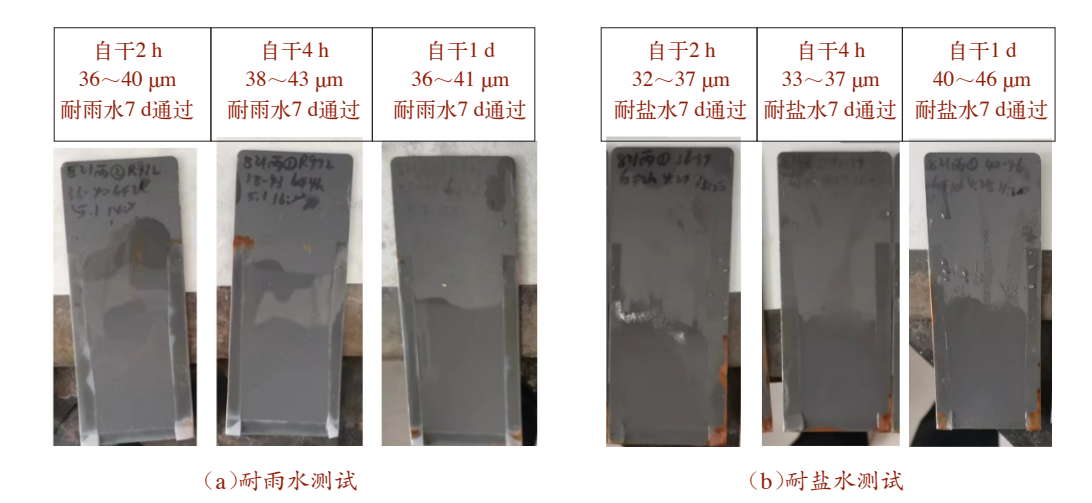


图1 与市面水性钢结构涂料性能对比(部分)
Fig. 1 Performance Comparison with Waterborne Steel Structure Coatings on the Market (Partial)

改性醇酸钢结构涂料产品性能优异,初期耐雨水、耐盐水性可168 h涂膜无起泡、脱落现象;硬度建立快,自干1 d可达2B,自干7 d可达HB;防锈效果好,常温养护7 d,耐盐雾性可通过72 h,烘烤后亦可达到120 h以上;附着力优异,可达1~0级,抗冲击性亦可通过50 kg·cm涂膜无裂纹。同时,对比市面上钢结构产品在初期耐雨水性、耐盐水性、硬度建立以及耐盐雾方面均有一定的优势,且成本低,满足市场需求。

近年来,国家大力宣传环境友好型涂料,水性涂料发展迅速,这也是我们涂料人的自豪。但水性涂料行业发展蒸蒸日上的同时,也要求我们"降本增效",

这也是对我们的考验,期望每个涂料人都能尽己所能,为国家、为家园、为水性涂料事业贡献一份力。坚信,未来水性涂料必定更加出彩。

参考文献

- [1] 杨华.挥发性有机化合物及其分析方法的研究现状[J]. 化学推进剂与高分子材料,2022,20(1):43-47
- [2] 陈建棘.水性醇酸树脂的合成方法及改性机理探讨[J]. 上海涂料,2012,50(9):23-25

中国涂料。

2024年 06 月 June 2024

第39卷 第06期 Vol.39 No.06

探究颜基比对80%锌含量环氧涂料 性能的影响

张真真,刘冬平

(佐敦涂料(张家港)有限公司,江苏张家港 215634)

摘 要: 在80%锌含量环氧涂料中,以长石粉作为另一种辅助颜填料,通过改变总颜填料与基料的比例(即颜基比),制备了临界状态附近4种不同颜基比(1.6、1.7、1.8以及2.0)的涂料样品,并探究了颜基比对涂膜形成结构以及涂膜防腐蚀性能的影响。测试结果显示,随着颜基比的增加,4种测试涂层的吸水率增大,96 h泡水测试后,颜基比为2.0的涂层吸水率约为1.6颜基比涂层的7.8倍;电化学测试Bode图中低频阻抗模量($Z_{0.01 Hz}$)减小,1.6颜基比涂层的阻抗值约为2.0颜基比涂层阻抗值的10倍,意味着涂层的阻隔性能减弱;连续冷凝、耐盐雾以及耐湿热防腐测试后涂膜的附着力均有所降低,表明了涂膜的防腐性能降低。尽管颜基比越高涂料的价格降低,但从环氧富锌底漆应具备良好的防锈性能再追求性价比的角度考虑,颜基比建议不高于2.0,以确保防腐测试后涂层仍具有优异的附着力(不低于5 MPa)。

关键词: 颜基比; 环氧富锌; 防腐性能; 附着力

中图分类号: TQ630.7+9

文献标识码:A

文章编号: 1006-2556(2024)06-0054-08

DOI:10.13531/j.cnki.china.coatings.2024.06.010

Study on the Effect of Pigment/Filler to Binder Ratio on the Performance of 80% Zinc Content Epoxy Coatings

ZHANG Zhen-zhen, LIU Dong-ping

(Jotun Coatings (Zhangjiagang) Co., Ltd., Zhangjiagang 215634, Jiangsu, China)

Abstract: Based on 80% zinc content epoxy coatings and feldspar powder as another auxiliary pigment/filler, four coatings samples with different pigment/filler to binder ratios (1.6, 1.7, 1.8 and 2.0) near the critical state were prepared. The film forming structure and the anticorrosive property of these samples were investigated. The test results show that with the increase of pigment/filler to binder ratio, the water uptake of tested coatings gradually increases. After 96 h soaking in water, the water uptake of the 2.0 coatings is about 7.8 times that of the 1.6 coatings. The low frequency impedance modulus ($Z_{0.01 \text{ Hz}}$) in the Bode plot reduces, and the impedance value of the 1.6 coatings is about 10 times that of the 2.0 coatings, which means that the barrier property of the coatings is weakened. The adhesion of the coatings film decreases after condensation test, salt spray test and heat and humidity resistance test, indicating that the anticorrosive property of the film is reduced. Although the higher the pigment/filler to binder ratio, the lower the price of the coatings, from the perspective that the epoxy zinc-rich primer should have good anticorrosive property and pursue cost-effectiveness on this basis, the pigment/filler to binder ratio is recommended to be no higher than 2.0, to ensure that the coatings still show excellent adhesion (not less than 5 MPa) after the anticorrosive test.

Key words: pigment/filler to binder ratio, epoxy zinc-rich, anticorrosive property, adhesion

0 前 言

环氧富锌底漆被广泛应用于各种腐蚀性环境中 的金属防护,与传统的有机涂料不同,因锌粉具有独 特的电化学性能,环氧富锌涂层既可以为金属基材提供物理屏障保护,亦可提供化学阴极保护^[1]。

通常情况下,富锌底漆中也会加入其他防腐颜填

收稿日期:2024-04-01

作者简介:张真真(1996-),女,河南安阳人。研发化学师,硕士,主要从事工业防腐涂料的开发研究。

料来协同增加涂膜的防腐作用以及降低涂料成本,如氧化锌、硫酸钡、滑石粉等[1-3]。而长石作为一种价格低廉的颜填料,在国内的矿物资源丰富,作为一种惰性碱性矿物,它有助于提高涂层的耐腐蚀性。精制后的长石粉具有低吸油率,这意味着在配方中允许其具有较高的添加量,而不会导致涂料黏度增加过高[4]。据文献调研,长石粉在环氧富锌涂料中使用的相关报道很少。为充分利用其在价格方面的优势,以及其可以提供屏障保护的片层结构,本文选取具有较低吸油量的长石粉(26 g/100 g)作为环氧富锌涂料中的另一种辅助颜填料,进行一系列性能的研究。

在最终形成的固态连续涂膜中,树脂基和颜填料通常占据比较大的比例,对被涂物起到重要的保护作用。特定将最终干涂膜中的总颜填料与树脂基料的比例定义为"颜基比"。它对应于干燥涂层中的黏合剂与填充颜料颗粒之间的润湿状态。如果涂膜中漆基过量,漆基可以完全润湿颜填料。反之,涂膜中漆基量少,不足以润湿颜填料。随着颜基比的增加,颜填料颗粒趋向于不完全被漆基树脂润湿的状态[5-7]。对于环氧富锌涂料,一方面,倾向于涂料中锌颗粒之间、锌与铁之间的充分接触增强涂膜导电性,从而有利于阴极保护。另一方面,大量的填料颗粒会导致涂层的孔隙率较高,涂膜的内聚力减小,从而导致涂层的屏蔽效果较差[8-10]。因此,探究颜基比在环氧富锌涂料中对性能的影响显得极其重要。

理论上最理想的状态为配方中的树脂基对填料锌粉以及长石粉颗粒恰好完全包覆,然而实际应用中往往因为不同项目的要求而对环氧富锌涂料本身设计的侧重点会有所不同。如相较于工业环境,海洋环境对涂层耐盐雾性能的需求可能更为苛刻;在一些对防腐性能要求相对宽松的大气应用环境下,则可能较为侧重于性价比,而合理的颜基比可以在性能和成本之间找到最佳的平衡点。因此通过研究颜基比对环氧富锌涂料性能的影响,作为参考,研究人员可以了解其内在变化规律,从而在面对实际应用需求中,能够快速准确地调整涂料配方,以实现涂层性能的全面优化。如通过调整合理的颜基比达到特定的固体含量要求,抑或达到特定要求的密度值、防腐性能等,针对实际应用需求定制合适的环氧富锌涂层配方。

本研究在控制环氧富锌底漆不挥发物中锌粉含量为80%的基础上,通过调整长石粉的含量以及相应地减少树脂基的含量,设计分析了4种不同临界状态附近的颜基比(1.6、1.7、1.8和2.0)对环氧富锌底漆的附着力、电化学性能、耐盐雾性能、耐湿热性能以及连续冷凝的影响,并研究了其变化规律。

1 实验部分

1.1 实验原料及设备

环氧树脂,KUKDO;长石粉,SIBELCO;二甲苯、乙二醇醚,工业级;锌粉、助剂、胺固化剂,市售;环氧中间漆、聚氨酯面漆,佐敦。

高速分散机、高压无气喷涂泵、拉开法附着力测试仪、盐雾试验箱、冷凝结露箱、喷砂钢板Sa 2.5。

1.2 不同颜基比涂料配方的制备

环氧富锌底漆A组分基础配方如表1所示。

表1 环氧富锌底漆A组分基础配方
Table 1 Basic Formula of Epoxy Zinc-rich Primer
Component A

component 11				
原料	w/%			
环氧树脂	5~10			
防沉剂	1~5			
分散剂	0.1~0.5			
长石粉	5~10			
锌粉	65~80			
溶剂	5~10			
合计	100			

制备工艺流程:容器中称取环氧树脂与一定量的 二甲苯和乙二醇醚低速分散。在搅拌状态下连续加入 助剂与填料,加料完成后,高速分散15 min至涂料分 散均匀。分散结束后,降低搅拌速度并加入剩余的溶 剂调节黏度即可。将制备好的A组分和B组分固化剂 按照比例混合均匀即可后续测试。

其中,控制锌粉和长石粉的添加量,设计4种不同 颜基比(1.6、1.7、1.8、2.0)的涂料,制备流程相同。

1.3 测试样板的制备

测试基材为喷砂处理钢板,采用高压无气喷涂泵进行施工,喷涂单道富锌底漆干膜厚约(100±10) μm。配套性测试样板底涂膜厚为(70±10) μm,总膜厚约(260±10) μm。所有用于测试的样板在喷涂最后一道涂层后在23°C、相对湿度50%±5%的恒温室中养护10 d,对需要长期测试的样板边缘进行封边或相应的保护处理。

1.4 性能测试方法

对制备的样品以及样板进行一系列的测试,包括密度、黏度、质量固含量、涂层早期吸水性、附着力、冷凝、耐盐雾以及电化学测试等,探究了颜基比对上述基本性能以及防腐性能的影响,详细测试方法如下。

样品黏度测试参照标准NS-EN ISO 2884-1:2006, 非挥发组分质量固含量测试参照标准GB/T 1725—

2007《色漆、清漆和塑料 不挥发物含量的测定》[11],涂层拉开法附着力测试参照标准GB/T 5210—2006《色漆和清漆 拉开法附着力试验》[12],耐冷凝试验测试参照标准GB/T 13893.2—2019《色漆和清漆 耐湿性的测定 第2部分:冷凝(在带有加热水槽的试验箱内曝露)》[13],耐中性盐雾试验测试参照标准GB/T 1771—2007《色漆和清漆 耐中性盐雾性能的测定》[14],耐湿热试验测试参照标准GB/T 1740—2007《漆膜耐湿热测定法》[15],达到规定测试时间后取出,冲洗干净后室温晾干,根据标准GB/T 1766—2008《色漆和清漆 涂层老化的评级方法》[16]对测试样品进行起泡、生锈、开裂等程度的评级。

关于涂层早期吸水性测试,参考NORSOK标准,优化实验测试步骤,类比应用于环氧富锌涂层早期吸水性评估。测试的涂膜在标准条件下干燥24 h后浸泡在去离子水中,记录浸泡一定时间后的湿膜质量并与浸泡前干膜质量进行对比,计算涂层吸水率。计算公式如式(1)所示。

吸水率:
$$X\% = [(W_{WC} - W_{DC})/W_{DC}] \times 100\%$$
(1)

其中, W_{DC} ——吸水前的干膜质量; W_{WC} ——吸水后的涂膜质量。

2 结果与讨论

2.1 不同颜基比对涂料基本性能的影响

考虑到填料总的添加量不同,测试了4种配方样品的黏度,结果显示黏度数据差异不明显(见表2),也证实了本研究在配方中引入的具有低吸油率的长石粉,即使其添加量增加,在一定范围也不会导致涂料黏度变化太大。另外,涂料的成本也是设计配方过程中非常关注的一点,性能优异且性价比高的往往是大众所热衷于追求的。经计算,上述4种配方的成本随着颜基比的增加而有所降低。

表2 4种不同配方样品的黏度测试 Table 2 Viscosity Tests for Four Different Formula Samples

配方编号	1.6 coating	1.7 coating	1.8 coating	2.0 coating
颜基比	1.6	1.7	1.8	2.0
黏度/(mPa·s)	201	206	209	219

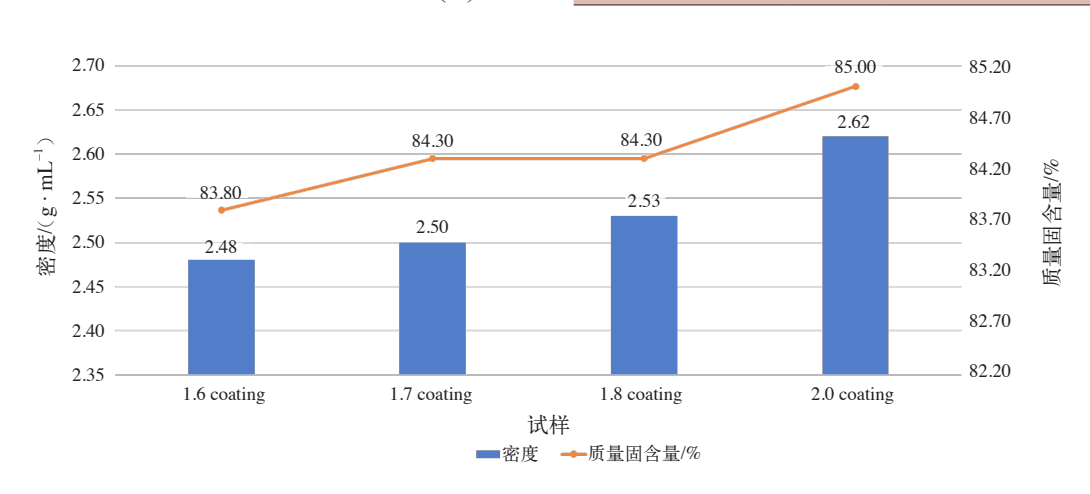


图1 不同颜基比值对环氧富锌底漆密度和质量固含量的影响

Fig. 1 Effects of Different Pigment/Filler to Binder Ratios on Density and Mass Solid Content of Epoxy Zinc-rich Primer

测试了4种配方样品的密度和质量固含量。由图1结果可以看到,随着涂料中颜基比的增加,密度和质量固含量总体均呈现出增加的趋势。即保持其他参数一致的情况下,颜基比增大,意味着配方中颜填料的添加量增加。在此配方体系中,主要颜填料锌粉的密度远大于树脂基的密度,从而涂料密度随着颜基比增大而增加,涂膜中固体分的质量占比相应地也越大。

2.2 不同颜基比对涂膜早期吸水性的影响

为探究不同颜基比对涂膜结构的影响,如涂膜的 致密性或孔隙率的相对大小,对环氧富锌涂层进行早 期吸水率测试。 测试的涂膜在干燥24 h后浸泡在去离子水中,浸泡48 h及96 h后吸水率的结果如图2所示。可以发现在浸泡相同时间后,随着颜基比的增加,4种测试涂层的吸水率逐渐增大,意味着涂层的阻隔性能减弱,尤其96 h后颜基比为2.0的涂层吸水率约为1.6颜基比涂层的7.8倍。可能归因于涂膜中的颜填料不能被树脂基充分润湿,孔隙率随着颜基比的增加而有所增大,吸水性增强。测试结果发现同一涂层在水中浸泡48 h和96 h后的吸水率变化不明显,意味着4组测试涂层的早期吸水性是稳定的。在浸泡一定时间后涂层中的吸水量达到饱和状态,不再继续增加,从而具备长期防

腐测试的潜力。

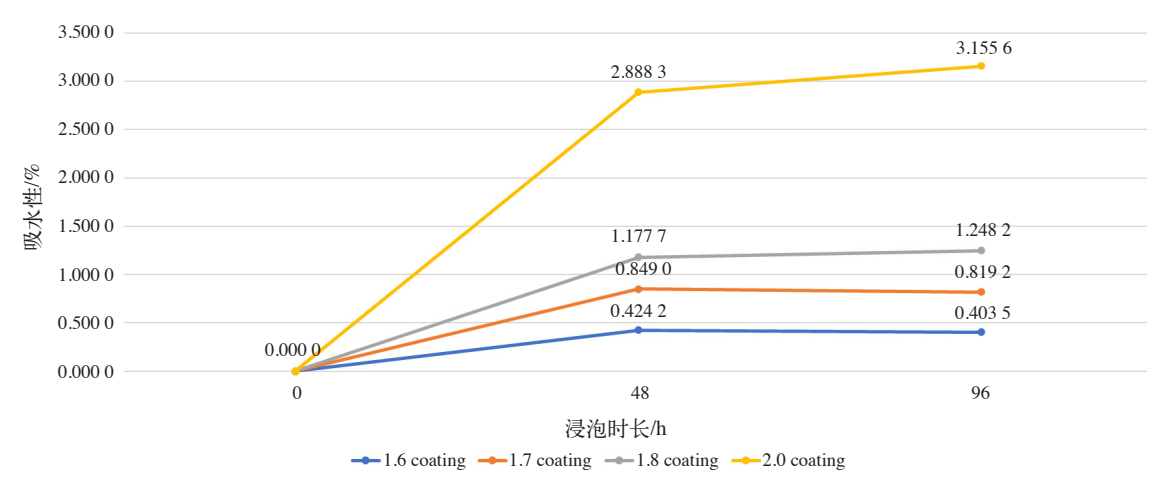


图2 不同颜基比值对涂膜早期吸水性的影响

Fig. 2 Effects of Different Pigment/Filler to Binder Ratios on Early Water Absorption of Coatings Film

2.3 不同颜基比涂层的电化学研究

为评估4种不同颜基比对富锌涂层性能的影响,采用电化学测试分析了上述4种配方样板在 3.5%NaCl溶液中浸泡时阻抗的区别,结果如图3所示。Bode图中低频阻抗模量($Z_{0.01 \text{ Hz}}$)通常用于评估涂层耐腐蚀性的指标。可以看到,涂层阻抗值表现出 $Z_{1.6 \text{ coating}} > Z_{1.7 \text{ coating}} > Z_{1.8 \text{ coating}}$,其中1.6颜基比的涂层的阻抗值高于2.0颜基比涂层的阻抗值将近 10倍。意味着颜填料含量越多,涂层的阻隔保护性能 越弱,从而阻抗值相对比较小[17]。与上述涂膜吸水性测试结果一致。

2.4 不同颜基比对涂层防腐性能的影响

附着力是指涂膜与被涂物表面之间或涂层之间相互结合的能力,附着力好的涂膜经久耐用,具备使用要求的性能。因此附着力对涂层的防腐性能的评估起着至关重要的作用。基于GB/T 5210标准测试涂层拉开法附着力。由图4和图5(a)测试结果可以看到,随着颜基比的增大,单涂层附着力逐渐降低,这符合附

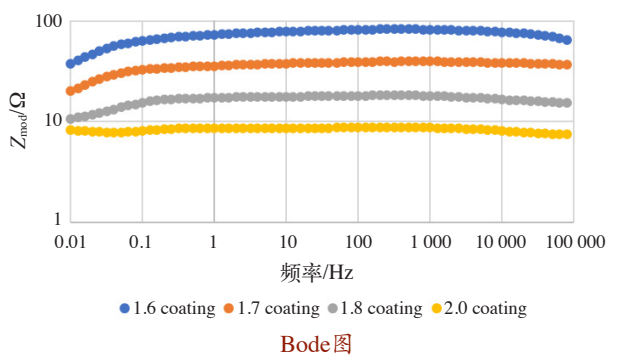


图3 4种不同配方涂层在3.5% 氯化钠溶液中的电化学测试

Fig. 3 Electrochemical Test Results of Coatings of Four Different Formulas Immersed in 3.5% NaCl Solution

着力的变化规律。颜基比增大,意味着配方中颜填料添加量增加,黏合剂的占比降低,从而黏合剂对颜填料的润湿性降低,导致黏结强度下降,从而表现出附着力数值的减小。

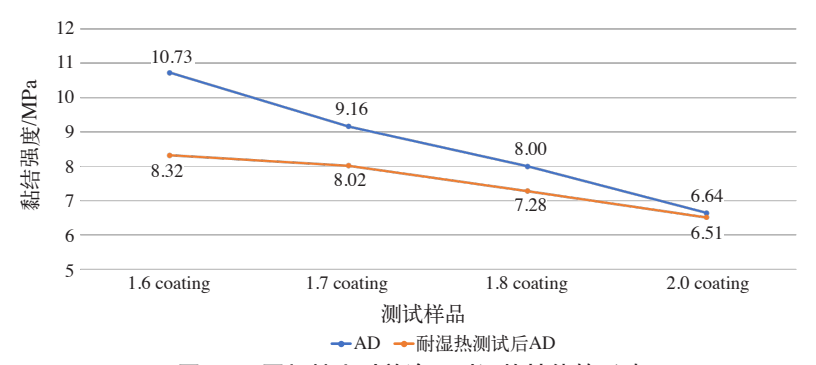
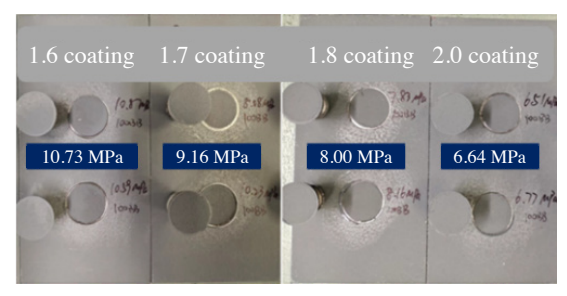


图4 不同颜基比对单涂层耐湿热性能的影响

Fig. 4 Effects of Different Pigment/Filler to Binder Ratios on Heat and Humidity Resistance of Single Coatings Layer

1 000 h耐湿热测试后,图5(b)结果显示涂层表面 无起泡、无生锈、无开裂、无脱落。由图4可以清晰地看 到,单道涂层附着力依然随着颜基比的增大呈现下降 趋势,与测试前表现一致。且总体附着力较测试前减 弱,这是由于经过1 000 h耐湿热测试后,涂层中的锌 粉发生阴极保护作用被部分消耗,涂层中产生较多的 锌腐蚀产物,意味着此时涂膜涂层中的固体粉料的含量较测试前增加^[18-19],从而导致黏结强度总体下降,测试附着力数值较测试前减小。

环氧富锌底漆一般是作为防锈底漆与中间漆及



(a)耐湿热测试前



(b)耐湿热测试后

图5 不同配方样板耐湿热测试前后的照片

Fig. 5 Photos of Sample Boards of Different Formulas before and after the Heat and Humidity Resistance Test

面漆配套使用,它主要依靠锌粉的阴极保护机理提供 防锈作用。为达到ISO 12944标准中规定的配套体系 测试的要求,本工作研究了以上几种富锌涂料搭配佐 敦环氧中间漆以及聚氨酯面漆的配套三涂层,并按 照标准进行防腐测试。防腐测试前附着力如图6中蓝 色曲线和蓝色柱状图所示,黄色曲线和黄色柱状图为 720 h冷凝测试后的附着力结果。可以看到在颜基比 小于等于1.8时,附着力值变化不明显(蓝色曲线),但断裂层随着颜基比的增大更加容易出现在富锌底漆层内断裂,从0依次增加到约10%和50%,再次验证了高含量的填料导致富锌涂层的内聚力降低。尤其当颜基比增大到2.0时,出现了完全的富锌底漆层断裂面,并且黏结强度显示最低,附着力数值约8.02 MPa。测试样板照片如图7(a)所示。

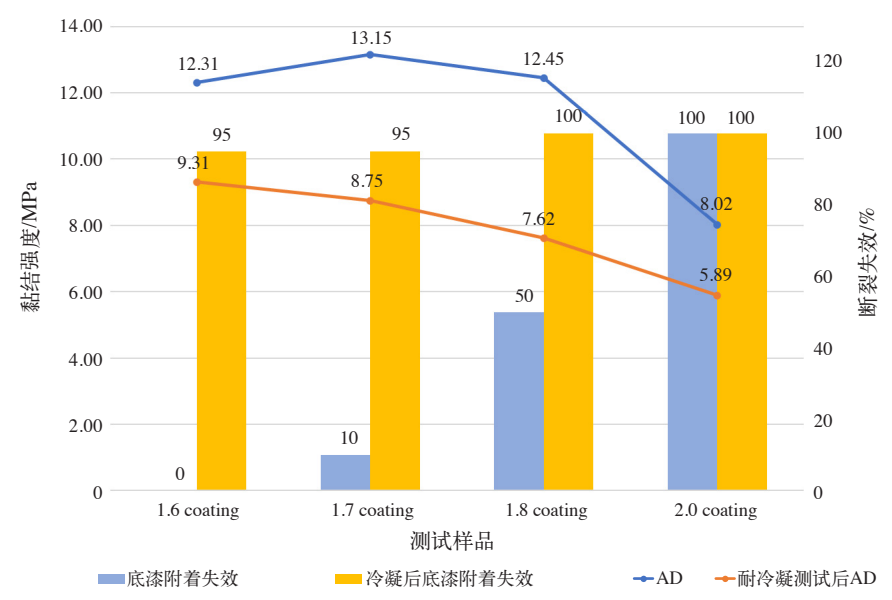
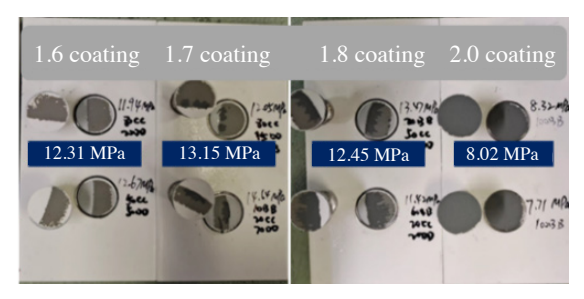


图6 不同颜基比值对配套涂层耐冷凝测试的影响

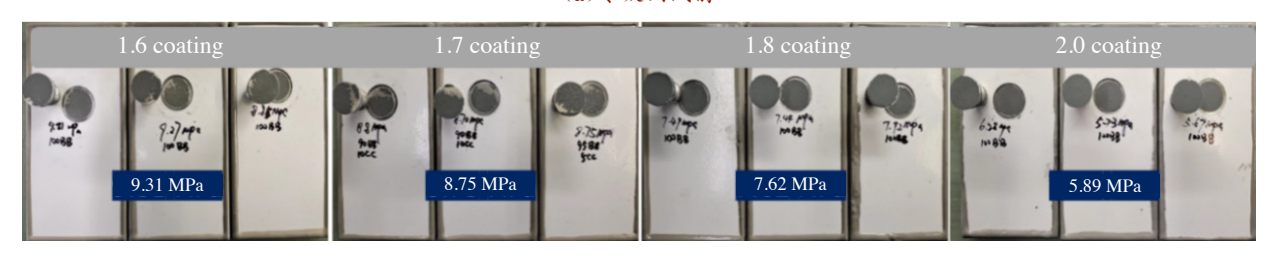
Fig. 6 Effects of Different Pigment/Filler to Binder Ratios on Condensation Resistance Test Results of Supporting Coatings

720 h冷凝实验测试后,图7(b)结果显示涂层表面无起泡、无生锈、无开裂、无脱落。附着力断裂面一致出现在富锌底漆涂层,且附着力数值总体较测试前弱。意味着涂层中的锌粉发生了阴极保护作用被部分消耗,锌腐蚀产物增加,从而导致锌涂层本身黏结强

度进一步下降,且更加容易发生富锌涂层内部黏结失效。冷凝后的附着力随着颜基比的增大呈现下降趋势,当颜基比为2.0时,附着力达到最小值5.89 MPa。因此冷凝测试后的结果较为明显地表现出颜基比对防腐测试结果的影响。



(a)冷凝测试前



(b)冷凝测试后

图7 不同配方样板冷凝测试前后的照片

Fig. 7 Photos of Sample Boards of Different Formulas before and after the Condensation Test

图8和图9为1 440 h耐盐雾测试后的结果,可以看到涂层表面无起泡、无生锈、无开裂、无脱落。对比防腐测试前附着力结果(图6蓝色曲线)可以发现,附着力数值总体较测试前弱。并且可以看到,随着颜基比的增大,配套系统测试盐雾后,附着力逐渐降低,与先前配套涂层冷凝测试结果一致。划线处腐蚀蔓延平均值在允许误差范围内变化不明显。可能的原因是,随

着颜基比增大,板面涂膜的致密性降低,从而附着力测试结果变化趋势明显。但对于涂膜划痕破损处的腐蚀蔓延,它主要依靠锌粉的阴极保护机理提供防锈作用。由于此次研究的配方中均含有80%的锌粉,涂膜足以提供较强的阴极保护作用,从而该研究范围内的颜基比对划痕处腐蚀蔓延影响不明显。

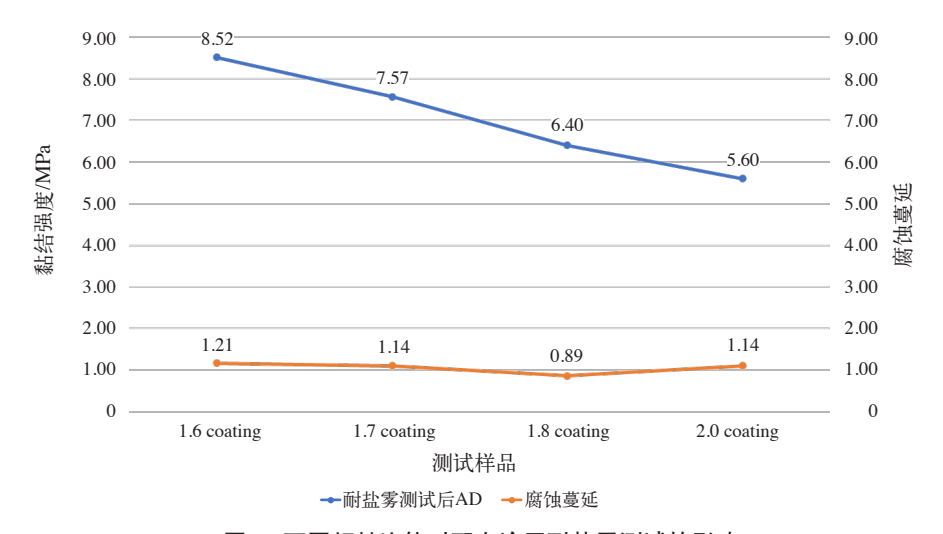


图8 不同颜基比值对配套涂层耐盐雾测试的影响

Fig. 8 Effects of Different Pigment/Filler to Binder Ratios on Salt Spray Test Results of Supporting Coatings



图9 不同配方样板盐雾测试的照片

Fig. 9 Photos of Sample Boards of Different Formulas after the Salt Spray Test

3 结 语

(1)以上实验表明:本工作构建的以环氧树脂为涂层基体,以80%锌粉和长石粉为颜填料的涂层中,随着颜基比的值从1.6增加到2.0,对于单道富锌涂层以及搭配佐敦的中间漆和面漆三涂层体系,防腐测试前以及防腐测试后涂层的附着力总体呈现出下降趋势,意味着涂层致密性降低,从而涂层的内聚力呈现出逐渐减弱的趋势。电化学测试以及涂膜早期吸水性结果也验证了以上结论。

- (2)实验结果显示,防腐测试后的附着力较防腐测试之前整体呈现出下降的趋势,意味着涂层中的锌粉发生了阴极保护作用被部分消耗,锌腐蚀产物增加,相当于进一步增加了富锌涂膜中的固体填料,从而锌涂层自身黏结强度较测试前下降,且更加容易发生富锌涂层内部黏结失效。
- (3)综合本研究结果发现,当配方中的树脂基对填料锌粉以及长石粉处于恰好润湿的临界状态附近,随着颜基比的增加,涂料配方成本有所降低,但涂层的防护性能逐渐减小。因此从环氧富锌底漆应具备良好的防锈性能以及追求性价比的角度考虑,颜基比建议不高于2.0,以确保防腐后仍具有优异的附着力(不低于5 MPa)。

本研究主要探讨了80%锌粉含量的环氧富锌体系中颜基比对涂料基本性能以及涂膜防腐蚀性能的影响,对在环氧富锌相关方案的设计方面有着重要的数据理论支撑。未来对于颜基比在其他锌粉含量(如65%等)的环氧富锌平台中产生的影响,还需要进一步细致的研究。进而通过综合对比不同颜基比值下环氧富锌涂料的各项性能,研究者们可以深入了解其变化规律,迅速定位设计并筛选出满足市场需求的最优配方。

参考文献

[1] HUSSAIN A K, SEETHARAMAIAH N, PICHUMANI M, et al. Research Progress in Organic Zinc Rich Primer

- Coatings for Cathodic Protection of Metals-A Comprehensive Review[J]. Progress in Organic Coatings, 2021, 153:106040
- [2] JAGTAP R N, PATIL P P, HASSAN S Z. Effect of Zinc Oxide in Combating Corrosion in Zinc-rich Primer[J]. Progress in Organic Coatings,2008,63(4):389-394
- [3] PERERA DAN Y. Effect of Pigmentation on Organic Coating Characteristics[J]. Progress in Organic Coatings, 2004,50(4):247-262
- [4] DAVOODI M, GHASEMI E, RAMEZANZADEH B, et al. Designing a Zinc-encapsulated Feldspar as a Unique Rock-forming Tectosilicate Nanocontainer in the Epoxy Coating; Improving the Robust Barrier and Self-healing Anti-corrosion Properties[J]. Construction and Building Materials,2020,243:118215
- [5] 林喆.PVC&CPVC在涂料配方设计中的应用[J].中国 涂料,2005,20(3):16-18
- [6] GOWRI S, BALAKRISHNAN K. The Effect of the PVC/CPVC Ratio on the Corrosion Resistance Properties of Organic Coatings[J]. Progress in Organic Coatings,1994,23(4):363-377
- [7] RODRIGUEZ M T, GRACENEA J J, KUDAMA A H, et al. The Influence of Pigment Volume Concentration (PVC) on the Properties of An Epoxy Coating Part I. Thermal and Mechanical Properties[J]. Progress in Organic Coatings,2004,50(1):62-67
- [8] MA Q, WANG L D, SUN W, et al. Effect of Chemical Conversion Induced by Self-corrosion of Zinc Powders on Enhancing Corrosion Protection Performance of Zinc-Rich Coatings[J]. Corrosion Science,2022,194:109942
- [9] KALENDOVÁ A, VESELÝ D, KOHL M, et al. Anticorrosion Efficiency of Zinc-filled Epoxy Coatings Containing Conducting Polymers and Pigments[J]. Progress in Organic Coatings,2015,78:1-20

- [10] GERGELY A, PFEIFER É, BERTÓTI I, et al. Corrosion Protection of Cold-rolled Steel by Zincrich Epoxy Paint Coatings Loaded with Nano-size Alumina Supported Polypyrrole[J]. Progress in Organic Coatings,2011,53(11):3 486-3 499
- [11] GB/T 1725—2007,色漆、清漆和塑料 不挥发物含量的测定[S]
- [12] GB/T 5210—2006,色漆和清漆 拉开法附着力试验 [S]
- [13] GB/T 13893.2—2019,色漆和清漆 耐湿性的测定 第2部分:冷凝(在带有加热水槽的试验箱内曝露)[S]
- [14] GB/T 1771—2007,色漆和清漆 耐中性盐雾性能的 测定[S]
- [15] GB/T 1740—2007,漆膜耐湿热测定法[S]
- [16] GB/T 1766—2008,色漆和清漆 涂层老化的评级方法[S]

- [17] GUAN J Q, DU X S. Improving the Anti-corrosive Performance of Epoxy/Zinc Composite Coatings with N-Doped 3D Reduced Graphene Oxide[J]. Progress in Organic Coatings.2024.186:107959
- [18] GE T H, ZHAO W J, WU X D, et al. Incorporation of Electroconductive Carbon Fibers to Achieve Enhanced Anti-corrosion Performance of Zinc Rich Coatings[J]. Journal of Colloid and Interface Science, 2020, 567:113-125
- [19] NADERI R, ATTAR M M. Electrochemical Study of Protective Behavior of Organic Coating Pigmented with Zinc Aluminum Polyphosphate as A Modified Zinc Phosphate at Different Pigment Volume Concentrations[J]. Progress in Organic Coatings,2009,66(3):314-320

中国涂料[®]

(上接第47页)

- (2)通过合理选择快干的亲水性与慢干的疏水性 成膜助剂搭配,能够很好平衡涂膜的成膜效果及涂膜 的干燥速度等性能,从而提升涂膜快速热叠压抗黏连 效果。
- (3)通过选用有机高密度蜡乳液与小分子有机硅助剂复配的方式作为快干抗黏连水性单组分清底漆的抗黏助剂材料,能够有效提升对涂膜快速热叠压抗黏性能,且不降低涂膜的透明性和重涂附着力性能。这是因为涂膜在干燥过程中,蜡乳液以及小分子有机硅助剂能够快速迁移到涂膜表面,使涂膜具有较低的表面张力,增加涂膜表面平滑性^[2],形成隔离,起到良好的抗黏效果。

(4)通过材料的筛选,综合配制的快干抗黏连水性单组分清底漆产品在家具厂应用能够满足现场快速干燥、快速叠压的要求,不影响涂膜的打磨性、抗黏连性能,极大提高了工厂的生产效率以及涂料水性化的可实施性。

参考文献

- [1] 许伟东,杨泽生.水性双组分高耐烫全亚清面漆的制备与配方研究[J].中国涂料,2023,38(8):8-13
- [2] 白云兵.高抗回黏性水性木制玩具漆的研制[J].上海涂料.2013.51(2):6-10

中国涂料

建筑外墙抗紫外罩面清漆的研制

周春雷,叶 志,谭振华,张淑来,许建明,李仕森 (北新嘉宝莉涂料集团股份有限公司,广东省环境友好涂料重点实验室,广东江门 529085)

摘 要: 开发一款具有耐老化性能的罩面清漆,不仅可以起到屏蔽紫外线的功效,而且方便施工,具有极佳的便捷性与适用性。实验结果表明,实验开发的罩面清漆具有优异的耐老化性能,涂层整体抗老化性能的明显提升,紫外吸收光谱表明,UV-7751W相较于DW-123(N)在紫外波段有更宽泛的响应区间,表现出更良好的抗紫外老化性能,且复配紫外光吸收剂性能更优,其他基础涂膜性能如耐沾污性(<10%)和耐洗刷性(>10 000次)远超标准,这对于长久地保持建筑物清洁自然,延长建筑物的翻新周期,节约自然资源至关重要,符合新时代的发展要求。

关键词: 氟碳乳液: 纯丙乳胶: 受阻胺光稳定剂: 紫外吸收剂: 抗紫外外墙罩面清漆

中图分类号: TQ630.7

文献标识码:A

文章编号: 1006-2556(2024)06-0062-09

DOI:10.13531/j.cnki.china.coatings.2024.06.011

Development of UV-resistant Topcoat for External Walls of Buildings

ZHOU Chun-lei, YE Zhi, TAN Zhen-hua, ZHANG Shu-lai, XU Jian-ming, LI Shi-sen (BNBM Carpoly Coatings Group Co., Ltd., Guangdong Provincial Key Laboratory of Environmentally Friendly Coatings, Jiangmen 529085, Guangdong, China)

Abstract: An anti-ageing topcoat was developed, not only shielding UV radiation but also facilitating application, offering superior efficiency and versatility. Experimental results demonstrate that the topcoat developed exhibits excellent ageing resistance, with significantly improved overall ageing resistance. The UV absorption spectrum shows that UV-7751W displays a broader response range in the UV spectrum compared with DW-123 (N), indicating superior UV ageing resistance. Additionally, if mixed with UV absorber, it exhibits better performance, while other fundamental coatings properties such as stain resistance (<10%) and scrub resistance (>10 000 cycles) far exceed industry standards. This is essential for maintaining buildings' cleanliness and natural appearance over the long term, extending the renovation cycle of buildings, and conserving natural resources, thus aligning with the requirements of the new era.

Key words: fluorocarbon emulsion, pure acrylic latex, hindered amine light stabilizer, UV absorber, UV-resistant topcoat for external walls

0 前 言

紫外光为波长小于380 nm的短波电磁波,具有较高的能量,尽管其在太阳光中占比较小,却是导致材料光老化的最主要原因。

对于紫外光的防护关乎环境安全、资源节约与人

体健康。目前,抗紫外涂料已经广泛应用于建筑玻璃及汽车玻璃领域,而同样面临严峻老化环境的建筑外墙,其对于抗老化性能的要求长久以来似乎被忽视了:外墙光老化不仅会导致涂层粉化开裂脱落,还会进一步引发连锁问题如耐沾污性能的下降,造成外墙

收稿日期:2024-05-09

作者简介: 周春雷(1996-),男(汉族),山东泰安人。助理工程师,硕士研究生,主要从事功能涂料研发。

美观度劣化甚至不可修复。与此同时,建筑外墙领域仍有较大增长空间,尤其是近年来仿石涂料的引入大大提升了外墙的美观度,市场空间广阔。

增强建筑外墙抗老化性能有两种思路,首先是在 面漆中引入抗紫外成分,但由于面漆成分的复杂性, 考虑到可能存在的拮抗效应,对于抗老化助剂的筛选 及添加有着严苛的要求,且由于面漆存在平涂、厚浆 等的多样性,抗紫外助剂的添加存在诸多不便,复杂 且低效。所以开发功能性罩面清漆是最经济、最环保 的方式。

鉴于影响功能性抗紫外罩面清漆主要由两个因素决定,即成膜物与抗紫外添加剂。我们对于产品的开发也从这两方面依次开展。首先于成膜物即树脂乳液层面:在现有技术中,由于功能性罩面清漆对于成膜物的要求较高,现阶段单独使用某一种乳液存在功能单一、应用范围受限问题。针对此,可以进行乳液的复配以规避单配乳液的缺陷,通过使用两款耐候型乳液,在保证耐候性的同时,还可以根据喜好对光泽等做进一步的调整。其次,于抗紫外助剂层面:尽管建筑外墙罩面清漆的功能性有待发展,但从功能性抗紫外

玻璃外墙涂料及汽车涂料可以管中窥豹,目前的抗紫外涂料的发展更倾向于单独使用受阻胺光稳定剂抑或是单独使用紫外光吸收剂,但效果均不理想。通过实验验证,发现在抗紫外罩面清漆领域,针对受阻胺光稳定剂与紫外光吸收剂的复配更能保证更高的效率,保证建筑外墙罩面清漆历久弥新。

通过丰富罩面清漆的功能性,开发一款具有耐老化性能的罩面清漆不仅可以起到屏蔽紫外光的功效,而且方便施工,比开发抗紫外面漆本身更为高效广谱,具有极佳的便捷性与适用性。实验结果验证了猜想,该罩面清漆不仅具有极佳的耐沾污性与耐洗刷特性,而且附加了抗紫外这一属性,该罩面清漆的开发对于长久地保持建筑物清洁自然,延长建筑物的翻新周期,节约自然资源至关重要,符合新时代的发展要求。对于建筑外墙的种类拓展与市场推广或起到一定推动作用。

1 实验部分

- 1.1 实验主要原料(见表1)
- 1.2 罩面清漆参考配方(见表2)

表1 实验用主要原材料

Table 1 Main Raw Materials Used in the Experiment

	Table 1 Wiam Raw Wiaterials Oseum the Experiment					
原材料	规格、型号	生产厂家				
国际标准灰	工业级	上海建筑科学研究院(集团)股份有限公司				
光稳定剂123-DW(N)	工业级	德国巴斯夫化工公司				
受阻胺光稳定剂UV-7751W	工业级	天津利安隆新材料股份有限公司				
紫外光吸收剂UV-7740W	工业级	天津利安隆新材料股份有限公司				
刚性氟碳乳液DF-01L	工业级	华谊三爱富有限公司				
弹性氟碳乳液WF-TFT1010	工业级	万博新材料科技(南通)有限公司				
纯丙乳胶RS-8626	工业级	广州巴德富有限公司				
无石棉纤维水泥板	70 mm×150 mm	广州标格达实验室仪器有限公司				
润湿剂TEGO WET 270	工业级	赢创特种化学有限公司				
成膜助剂Wat醇酯十二	工业级	固本化学有限公司				
防冻剂ED014	工业级	郑州裕合化工产品有限公司				
消泡剂Defoamer F210	工业级	华昌化学有限公司				
增稠剂TT935	工业级	陶氏化学有限公司				
防霉剂EG-CLF	工业级	托尔化学有限公司				
防霉剂MBS 5050	工业级	托尔化学有限公司				

1.3 本实验主要性能测试方法

1.3.1 光 泽

光泽主要参照标准为GB/T 9754—2007,选用符合标准的光泽度仪器,在适宜的温湿度环境下,测得3个角度的光泽。

1.3.2 耐水白性

于玻璃板上,使用150 μm的湿膜制备器,制备涂

膜,并置于恒温房养护7 d,待涂膜养护完成后,在适宜的温湿度环境下,将涂膜的一半置于三级水中浸泡24 h,浸泡完成后,取出玻璃板,观察浸水区域于未浸水区域的发白差异。

1.3.3 耐洗刷性

耐洗刷性主要参照标准为GB/T 9755—2014。使用2.5 g/L的正十二烷基苯磺酸钠的水溶液,水是符合

表2 罩面清漆参考配方

Table 2 Reference Formula of Topcoat

投料	规格牌号	w/%
去离子水	自制	40~45
氟碳乳液	DF-01L	10~20
丙烯酸乳胶	Archso18087	$20 \sim 40$
有机胺助剂	2-氨基-2-甲基-1- 丙醇	0.05~0.15
增稠剂	TT615	$0.5 \sim 1$
消泡剂	A-10	0.05~0.15
防腐剂	ROCIMA631	$0.2 \sim 0.3$
润湿剂	PY199	$0.4 \sim 0.5$
防冻剂	丙二醇	$1\sim 2$
成膜助剂	醇酯十二	2.5~3.5
受阻胺光稳定剂	利安隆UV-7751W	$0.3 \sim 0.4$
紫外光吸收剂	利安隆UV-7740W	0.3~0.4
合计		100

GB/T 6682—2008规定的三级水。使用前将溶液静置直至所有气泡和泡沫消失。将预处理过的刷子置于实验样板的涂层面上,使刷子保持自然下垂。启动仪器,往复洗刷涂层,洗刷时以每秒钟滴加约0.04 mL的速度滴加洗刷介质,使洗刷面保持润湿。

1.3.4 耐人工气候老化性

耐人工气候老化性主要参照标准为GB/T 23987,

用UVA(340)灯作为光源,将试板置于实验条件能满足黑板温度为(60 ± 3)°C、辐照度为 0.68 W/m、干相(无凝露)的荧光紫外老化机中,全过程保持连续光照 168 h。实验结束后取出,与未经光照的试板对照,用色差仪测定颜色变化(ΔE)。

1.3.5 铅笔硬度

铅笔硬度主要参照标准GB/T 6739,用特殊机械 削笔刀将每支铅笔的一端削去5~6 mm的木头,使铅 笔芯呈原始、未划伤、光滑的圆柱形状态。垂直握住铅 笔,与砂纸保持90°在砂纸上前后移动铅笔,把铅笔芯 端口磨平。将铅笔插入实验仪器中并用夹具将其固 定,使仪器保持水平,铅笔的端口放在涂膜表面上。当 铅笔的端口刚接触到涂膜后立即朝远离操作者的方 向,以缓慢均匀的速度推动铅笔,推动足够长的距离 以便进行目视判断。

1.3.6 附着力

附着力主要参照标准GB/T 9286—1998,采用划格法,待涂膜制备完成后,用均匀的切割速率在涂层上形成规定的切割网格,随后用手指把胶带在网格区上方的部位压平,透过胶带看到的涂层颜色全面接触是有效的显示,在贴上胶带5 min内,拿住胶带悬空的一端,并在尽可能接近60°的角度,在0.5~1.0 s内平稳地撕离胶带。

1.4 实验仪器(见表3)

表3 实验仪器

Table 3 Experimental Instruments

仪器类型	规格型号	生产厂家
建筑涂料耐洗刷仪	BGD-526	标格达精密仪器(广州)有限公司
涂层耐沾污性冲洗测试仪	BGD-588	广州标格达实验室仪器用品有限公司
紫外-可见分光光度计	SPECORD 200 PLUS	德国耶拿分析仪器股份公司
反射率测定仪	C84-Ⅲ	上海现代环境工程技术股份有限公司
恒温恒湿箱	HPX-160BS-Ⅲ	上海新苗医疗器械制造有限公司
高速分散机	BGD 740/1	广州标格达实验室仪器用品有限公司
QUV紫外快速老化机	QUV/SPRAY	美国Q-lab公司
电子秤	GS4202:4 200 g/0.01 g	广州市怡华新电子仪器有限公司
湿膜制备器	SZQ-150 μm	上海现代环境工程技术股份有限公司
斯托默黏度计	STM-V	上海现代环境工程技术股份有限公司

1.5 罩面清漆及涂层的制备

1.5.1 罩面清漆的制备

容器中加入水并启动分散机,中低速分散状态下依次加入润湿剂、成膜助剂、消泡剂,随后搅拌状态下加入pH值稳定剂,随后低速分散3 min,之后加入乳

液,继续分散3 min,加入增稠剂,低速分散5 min,随后加入防霉剂及剩余水,低速搅拌10 min,过滤,出料。

1.5.2 涂层的制备

所有基于测试的涂层基材选择、样板制备及养护时间均参考标准HG/T 5065—2016。

2 结果与讨论

2.1 乳液的筛选

2.1.1 基于刚性氟碳乳液与弹性氟碳乳液的复配

为满足罩面清漆对于透光性的要求,不含粉料, 因此决定涂膜性能的主要为其树脂组分,故而乳液的 筛选极为必要。氟碳乳液与纯丙乳胶具有良好的耐候 性,更适用于面临严苛老化条件的建筑外墙罩面清漆 体系。

考虑到氟碳乳液具有优异的综合性能¹¹,其作为 首选乳液。实验基于刚性氟碳乳液作为测试对象,进 行了初步的探究。在测试成膜特性的过程中,纯刚性 氟碳乳液由于较高的玻璃化转变温度,室温下难于成膜。而考虑到后续对于膜材料的制备及测试需求,对于成膜性能具有一定要求。基于此,选择在刚性氟碳乳液中引入弹性氟碳乳液,以内生的方式降低复配氟碳乳液的玻璃化转变温度,避免引入过多可能降低涂膜性能的成膜助剂且引入挥发性有机化合物(VOC),是最为可行的方式^[2]。基于此点考虑,实验设计了系列的刚性与弹性氟碳乳液的复配比例,测试了不同复配乳液的基础性能并制备了相应的样漆及测试样板,以测试其性能是否达到预期,见表4~表6。

表4 基础涂膜性能

Table 4 Basic Coatings Film Properties								
复配方案	1	2	3	4	5	6		
m(刚性氟碳乳液): m(弹性氟碳乳液)	全部为刚性氟碳乳液	80 : 20	60:40	40:60	20:80	全部为弹性氟碳乳液		
固含量/%	24.79	24.87	24.89	24.97	26.15	25.51		
黏度/KU	60.9	52.4	50	50.3	67.9	75.4		
pH值(25°C)	8.19	8.17	8.3	8.3	8.23	7.92		
光泽(60°)/%	78.94	79.46	75.98	66.16	75.64	62.92		
铅笔硬度	2B	3B	3B	3B	4B	4B		
附着力/级	0	0	0	0	0	0		

表5 不同复配比例氟碳乳液的耐沾污性及耐洗刷性

Table 5 Stain Resistance and Scrub Resistance of Fluorocarbon Emulsions with Different Mixing Ratios

复配方案	1	2	3	4	5	6
耐沾污性/%	26.6	17.5	21.1	17.9	25.7	28.6
耐洗刷性(5000次)	通过	通过	未通过	未通过	未通过	未通过

表6 不同复配比例氟碳乳液的耐水白性能

Table 6 Water-whitening Resistance of Fluorocarbon Emulsions with Different Mixing Ratios

复配方案	1	2	3	4	5	6
耐水白性(2h)	未见明显异常	中等发白	明显发白, 轻微起泡	明显发白, 轻微起泡	严重起泡及发白	严重起泡发白
耐水白性(24 h)	未见明显异常	严重水白	严重水白	严重水白,大量鼓包	涂膜完全脱落	涂膜完全脱落
备注	_	不可恢复	不可恢复	不可恢复	不可恢复	不可恢复

如表4所示,尽管不同复配乳液的附着力均属优秀,但涂膜硬度整体偏软。且如表5、表6所示,系列复配比例均难以满足HG/T 5065—2016要求的耐洗刷性能及耐沾污性能,且不耐水白,从而极大限制了其应用。从理论上讲,涂膜的耐沾污性与其亲疏水特性存在一定的关联,张人韬等的研究表明,静水接触角小于90°时,其耐沾污性随着疏水性的增加而增加;而当静水接触角大于90°时,其耐沾污性随着疏水性的增加而降低^[3]。不同复配比例涂膜水接触角的测试结果

表明,刚性弹性涂膜的静水接触角远大于90°,且随着弹性乳液的引入,其水接触角有减小的趋势,但仍远大于90°。与此同时,随着弹性氟碳乳液的引入及复配比例的增加,涂膜的硬度越来越低并逐渐久黏不干,因而耐洗刷性能有所下降;污浊物更易沾在涂膜表面,所以整个系列呈现出较差的状态,解释了其耐沾污性较差的原因。

综上,基于氟碳乳液的复配无法满足目标的耐洗 刷性及耐沾污性要求。

2.1.2 基于氟碳乳液与纯丙乳胶的复配

氟碳乳液是一种优良的成膜物,但是通过前述实验可以发现:(1)氟碳乳液受制于氟原子之间的强氢键,具有较强的内聚力,涂膜柔韧性通常不佳;(2)表面过多氟原子的存在使得涂膜尽管表面能较低,但是不耐油污,换言之,无法用水轻易冲洗干净;(3)高光型的氟碳乳液存在施工性欠佳,且不符合现代审美的缺点。通过与水性丙烯酸树脂复配,有望达到理想的涂膜效果。

基于此点考虑,如表7所示,设计了基于两种乳液不同的复配比例,并测试了相应的罩面清漆及涂膜性能。结果表明,亚光型纯丙乳胶的小比例引入便可以极大降低罩面清漆的光泽,5种复配比例的清漆的60°光泽度均小于10%,属于亚光罩面清漆。相较于高光罩面清漆,亚光罩面清漆可以提高施工的便捷性,且可以避免引入光污染,并且更符合现代审美。除此之外,60%氟碳乳液的铅笔硬度相较于其他复配方案也有所提升,同时保持了良好的附着力。

表7 氟碳乳液与纯丙乳胶复配的基础涂膜性能

Table 7 Basic Coatings Film Properties of Fluorocarbon Emulsion Mixed with Pure Acrylic Latex

9				·	
复配方案	_	二	三	四	五
m(氟碳乳液): m(纯丙乳胶)	80:20	60:40	50:50	40:60	20:80
固含量/%	15.47	20.72	20.12	19.32	15.5
黏度/KU	61.6	60.4	61.5	61.9	65.2
pH值(25°C)	8.28	7.95	8.21	8.25	8.17
光泽(60°)/%	3.9	7.64	4.98	3.84	3.52
铅笔硬度	2B	В	3B	3B	3B
一 附着力/级	2	0	0	0	3

令人惊喜的是,复配乳液具有极为优良的耐沾污性,5款复配清漆罩面清漆的耐沾污性均<10%,同时具有5000次这一优良的耐洗刷性能。值得一提的是,60%氟碳复配比例的罩面清漆,其耐洗刷性达到

了10 000次,表现出高性能。如表8所示,耐水白测试结果表明,方案二的罩面清漆在经过24 h的水泡后仍保持初始的涂膜状态,具有优良的耐水白性能。氟碳与纯丙乳胶复配系列的耐沾污性及耐洗刷性见表9。

表8 氟碳乳液与纯丙乳胶复配的耐水白性能

Table 8 Water-whitening Resistance of Fluorocarbon Emulsion Mixed with Pure Acrylic Latex

复配方案	_	二	三	四	五.
耐水白性(2h)	未见明显异常	未见明显异常	明显发白	明显发白	轻微起泡及发白
耐水白性(24 h)	轻微起泡	未见明显异常	严重水白,大量起泡	严重水白,大量起泡	轻微水白,大量起泡
备注	可恢复	_	不可恢复	不可恢复	不可恢复

表9 氟碳乳液与纯丙乳胶复配系列的耐沾污性及 耐洗刷性

Table 9 Stain Resistance and Scrub Resistance of Fluorocarbon Emulsion Series Mixed with Pure Acrylic Latex

复配方案	_	=	三	四	五
耐沾污性/%	8.77	9.42	9.22	8.75	5.67
耐洗刷性(5000次)	通过	通过	通过	通过	通过

综上,耐洗刷性:60%氟碳 $\approx 50\%$ 氟碳 $\approx 40\%$ 氟碳>20%氟碳>80%氟碳;耐沾污性:20%氟碳>60%氟碳 $\approx 80%$ 氟碳 $\approx 40%$ 氟碳 $\approx 50%$ 氟碳;耐水白特性:60%氟碳>80%氟碳>20%氟碳>50%氟碳>40%氟碳= 50%氟碳= 40%氟碳= 50%氟碳= 40%氟碳= 50%氟碳= 50%40%

液可以满足HG/T 5065—2016的罩面清漆标准,同时优中选优,m(氟碳乳液):m(纯丙乳胶)=60:40的性能更为优越,可被筛选为下一步实验用乳液。

实验验证了我们的思路。在理论与实验的双重指导下,乳液的复配可以实现有针对性的改良,真正实现"1+1>2"的效果,为行业乳液复配思路提供了很重要的借鉴意义。

2.2 抗老化助剂的筛选

乳液作为罩面清漆的基础组分,决定了涂膜的基础性能,但初始的涂膜性能会随着涂层的户外光老化逐渐劣化,因而在确定树脂后,作为抗紫外罩面清漆的关键组分,抗老化助剂是决定涂膜性能是否能够长久优秀的关键。基于不同的抗老化机理,可以大抵分为受阻胺光稳定剂及紫外光吸收剂:其中受阻胺光稳

定剂通过捕获材料中的自由基和分解氢过氧化物来降低材料中的破坏性活性成分的浓度,从而降低高分子涂层的一系列链反应速度,进而降低其光老化速度^[4];紫外光吸收剂通过强烈的吸收紫外线来降低紫外线对高分子材料的辐射强度,减缓涂层光老化的链引发反应速度,其吸收率远高于高分子材料对紫外线的吸收率^[5]。由于紫外吸收剂适合厚膜且对表层涂膜保护较少,而受阻胺光稳定剂可以捕捉涂膜表层的自由基使其免于光降解,因而我们首先制备了单独添加受阻胺光稳定剂的抗紫外罩面清漆。

2.2.1 光稳定剂的筛选

通过前期调研,筛选了两种商用水性涂料用受阻胺光稳定剂巴斯夫DW-123(N)、利安隆优配UV-7751W,其中巴斯夫的产品为 α -磺基- Ω -羟基聚(氧-1,2-乙二基)C13-14磺酸酯钠盐,而UV-7751W为利安隆所产受阻胺光稳定剂的复配产品。

基于第一步所筛选的氟碳纯丙复配乳液,并分别根据最佳建议添加量制备了含有上述两种不同光稳定剂的不同添加比例的抗紫外罩面清漆。为放大实验差异,选择不耐黄变的内墙用苯丙乳胶漆作为实验面漆,按照标准流程刷涂待测罩面清漆并养护样板,待养护完成后使用功率为 $1.2~W/m^2$ 的UV-A灯管,对涂层进行快速老化试验,观测涂层外观是否有明显的劣化及失光、黄变现象,并分阶段记录色差值 ΔE^*_{ab} ,及黄变值 Δb 。

如表10所示,UV-7751W具有相较于DW-123(N) 更优异的抗紫外性能,并且添加量为树脂质量分数 2%的具有更优异的抗老化性能,老化前后的 ΔE^*_{ab} 仅有0.27,而 Δb 则仅有0.12。性能拐点的存在或许由于过多的受阻胺光稳定剂可能在涂层中形成聚集,导致自由基的吸收效率不升反降,影响了罩面清漆的抗紫外性能。

表10 不同种类及比例光稳定剂的抗辐照性能
Table 10 Anti-radiation Performance of Light Stabilizers
of Different Types and Proportions

对照类别	w/%	外观	ΔE^{*}_{ab}	Δb
无罩面清漆	_	轻微黄变	0.54	0.46
普通罩面清漆	_	轻微黄变	0.47	0.37
	1	未见明显差异	0.26	0.07
UV-7751W	2	未见明显差异	0.27	0.12
	3	未见明显差异	0.33	0.06
	1	未见明显差异	0.45	0.16
DW-123 (N)	2	未见明显差异	0.33	0.22
	3	未见明显差异	0.44	0.27

注:测试条件: UVA 1.2 W/m², 168 h。

紫外-可见吸收光谱作为一种重要的表征手段,可以反映材料在测量光谱区间的吸光度大小及吸收峰值。为了探究两者抗老化性能的差异,且在水分散状态下更能反映光稳定剂实际的存在状态,实验又分别测试了两者在稀浓度水分散状态下的紫外可见吸收光谱。如图1(a)、图1(b)所示,由于受阻胺光稳定剂在水环境中以多级分散体的状态存在,所以紫外吸收光谱呈现锯齿状,且UV-7751W在紫外区间的吸光度相较于DW-123(N)更大且吸光光谱区间更为宽泛,这从一定程度上解释了其优异的抗紫外老化性能。

同时为了验证抗紫外助剂在成膜后的分布是否均匀,实验又分别制备了含有不同对照组抗老化助剂的膜材料,并利用紫外—可见吸收光谱对膜材料进行直接透射法进行了相应的测试。如图1(c)、图1(d)所示,膜材料的吸收光谱与对应溶液态光稳定剂吻合良好,一方面印证了水性光稳定剂的良好水环境相容性,呈现分散均匀的状态,另一方面则表明助剂在涂膜中可发挥出良好的作用。

2.2.2 紫外吸收剂的复配

鉴于实现抗老化的机理不同且有明显的双步特征,紫外吸收剂在一定程度上与受阻胺光稳定剂复配或进一步优化其性能。因此,基于上一阶段筛选的2%质量分数(后同)的UV-7751W,实验又进行了下一阶段的复配。

如图2(c)、图2(d)从结构上讲,所有能够吸收紫 外线的有机化合物均含有共轭体系,所不同的是三 嗪类的共轭中心为三嗪环,而苯并三唑为苯并三唑 环。由于三嗪类紫外光吸收剂相较于苯并三唑类吸收 剂具有更佳的耐候性、化学稳定性,并且色泽较浅更 适用于罩面清漆体系[6]。实验筛选出了利安隆的UV-7740W这种三嗪类紫外吸收剂作为进一步复配实验 的参照对象。基于建议添加量,分别设置了1%、2%、 3%(质量分数)3组对照组。如图2(d)及表11实验结果 表明,紫外吸收剂的引入使得材料的耐候性能得到了 进一步的改善,复配后的色差值 ΔE^*_{ab} 与黄变值 Δb 均 有明显的下降,并且当添加量为树脂质量分数的2% 时性能最优, ΔE_{ab}^* 达到0.19,而 Δb 为0.05。添加量为进 一步提升为3%时性能下降可能是由于聚集导致吸收 峰值的移动或者宽化,对特定波长的紫外光的吸收效 率降低。

2.2.3 抗紫外罩面清漆的作用机理

对于耐候性有帮助的主要为两个组分,首先是选用的耐候型乳液组分,乳液本身可以明显提升罩面清漆的耐候效果;其次筛选的水性抗紫外助剂与水环境极好的兼容性,抗紫外活性成分可以在涂膜中均匀分布,在成膜之后,活性分子与高分子链段之间的氢键

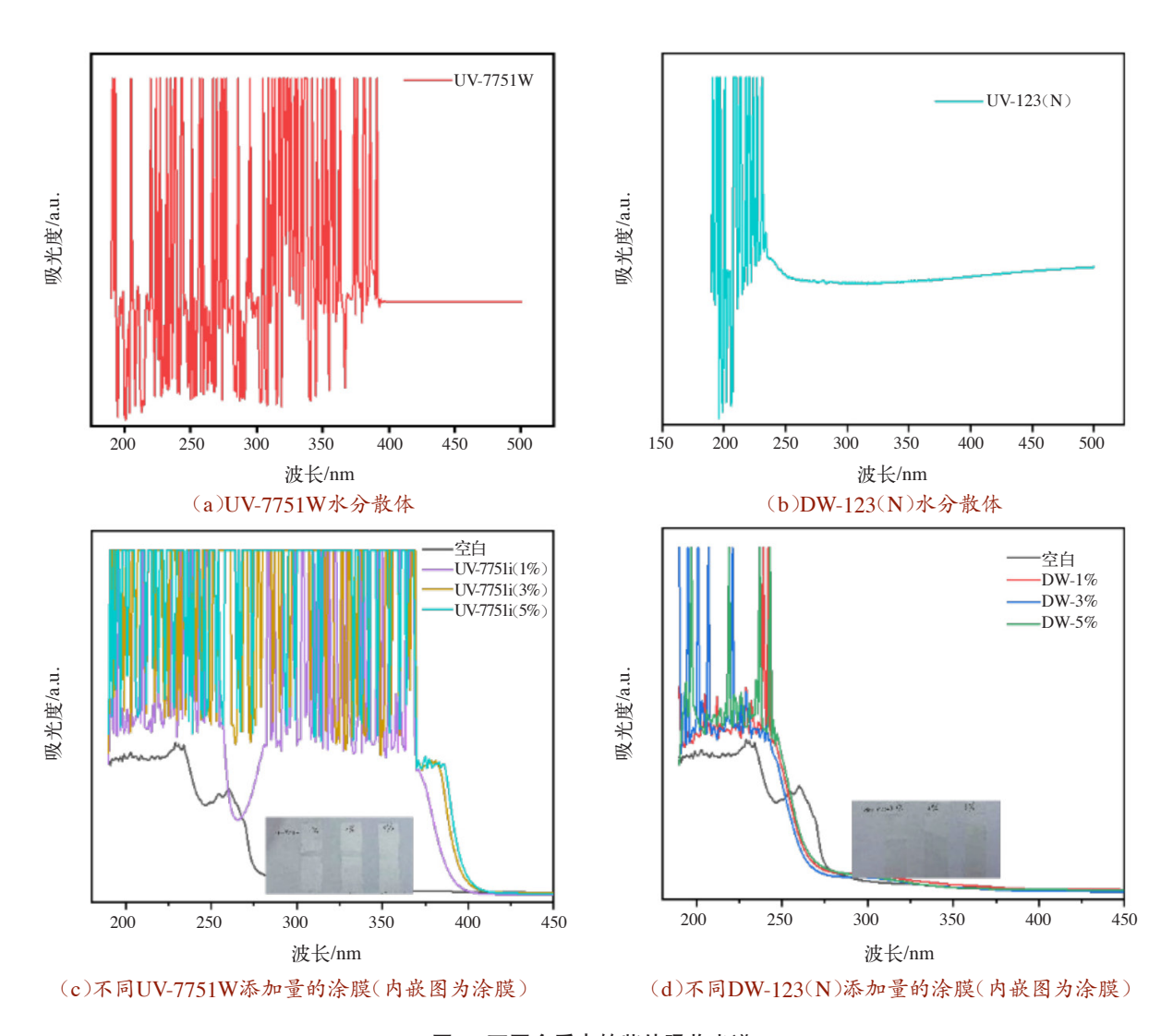


图1 不同介质中的紫外吸收光谱 Fig. 1 UV Absorption Spectra in Different Media

等相互作用又可以保证其不会从涂膜中流失,保证了 其可以在涂膜中长久生效。

如图3所示,当紫外光照射到涂层上时,涂层中的高分子作为主要组分,吸收了绝大部分的紫外线,由于超耐候乳液的键能高于紫外光,使得在经历一系列紫外光的反射折射之后,大部分的紫外光的能量转化为高分子链段的热运动而不会产生键的断裂。经历上述过程,涂膜中仅留存少量的紫外光,此刻紫外光吸收剂发挥作用,将有害的紫外光通过分子内吸收作用顺利转化为无害的热量。

但同时需要注意到,涂膜中仍可能存在少量的弱键被潜在的紫外光破坏,从而产生有害的自由基。此刻,涂膜中均匀分布的受阻胺光稳定剂可以瞬间螯合少量游离的有害自由基,转化为无害的组分。

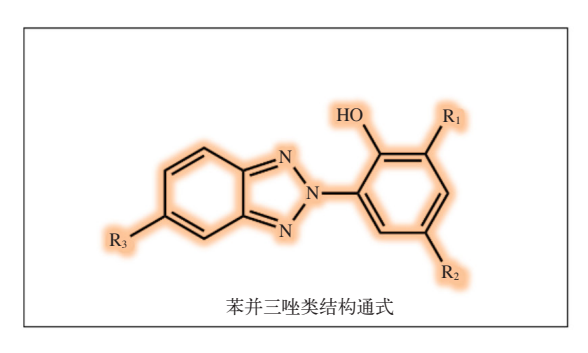
总而言之,通过整个涂层成膜物与抗紫外活性成

分的协同作用,使得整个抗紫外罩面清漆在面临严苛 紫外老化环境时也能从容应对,保证长期有效。

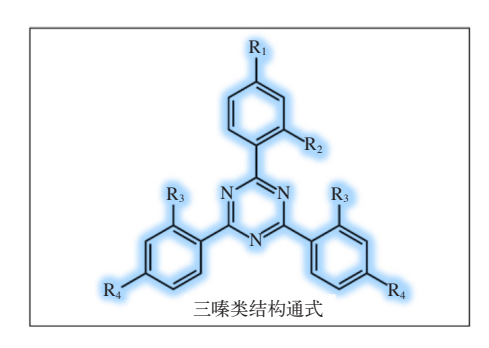
2.3 抗紫外罩面清漆在仿石涂料中的实际性能

为了验证开发罩面清漆在仿石涂料中的实际功用,首先制备了基于苯丙乳胶的浅色质感涂料,并观测其耐沾污性及耐黄变性。如图4所示,通过快速的UV-A测试表明,施涂抗紫外罩面清漆可以明显延缓浅色质感涂料的老化过程,并且进一步的耐沾污实验表明,施涂罩面清漆之后质感涂料的耐沾污性有了明显的提升,表现出良好的耐沾污及耐老化特征。

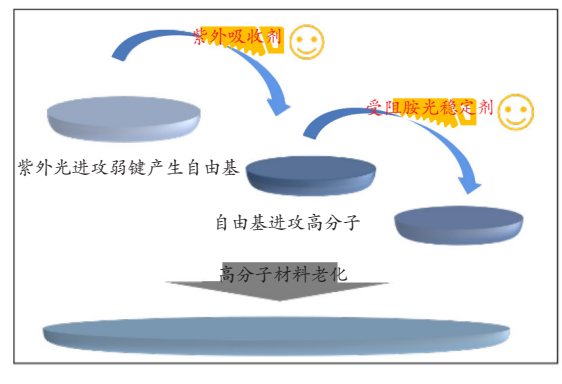
同时,通过表12可以得知,实际的户外老化测试 表明施涂罩面清漆前后的对比较为明显,施涂罩面清 漆之后厚浆涂料表面较为洁净并且黄变并不明显,与 施涂后的涂膜形成明显的对比。综合实验表明,实验 开发的罩面清漆能够满足实际的需求,从而极大地延



(a)苯并三唑类受阻胺光稳定剂结构通式



(b)三嗪类紫外光吸收剂结构通式



0.25-0.20-0.15-0.10-0.05-0.00-単助剂(又7751) 复配1%7740W 复配2%7740

(c)紫外光吸收剂与受阻胺光稳定剂的 协同作用机理图

(d)单独添加UV-7751W及复配不同比例UV-7740W的 ΔE^*_{ab} 及 Δb 值

图2 紫外光吸收剂的复配 Fig. 2 Mixing of UV Absorber

0.30

表11 受阻胺光稳定剂与紫外光吸收剂的复配方案及 测试结果

Table 11 Mixing Schemes and Test Results of Hindered Amine Light Stabilizers and UV Absorbers

w(UV-7740W)/%	外观	ΔE^*_{ab}	Δb
0	未见明显黄变	0.27	0.12
1	未见明显差异	0.23	0.07
2	未见明显差异	0.19	0.05
3	未见明显差异	0.22	0.10

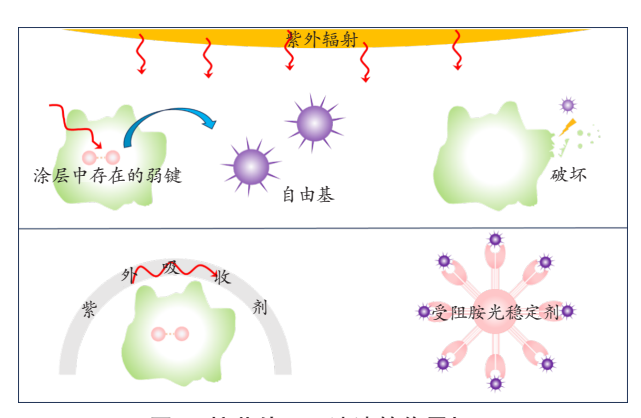
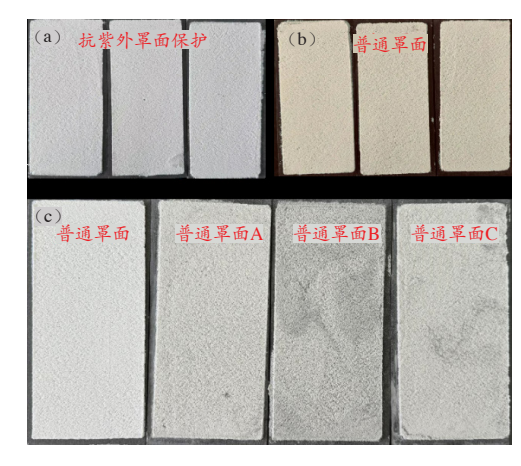


图3 抗紫外罩面清漆的作用机理 Fig. 3 Working Mechanism of UV-resistant Topcoat



(a)抗紫外罩面清漆;(b)普通罩面清漆; (c)耐沾污试验结果

图4 UV-A快速老化试验结果(1.33 W/m²,60 d) Fig. 4 UV-A Accelerated Ageing Test Results (1.33 W/m², 60 d)

缓仿石涂料的老化过程并保持其长久洁净美观。

3 结 语

本文分两个阶段设计并制备了具有优异综合性

	表12	抗紫外罩面清漆在质感涂料上的头际效果
Table 12	Actua	al Effect of UV-resistant Topcoat on Texture Coatings

			and represent our remaine com	8	
测试项目	测试板		结果	测试标准	
侧风火口	坝山、牧		外观	ΔE^{*}_{ab}	侧风你性
		1#样板	无明显黄变、粉化	0.35	
	抗紫外屏蔽罩面清漆	2 [#] 样板	无明显黄变、粉化	0.32	
표나 카 / 나 나나 수는		3 [#] 样板	无明显黄变、粉化	0.33	CD/T 1965
耐老化性能		1#样板	明显黄变、粉化	1.25	GB/T 1865
	普通罩面清漆	2 [#] 样板	明显黄变、粉化	1.25	
		3 [#] 样板	明显黄变、粉化	1.25	
	抗紫外屏蔽罩面清漆		优		
五1.7.1.3元,kt. 4h.		1#样板	差	差	
耐沾污性能	普通罩面清漆	2 [#] 样板	差		GB/T 9780
		3 [#] 样板	差		

能的外墙用功能性抗紫外罩面清漆,据我们所知,尚 属首例。首先干阶段一筛洗出具有良好涂膜性能的罩 面清漆用复配乳液,通过耐沾污性、耐洗刷性等多个 表征维度,确证了最佳的复配乳液比例。结果表明,基 于复配乳液的罩面清漆不仅满足了HG/T 5065—2016 的建筑外墙用罩面清漆标准,而且在诸多核心性能如 耐沾污性、耐洗刷性等均远超标准,具有极佳的综合 性能。第二步则筛选出了具有良好抗老化性能的助 剂,快速老化试验确认了最优添加量的受阻胺光稳定 剂及紫外光吸收剂,并且实验结果得到了紫外吸收光 谱数据的支撑。质感涂料的耐沾污及耐老化试验以及 实际上墙验证了该罩面清漆极佳的应用前景。

总而言之,功能性罩面清漆的引入可以进一步丰 富罩面清漆的功能属性,在其原有的保护属性上进一 步引入抗老化特征,可以免去面漆繁杂冗余的抗紫外 助剂的筛选,提高抗紫外产品开发和应用的效率。在 双碳政策的引导下能够起到保护环境与节约资源的 作用,对于建筑外墙尤其是多彩涂料的发展或起到进 一步的推广作用。抗紫外线作为建筑涂层不得不重视 的涂层老化因素,具备紫外线屏蔽功能的罩面清漆将 填补业内空白,从而具备极广的应用前景。

进一步说, 罩面清漆作为建筑涂层的最外层, 直接 接触大气环境,因此,在提供普通的保护、装饰作用下, 应承担起更多的功能属性,本文提供的案例充分表明, 额外的功能属性附加能够明显提高罩面清漆层的整体 属性。作为抛砖引玉,其他的高附加属性如高硬度、耐 高温、新型施工方式罩面清漆等无不引领着罩面清漆 发展的多功能化,成为罩面清漆高端化的灯塔。

参考文献

- [1] 梁光容,陈炳耀,姚荣茂,等.水性氟碳外墙涂料的性能研 究[J].现代涂料与涂装,2020,25(2):19-22
- [2] 冯於龙.成膜助剂对水包砂多彩涂料性能影响的研究 [J].现代涂料与涂装,2023,28(7):12-15,36
- [3] 张人韬,闫金霞,温霖.建筑涂料的亲疏水性与耐沾污性 问题[J].建材发展导向,2004,25(4):42-44
- [4] 曾雪梅,何雨霖,余崇东,等.受阻胺光稳定剂的协同作用 及研究进展[J].塑料科技,2023,50(8):107-111
- [5] 温娜,江涛,王东.水性紫外吸收剂在水性聚氨酯涂料中 的应用[J].中国涂料,2018,32(8):54-58
- [6] 张小博.新型三嗪紫外吸收剂的合成及其在涂料中的应 用[J].电镀与涂饰,2017,35(6):292-296



缘何再议"豁免溶剂" 环境友好型涂料之所需

段质美

中图分类号:TQ630

文献标识码:E

文章编号: 1006-2556(2024)06-0071-04

DOI:10.13531/j.cnki.china.coatings.2024.06.012

Why Reconsider "Exempt Solvent" It is Needed for Environmentally Friendly Coatings

DUAN Zhi-mei

众所周知,20世纪60年代美国洛杉矶发生过严重大气烟雾事件(1),多人受其伤害,有约400多名老人去世。中国兰 州西固地区1974年也发生过类似污染事件。究其根源,系空气中含有一定浓度的挥发性有机化合物(VOC)、氮氧化 合物(NO_x)和二氧化碳等气体,在日光强烈照射下发生光化学反应,生成了以臭氧为主体的以及醛类等有害气体的 产物所致(见图1)[2]。

臭氧对人类的影响有利有弊,可以是"地球卫士"也可成"隐形杀手"。约有90%的臭氧分布在平流层中,它可以 吸收太阳放射出的有害紫外线,是地球上生物繁衍生存的"保护伞"引。地球表面低平流层中,少量臭氧有消毒灭菌作 用,而含量高时就会对人类及生态环境造成伤害。国家卫生部规定臭氧安全浓度是0.1×10°。

既然VOC是造成臭氧的重要因素之一,何谓VOC?国际上以美国为首的一派,多年来一直以能产生光化学的有 机物称作为 $VOC^{[4]}$ 。而欧盟一派则以有机物沸点 $250 \, \mathbb{C}$ 为界限,高于 $250 \, \mathbb{C}$ 以上者为VOC。

涂料中使用的许多有机溶剂,有些会发生上述光化学反应生成臭氧,而有些酯类、酮类等不会产生光化学反应, 这些溶剂则被称为"豁免溶剂"(Exempt Solvent)。

因而减少VOC的挥发、选择扩大豁免溶剂的应用就成为科技人士的课题。美国加州大学卡特教授(William P. L. Carter)进行了多年与大气光化学有关的研究,以某有机化合物产生臭氧的最大增量MIR(Maximum Incremental Reactivity)来界定该有机化合物对生成臭氧的强弱(贡献)。卡特教授自1980年起,就曾与人合作在专业杂志上发表 了光化学范畴的研究论文,几十年来他有116篇文章在科技网站(Web of Science)上被收录,参阅和引用者达到9 481 次,成为该项目研究国际领域的领头人。

英国科技界紧随其后,德温特(R. G. Derwento)等,用乙烯作为参照物,与某一有机物产生臭氧的量作对比,从而判 断该有机物的光化学反应程度,使用POCP(Phtochemical Ozone Creition Potentials)作为标示。

对某同一种有机物,用美英两种方法得出的MIR与POCP值相比较,发现两套数据的相似性与规律性基本一致

收稿日期: 2024-05-23

作者简介:段质美(1937-),男(汉族),北京人。中国涂料行业资深专家。



图1 臭氧的生成 Fig. 1 Generation of Ozone

表1 MIR与POCP比较 Table 1 Comparison between MIR and POCP

化学品	MIR	MIR/乙烯 100%	POCP
乙烯	9.08	100	100
甲苯	3.97	44	77
邻-二甲苯	7.49	82	83
间-二甲苯	10.61	118	109
对-二甲苯	4.25	47	95
丁醇	2.24	25	59
石油溶剂	$0.78 \sim 1.27$	8.6~14	_

(见表1)[5]。

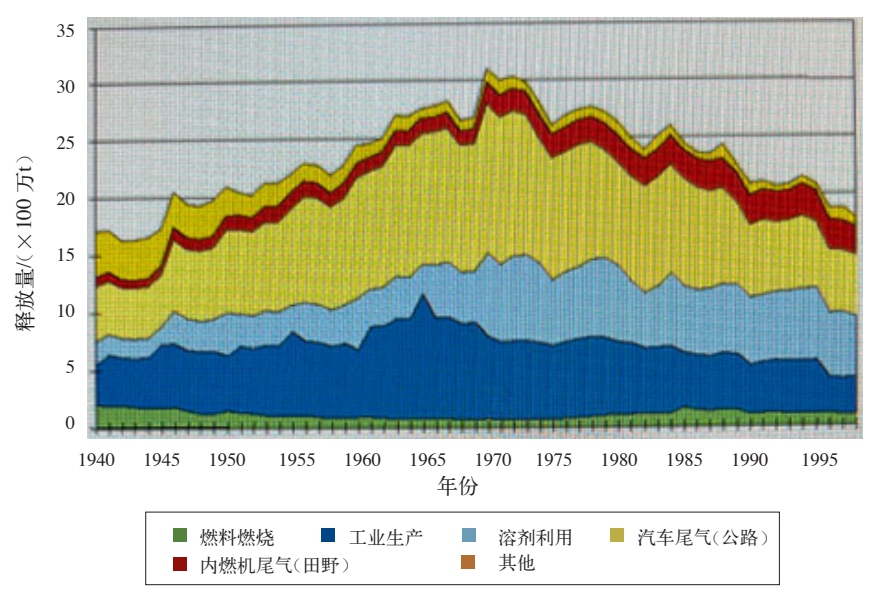
日本涂料界不甘落后,对使 用豁免溶剂也做了许多工作,有 文献报道,他们曾在一机械涂装 过程中,以不同溶剂的应用方案 作测试,得到了MIR数据,取得了 预期效果。

中国科技人员也急起直追, 近年积极地开展了大气污染中光 化学方面的研究工作。有文献报 道,山东大学张英楠等在广州地 区进行了VOC和臭氧浓度变化 的调研活动,后在《大气化学与物 理学》的杂志上,发表了与卡特教 授共同撰写的论文。

从宏观角度看,某一国家向 工业强国转变过程中,总的VOC

排放量基本都经历从低到高、再逐渐降低的转变过程。以 美国1940年至1998年大气中VOC释放量为例,可以清晰 地看出,VOC的主要贡献者是汽车与田间农用车辆,而 涂料行业则属于其他类当中,它的排放量与汽车相比是 小巫见大巫(见图2)[6]。

中国政府历来重视环保工作,1988年开始执行第一 部《中华人民共和国大气污染防治法》,以后经过4次修 订, 综观修订内容不多, 现在执行的是2018年修订后的版 本。自2017年起,在官方发布的每年环境治理措施中,开



数据来源:美国环保署网站

图2 VOC释放变化图(1940-1998年) Fig. 2 VOC Release Change Chart (1940–1998)

始关注了臭氧的增长趋势,强调了要将VOC与氮氧化物协同治理的方针。

虽然涂料行业不是排放VOC的大户,但仍为降低VOC做出了重大的贡献。这从20余年出台控制产品标准中VOC含量的数据变化可以看出(见表2),经过涂料行业的共同努力,在保证产品质量的前提下,环标乳胶漆中VOC的含量已由开始时(1999年)的250 g/L,下降到了50 g/L(2014年)。2020年国家强制标准也作了相应调整为80 g/L。

表2 国标、环标中乳胶漆VOC定义及指标的演变概况

Table 2 Overview of the Evolution of Latex Coatings VOC Definition and Index in National Standards and Environmental Standards

标准名称	标准编号	VOC 定义	限值/ (g·L ⁻¹)	检测方法	备注
环境标志产品 技术要求 水性涂料	HJBZ 4—1994				只对重金属 含量提出要求
	HJBZ 4—1999	任何参加光化学反应的有机化合物	€250	烘烤质量法 (减水,减豁 免溶剂)	
	HBC 12—2002	挥发性有机化合物的含量(TVOC),指在特定实验条件下除水以外单位体积涂料中的所有可挥发性的有机化合物的量	€100	烘烤质量法 (减水)	
	НЈ/Т 201—2005	在101.3 kPa标准压力下任何初沸点低于或等于250°C的有机化合物	€80	气相色谱法 (扣水)	
	НЈ 2537—2014	在101.3 kPa标准压力下任何初沸点低于或等于250°C的有机化合物	€50	气相色谱法 (扣水)	
室内装饰装修材 料内墙涂料中 有害物质限量	GB 18582—2001		€200	烘烤质量法 (不扣水)	
	GB 18582—2008	在101.3 kPa标准压力下任何初沸点低于或等于250°C的有机化合物	≤120	气相色谱法 (扣水)	
	GB 18582—2020	参与大气光化学反应的有机化合物,或 者根据有关规定的有机化合物	€80	气相色谱法 (扣水)	
绿色设计产品 评价技术规范 水性建筑涂料	T/CNCIA		光泽 ≤10%,30		
	02001—2017		光泽> 10%,50		

其次,标准对于VOC的定义也发生了巨大变化,环保标准最早定义VOC是:参与大气光化学反应的挥发性有机化合物。此后陆续出台的国家强制标准、环保标准等,各具特色,计算公式扣除或不扣除水分各不相同。直到2005年原环保部颁布的标准明确了以沸点250℃作为VOC的划分界限,且采用色谱法作为测量VOC的手段,一直沿用至今。

最重要的是,2020年的国家建筑涂料强制标准(GB 18582—2020),再次明确VOC的定义是:参与大气光化学反应的有机化合物。这个标准起到了正本溯源的作用,遗憾的是目前测定VOC的方法依然是采用色谱法,有点不尽合理,好在有个补充说明,根据有关规定的有机化合物也可视作为VOC。

如此一来就为在涂料中使用豁免溶剂开辟了一条新路,但问题是哪些是豁免溶剂呢?美国EPA提供了一些线索^[7],查看后有些遗憾,截至到2024年,在涂料中能用到的只有少数的几种,如丙酮、甲酸甲酯、乙酸叔丁酯、碳酸二甲酯、二胺基二甲基丙醇(AMP)等。

尽管美国EPA官方批准的豁免溶剂不多,但涂料行业仍然将这个有利政策在建筑涂料一类品种中积极地采用,使得涂料行业配方化学师在保证质量和不违规的情况下,有多种原料可以选择。

2018年春,笔者曾在旧金山一大型超市的建材区域涂料专柜处,看见许多熟知的著名品牌乳胶漆,特别关注这些品牌包装桶上的环保标志,其VOC处一律皆有计算值的标识,有的还补充说明扣除了豁免溶剂(见图3)。

笔者认为,美国此种做法对涂料行业大有裨益。除了化学师可以有较大的选择化学原料空间外,减少每年送出涂料样品而降低检测费用也是企业一大利好。更有甚者,如果我国相关涂料标准对豁免溶剂有了新的规定,可以选择更多的豁免溶剂,对溶剂型涂料向水性化的研发,将给出充裕的时间与空间,善莫大焉。



图3 美国地区涂料品牌包装桶上的环保标志

Fig. 3 Environmental Labels on Coatings Brand Barrels in the United States

另据悉,2023年韩国国立环境科学院(NIER)发布了一则公告,宣布对《涂料中挥发性有机物含量计算方法、容器标签等指南》^[8]进行修订,取消了以下4种物质在涂料中作为稀释剂的部分豁免:丙酮、碳酸二甲酯、叔丁基醋酸酯、2—氨基–2–甲基–1–丙醇。

由于国外围绕豁免溶剂已有多年的研发工作,对于它的界定、测试方法、仪器等均有了长足的进步,我们重点开展涂料行业应用方面的工作时,可以吸收国外已经成熟的经验,以他山之石攻玉。

此外,国外一些国家将VOC定义为"参与光化学反应的有机化合物是VOC"已有多年之久。美国执行1113法规(SCAQMD Rule 1113)¹⁹于1977年9月2日制定,现执行的是其2016年2月5日的修订版,此距今也已达8年之久,且计算时应扣除豁免溶剂。

冀涂料行业人士对豁免溶剂的筛选、应用给予足够的重视,积极与院校、科研单位合作,携手推动权威机构修订新的环保涂料标准。良机莫失,诚是再议豁免溶剂之初衷。一孔之见,仅供参考。

参考文献

- [1] 段质美.对乳胶漆VOC的再认识[J].涂料工业,2004,34(9):24-26
- [2] 听兰州光化学烟雾的故事,看臭氧治理的未来[EB/OL].(2017-07-14).https://mbd.baidu.com/ug_share/mbox/4a83aa9e65/share?product=smartapp&tk=5af871eb7fafddf8c315b82ed79a1a37&share_url=https%3A%2F%2F2ly4hg.smartapps.cn%2Fpages%2Farticle%2Farticle%3FarticleId%3D157229685%26authorId%3D658300%26spm%3Dsmbd.content.share.0.1724661053298LFtlK9v%26_trans_%3D010005_wxhy_shw%26_swebfr%3D1%26_swebFromHost%3Dbaiduboxapp&domain=mbd.baidu.com
- [3] ZHANG Y N, XUE L K, CARTER W P L, et al. Development of Ozone Reactivity Scales for Volatile Organic Compounds in A Chinese Megacity[J]. Atmospheric Chemistry and Physics,2021,21:11 053-11 068
- [4] Volatile Organic Compound Exemptions[EB/OL]. https://www.epa.gov/ground-level-ozone-pollution/volatile-organic-compound-exemptions
- [5] 田忠诚(日).钢构筑物涂装之环境问题[J].防锈管理,2003,1
- [6] 段质美.老生常谈VOC[G].中国涂料行业资讯大全-涂料行业卷,2008
- [7] Complete List of VOC Exemption Rules[EB/OL]. https://www.epa.gov/ground-level-ozone-pollution/complete-list-voc-exemption-rules
- [8] 瑞旭集团.韩国涂料行业新动向,4种VOC豁免稀释剂被取消[EB/OL].(2023-08-15). https://www.cirs-group.com/cn/chemicals/han-guo-tu-liao-hang-ye-xin-dong-xiang-4-zhong-voc-huo-mian-xi-shi-ji-bei-qu-xiao
- [9] South Coast Air Quality Management District (SCAQMD) Rule 1113 Architectural Coatings Rules[EB/OL]. https://www.usgbc.org/resources/south-coast-air-quality-management-district-scaqmd-rule-1113-architectural-coatings-rules

中国涂料®



□ Chirag Tripathi, Atul Yadav, Surabhi Patankar (Markets and Markets 公司)

中图分类号: TQ637

文献标识码:C

文章编号: 1006-2556(2024)06-0075-02

DOI:10.13531/j.cnki.china.coatings.2024.06.013

Protective Coatings: A Highly Competitive Market

Chirag Tripathi, Atul Yadav, Surabhi Patankar (Markets and Markets)

在预测期内,防护涂料市场预计将从2023年的134亿欧元增长至2028年的159亿欧元,复合年增长率为3.5%。

亚太地区包括了经济发展水平不同的各种经济体。按产值计算,2022年该地区防护涂料的份额占总收入的53%。该地区的增长主要归功于民用建筑和基础设施、海洋和发电行业的发展,以及消费品和家电、建筑业和家具等各行各业的进步。将生产设施转移至亚太地区的主要好处在于生产成本低、可获得熟练且廉价的劳动力,并能够更好地服务于当地的新兴市场。

环氧树脂涂料是防护涂料中最大的细分市场

环氧防护涂料是整个防护涂料市场中最大的细分市场(见表1)。环氧涂料的性能可通过添加助剂和改性剂进行增强,以达到所需的技术规格要求。环氧树脂涂料以其出色的硬度、机械性能和耐湿、耐磨、耐水、耐酸、耐碱和耐海水性而著称,挥发性低,可用水清洗。环氧树脂涂料因具有这些特性,非常适合用于铸铁和铝等金属表面,也是工业环境中部件理想的保护涂层材料。环氧涂料还可用于地坪,例如用于工业设施、仓库、物流中心和其他人流、车流密集场所的混凝土地坪,延长其使用寿命。该涂料还能抵御油、清洁剂和漂白剂等化学物质的侵蚀,因此被广泛应用于各行各业。

表1 环氧树脂涂料占全球防护涂料市场的43%
Table 1 The Epoxy Resins Segment Accounts for 43% of the
Protective Coatings Market Globally

[法-拉	市场规模/亿欧元		
防护涂料类型 一	2023年	2028年	
环氧树脂涂料	56.6	69.1	
其他树脂涂料	75.1	90	

中国和印度引领全球防护涂料市 场的增长

中国市场是亚太地区最大的防护涂料市场,而印度则是增长最快的市场。原材料易得和终端应用行业的高需求推动了亚太地区市场的发展。

中国不仅主导着亚太地区防护涂料的市场,也主导着全球防护涂料市场。由于工业化的快速发展以及在海洋、石油和天然气以及基础设施领域应用的增

加,中国已成为防腐防护涂料的主要生产国和消费国。推动中国防护涂料市场发展的因素还包括住房活动、新建和翻新活动、政府和私人对住宅和非住宅项目的投资、消费者消费能力的增长以及廉价劳动力和廉价原材料的供应充足。

印度市场是亚太地区增长最快的防护涂料市场,它还是一个极具价格竞争力的市场,对政府规范的遵守程度很低,这是推动该国防护涂料市场增长的一大关键因素。与美国、澳大利亚、中国、阿联酋和日本等国签订了贸易协定,预计这将促使这些国家的公司在未来5年内在印度进行大量投资。印度政府(GOI)采取的其他举措还包括帮助印度工业发展的"印度制造"计划。该计划重点关注25个行业,包括汽车、航空航天、铁路、化工、国防、制造和包装。印度经济的大幅扩张,以及建筑业和制造业的不断增长,双双推动了防护涂料市场的发展,因此预计防护涂料市场在预测期内将实现高速增长。

民用建筑和基础设施行业的需求不断增长

防护涂料用于民用建筑和基础设施行业的地坪、木饰面、内外墙、桥梁、游泳池、门和天花板等。这类涂料在被涂表面形成一层 薄薄的涂层,用于提高结构的使用寿命和稳定性。桥梁、高速公路和基础设施项目往往都需要长期的稳定性和抵御恶劣天气条件 (如酸雨)的能力。结构老化会导致金属表面生锈、褪色、混凝土开裂、渗漏以及藻类和真菌等微生物的生长,从而直接或间接对建筑物的寿命造成影响,增加更换和维护的成本。防水涂料通常用于浴室、厨房、酒店和游泳池的墙壁和地面,以防止渗漏并避免湿气导致的结构破坏。亚太地区的基础设施和建筑行业发展迅速,是民用建筑和基础设施行业规模最大、增长最快的市场。

影响市场增长的未来趋势和干扰因素

防护涂料市场在近年来经历了重大变革,竞争激烈而又充满活力。这一变革由各种因素引起,包括消费者嗜好的变化、技术进步和法规压力。能够适应这些变化,并对产品和工艺进行创新的企业,有望在这个竞争激烈又充满活力的市场中取得成功。图1中提到的趋势和干扰是预计未来几年将影响该行业的几大热点。只有能够及时了解情况并积极应对变化的公司,才有望在这个令人兴奋且不断发展的市场中脱颖而出。

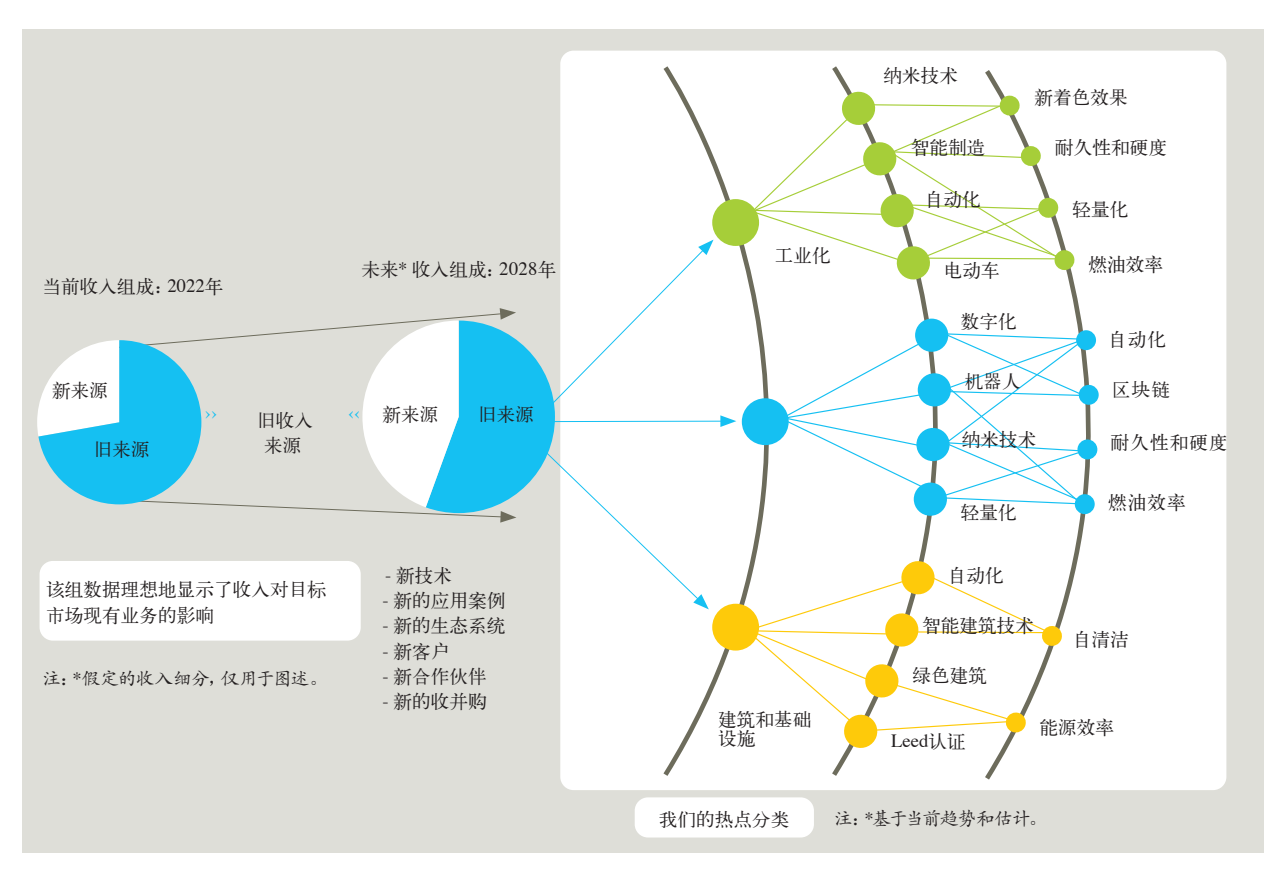


图1 预计未来的趋势和供应链中断将对防护涂料市场产生影响

Fig. 1 Future Trends and Disruptions are Expected to Impact the Protective Coatings Market

译自 EUROPEAN COATINGS JOURNAL 2024年第01/02期 www.chinacoatings.com.cn